



การคัดเลือกสายพันธุ์และความหลากหลายทางชีวภาพของสาหร่ายสีเขียวแกมน้ำเงินและ
แบคทีเรียสังเคราะห์แสงที่ทนอุณหภูมิสูง ในน้ำพุร้อนบางแห่งบริเวณ
ภาคเหนือตอนบนของประเทศไทย

Screening and Biodiversity of Thermotolerant Cyanobacteria and Photosynthetic

Bacteria in Some Hot Spring Areas in the Upper Part of Northern Thailand

ยุวดี พิรพารพิศาล
หัวหน้าโครงการ

IST/CMU

1/01

May, 2001

การคัดเลือกสายพันธุ์และความหลากหลายทางชีวภาพของสาหร่ายสีเขียวแกมน้ำเงินและแบคทีเรีย^{สั่งเคราะห์แสงที่ทนอุณหภูมิสูงในน้ำพุร้อนบางแหล่งในประเทศไทย}
Screening and Biodiversity of Thermotolerant Cyanobacteria and Photosynthetic Bacteria
in Some Hot Spring Areas in the Upper Part of Northern Thailand

ยุวดี พีระพิศาล
นัตรชัย กิติพิรชัย
วัชรชัย เจริญมาก
วรารณ์ ปานอุ่น
อุดมลักษณ์ สมพงษ์

ลิขสิทธิ์มหาวิทยาลัยเชียงใหม่
Copyright[©] by Chiang Mai University
All rights reserved

ภาควิชาชีววิทยา คณะวิทยาศาสตร์
มหาวิทยาลัยเชียงใหม่
พฤษภาคม 2544

กิตติกรรมประกาศ

งานวิจัยเรื่อง “การคัดเลือกสายพันธุ์และความหลากหลายทางชีวภาพของสาหร่ายสีเขียว แแกมน้ำเงินและแบคทีเรียสัมเคราะห์แสงที่ทนอุณหภูมิสูงในน้ำพุร้อนบางแหล่งบริเวณภาคเหนือ ตอนบนของประเทศไทย” ประสบผลสำเร็จเป็นอย่างดีในระดับที่น่าพอใจ ทั้งนี้ได้รับความร่วมมือ จากหลายฝ่าย ซึ่งคณะผู้วิจัยขอขอบคุณทุกท่านและทุกหน่วยงาน ไว้ดังนี้

สถาบันวิจัยและพัฒนาวิทยาศาสตร์และเทคโนโลยี มหาวิทยาลัยเชียงใหม่ ที่ได้จัดสรรฐุน วิจัย ผู้อำนวยการสถาบันฯ ในอดีต คือ อาจารย์ ดร. อนุสรณ์ อินทรัตน์ และรองศาสตราจารย์ ดร. เจริญ เกษมศรี ผู้อำนวยการสถาบันฯ ปัจจุบัน รวมทั้งท่านผู้ที่ทุกฝ่ายของสถาบันฯ ที่ให้ ความร่วมมือด้วยดีในทุกด้านตลอดมา

หัวหน้าอุทายานแห่งชาติซึ่งเป็นที่ตั้งของน้ำพุร้อนที่ได้ทำการวิจัยทั้ง ๙ แห่ง คือ น้ำพุร้อน สันกำแพง กิ่งอำเภอแม่อ่อน น้ำพุร้อนโป่งเดือด อำเภอแม่แตง น้ำพุร้อนเทพนม อำเภอแม่แจ่ม น้ำพุร้อนแม่ฟ้าง อำเภอฟ้าง โป่งน้ำร้อนคดยะเก็ด อำเภอคดยะเก็ด จังหวัดเชียงใหม่ น้ำพุร้อน ห้วยมากเดี่ยม อำเภอเมือง โป่งน้ำร้อนแม่จัน อำเภอเมือง จังหวัดเชียงราย น้ำพุร้อนแจ้ซ้อน อำเภอเมืองปาน จังหวัดลำปาง และ น้ำพุร้อนท่าปาย อำเภอปาย จังหวัดแม่ฮ่องสอน ซึ่งทุกท่าน ได้ให้ความร่วมมือในการเก็บตัวอย่างสาหร่ายและศึกษาคุณภาพน้ำ รวมทั้งอำนวยความสะดวกใน ทุกด้านขณะที่การวิจัยยังดำเนินการอยู่

โครงการ JSPS-NRCT ที่ได้ให้ทุนสนับสนุนคณะผู้วิจัยไปฝึกอบรมเกี่ยวกับสาหร่ายสีเขียว แแกมน้ำเงินและแบคทีเรียสัมเคราะห์แสงที่ทนอุณหภูมิสูง และเสนอผลงานการวิจัยในเรื่องนี้ ณ Department of Biotechnology Faculty of Graduate School and Life Sciences มหาวิทยาลัยโตเกียว และมหาวิทยาลัยยามากุชิ ประเทศญี่ปุ่น

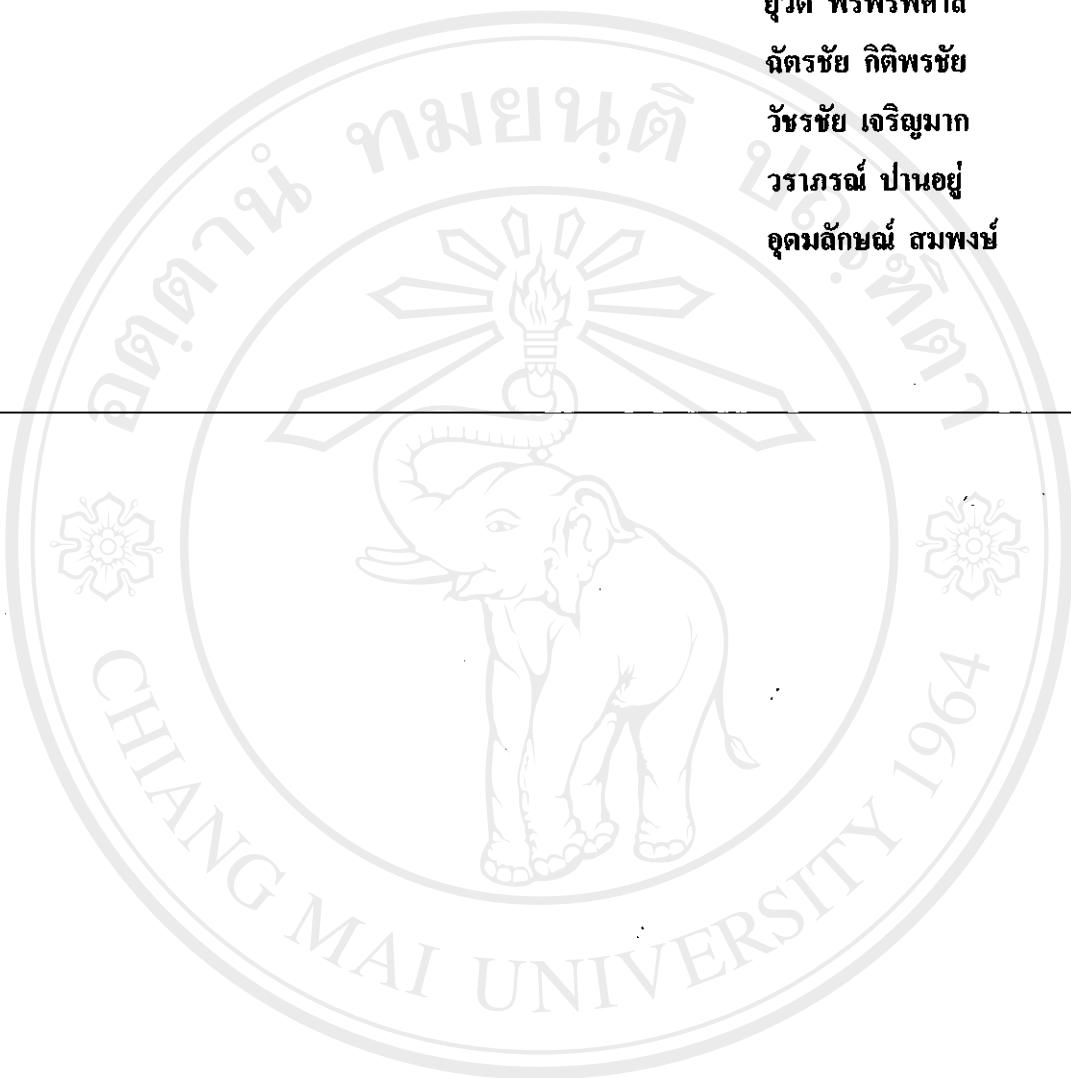
คณะผู้วิจัยขอขอบคุณ Prof. Dr. Yasuo Igarashi, Assoc. Prof. Dr. Masaharu Ishii แห่ง มหาวิทยาลัยโตเกียว และ Prof. Dr. Y. Adashi แห่งมหาวิทยาลัยยามากุชิ ที่มีส่วนสนับสนุนทาง ด้านวิชาการเกี่ยวกับงานวิจัยในเรื่องนี้เป็นอย่างดี

สมาชิกในหน่วยวิจัยความหลากหลายทางชีวภาพของสาหร่ายและแพลงก์ตอน ภาควิชา ชีววิทยา คณะวิทยาศาสตร์ มหาวิทยาลัยเชียงใหม่ ทุกท่านที่มีส่วนอย่างสำคัญในการออกแบบ ตัวอย่าง ศึกษาคุณภาพน้ำ รวมทั้งการวินิจฉัยสาหร่ายที่ศึกษาติดตามมา

ท้ายนี้ขอขอบคุณภาควิชา ชีววิทยา คณะวิทยาศาสตร์ มหาวิทยาลัยเชียงใหม่ ที่สนับสนุน การวิจัยในเรื่องนี้ ทั้งทางด้านวัสดุ อุปกรณ์และสถานที่

ทุกท่านและทุกหน่วยงานที่กล่าวมีความสำคัญต่อการวิจัยในเรื่องนี้อย่างมาก ความคืบ
เนื่องมาจากผลงานของการวิจัยทั้งหมดจะถูกจึงขอบคุณเดิ่งทุกท่าน

ยุวดี พีรพรพิศาล
ฉัตรชัย กิติพรชัย
วัชรชัย เจริญมากร
วราการณ์ ปานอญ
อุดมลักษณ์ สมพงษ์



ลิขสิทธิ์มหาวิทยาลัยเชียงใหม่
Copyright © by Chiang Mai University
All rights reserved

บทคัดย่อ

จากการคัดเลือกและศึกษาความหลากหลายทางชีวภาพของสาหร่ายสีเขียวแกมน้ำเงิน และแบคทีเรียสังเคราะห์แสงในน้ำพุร้อนทั้ง 9 แหล่งบริเวณภาคเหนือตอนบนของประเทศไทย ได้แก่ น้ำพุร้อนสันกำแพง กิ่งอำเภอแม่อ่อน น้ำพุร้อนโป่งดีด อ้อเกอแม่แตง น้ำพุร้อนเทพนน อ้อเกอแม่แจ่ม น้ำพุร้อนแม่ฟ้าง อ้อเกอฟ้าง และโป่งน้ำร้อนดอยสะเก็ด อ้อเกอดอยสะเก็ด จังหวัด เชียงใหม่ น้ำพุร้อนแจ้ซ้อน อ้อเกอเมืองปาน จังหวัดลำปาง น้ำพุร้อนท่าปาย อ้อเกอปาย จังหวัด แม่ฮ่องสอน โป่งน้ำร้อนแม่จัน อ้อเกอแม่จัน และน้ำพุร้อนหัวยหมากเลี้ยม อ้อเกอเมือง จังหวัด เชียงราย ระหว่างเดือนตุลาคม 2542 ถึงเดือนกันยายน 2543 เก็บตัวอย่างและศึกษาสาหร่ายสีเขียว แกมน้ำเงินจากช่วงอุณหภูมิ $30-80^{\circ}\text{C}$ สามารถแยกสาหร่ายสีเขียวแกมน้ำเงินออกเป็นเชื้อบริสุทธิ์ได้ 8 สปีชีส์ คือ *Chroococcidiopsis thermalis* Geitler (68°C), *Lyngbya limnetica* Lemmermann (46°C), *Lyngbya perelegans* Lemmermann (43°C), *Mastigocladus laminosus* Cohn (41 และ 49°C), *Phormidium* sp. (42°C), *Synechococcus bigranulatus* Skuja (62°C), *Synechococcus lividus* Copeland (50°C) และ *Synechococcus* sp. (73°C) และจากการศึกษาความทนอุณหภูมิในช่วงกว้าง ที่ 30, 45, 55 และ 70°C พบร้าทุกสปีชีส์เป็น thermotolerant blue-green algae ส่วนแบคทีเรีย สังเคราะห์แสงเก็บตัวอย่างจากช่วงอุณหภูมิ $60-80^{\circ}\text{C}$ เพาะเลี้ยงที่อุณหภูมิ 70°C สามารถแยกเป็น เชื้อบริสุทธิ์ได้ 1 สปีชีส์ คือ *Chloroflexus* sp.

ความหลากหลายทางชีวภาพของสาหร่ายสีเขียวแกมน้ำเงินและแบคทีเรียสังเคราะห์แสงใน น้ำพุร้อนทั้ง 9 แหล่ง พนสาหร่ายสีเขียวแกมน้ำเงินทั้งหมด 21 genera 39 species สาหร่ายสีเขียว แกมน้ำเงินที่พบมากที่สุดอยู่ใน Order Chroococcales พบ 18 สปีชีส์ รองลงมาคือสาหร่ายใน Order Oscillatoriales 14 สปีชีส์ สาหร่ายใน Order Nostocales 6 สปีชีส์ และสาหร่ายใน Order Stigonematales 1 สปีชีส์ ตามลำดับ และน้ำพุร้อนเทพนนมีความหลากหลายของสาหร่ายสีเขียว แกมน้ำเงินมากที่สุด โดยพบทั้งหมด 32 สปีชีส์ สาหร่ายสีเขียวแกมน้ำเงินที่เป็น dominant species ของทุกแหล่งน้ำคือ *Phormidium boryanum* (Bory ex Gom.)—Anagn. Et Kom ซึ่งพบมากในช่วง อุณหภูมิ $55-57^{\circ}\text{C}$ และ *Synechococcus bigranulatus* *Synechococcus lividus* และ *Synechococcus* sp. พบมากในช่วงอุณหภูมิ $65-72^{\circ}\text{C}$ การศึกษาจำนวนชนิดตามช่วงอุณหภูมิ พบร้าที่อุณหภูมิ $40-49^{\circ}\text{C}$ มีจำนวนชนิดของสาหร่ายสีเขียวแกมน้ำเงินมากที่สุด คือ 38 สปีชีส์ รองลงมาคือ $30-39^{\circ}\text{C}$, $50-59^{\circ}\text{C}$, $60-69^{\circ}\text{C}$ และ $70-80^{\circ}\text{C}$ ตามลำดับ ความหลากหลายของสาหร่ายที่พบมีความสัมพันธ์ เชิงบวกกับปริมาณออกซิเจนที่ละลายน้ำและมีความสัมพันธ์เชิงลบกับอุณหภูมิและปริมาณซัลไฟด์ ที่พบในน้ำ อย่างมีนัยสำคัญที่ระดับความเชื่อมั่น 99%

Abstract

Screening and biodiversity of blue-green algae and photosynthetic bacteria in 9 hot spring areas of the upper part of northern Thailand was investigated between October 1999 to September 2000. Samples were taken from San Kampaeng in Mae Orn sub-district, Pong Dued in Mae Tang district, Thepanom in Mae Chaem district, Mae Fang in Fang district and Pong Nam Ron Doi Saket in Doi Saket district, Chiang Mai province; Jae Son in Muang Pan district, Lampang province; Tha Pai in Pai district, Mae Hong Son province; Pong Nam Ron Mae Jan in Mae Jan district and Huay Mak Lium in Muang district, Chiang Rai province. Algal samples were collected at the temperature ranged from 30 to 80 °C. Eight species of blue-green algae were isolated in axenic culture e.g. *Chroococcidiopsis thermalis* Geitler (68°C),

Lyngbya limnetica Lemmermann (46°C), *Lyngbya perelegans* Lemmermann (43°C), *Mastigocladus laminosus* Cohn (41 and 49°C), *Phormidium* sp. (42°C), *Synechococcus bigranulatus* Skuja (62°C), *Synechococcus lividus* Copeland (50°C) and *Synechococcus* sp. (73°C). Cultivation of the eight isolated blue-green algae at 30, 45, 55 and 70 °C indicated that they were thermotolerant organisms. The photosynthetic bacteria was collected at temperature ranged from 60 to 80 °C and cultivated at 70 °C. One species, *Chloroflexus* sp. could be isolated.

Twenty-one genera and thirty-nine species of blue-green algae were found. The majority was in the Order Chroococcales comprising 18 species followed by the Order Oscillatoriales 14 species, the Order Nostocales 6 species and the Order Stigonematales 1 species. The most diversity of algae 32 species could be found in Thepanom hot spring. The dominant species in all hot springs were *Phormidium boryanum* (Bory ex Gom.) Anagn. et Kom. were found at the temperature between 55 to 57 °C and *Synechococcus bigranulatus* *Synechococcus lividus* and *Synechococcus* sp. at the temperature between 65 to 72 °C. At the temperature ranged of 40-49 °C, thirty-eight species of blue-green algae were found in the highest number followed by 30-39 °C, 50-59 °C, 60-69 °C and 70-80 °C respectively. The biodiversity of algae in every sampling site was positively correlated with the dissolved oxygen, and negatively correlated with temperature and sulfide content in the water at 99% level of significance.

สารบัญ

กิตติกรรมประกาศ
บทคัดย่อภาษาไทย
บทคัดย่อภาษาจังกฤษ
สารบัญ

หน้า

สารบัญตาราง	๙
สารบัญภาพ	๑
บทที่ ๑ บทนำ	๓
บทที่ ๒ ทบทวนเอกสาร	๘
บทที่ ๓ อุปกรณ์และวิธีการ	๑๔
บทที่ ๔ ผลการวิจัย	๖๑
บทที่ ๕ อภิปรายผลการวิจัย	๖๖
บทที่ ๖ สรุปผลการวิจัย	๖๘
บรรณานุกรม	๗๑
ภาคผนวก ก	๘๓
ภาคผนวก ข	๘๘
ภาคผนวก ค	

ลิขสิทธิ์มหาวิทยาลัยเชียงใหม่
Copyright[©] by Chiang Mai University
All rights reserved

สารบัญภาพ

ภาพ	หน้า
1 แผนที่ประเทศไทยตอนบนแสดงบริเวณแหล่งน้ำพุร้อนที่ทำการศึกษาทั้ง 9 แหล่ง	14
2 แหล่งน้ำพุร้อนที่ทำการศึกษาริเวณภาคเหนือตอนบนของประเทศไทย	17
3 เปอร์เซ็นต์ของอัตราเตอร์ต่าง ๆ ในกลุ่มสาหร่ายสีเขียวแแกมน้ำเงินที่พบในน้ำพุร้อนทั้ง 9 แหล่งระหว่างเดือนตุลาคม 2542 ถึงกันยายน 2543	31
4 เปอร์เซ็นต์ของสปีชีส์สาหร่ายสีเขียวแแกมน้ำเงินที่พบในช่วงอุณหภูมิ 30-80 °C ระหว่างเดือนตุลาคม 2542 ถึงกันยายน 2543	31
5 เปอร์เซ็นต์ของสปีชีส์สาหร่ายสีเขียวแแกมน้ำเงินที่พบในน้ำพุร้อนทั้ง 9 แหล่ง ระหว่างเดือนตุลาคม 2542 ถึงกันยายน 2543	31
6 ก สาหร่ายสีเขียวแแกมน้ำเงินบางสปีชีส์ที่สำรวจพบในน้ำพุร้อนทั้ง 9 แหล่ง	40
6 ข ภาพวาดสาหร่ายสีเขียวแแกมน้ำเงินบางสปีชีส์ที่สำรวจพบในน้ำพุร้อนทั้ง 9 แหล่ง	41
7 ความเป็นกรด-ค้าง (pH) ของน้ำพุร้อนทั้ง 9 แหล่ง ในช่วงอุณหภูมิ 30 – 80 °C ในฤดูแล้ง	43
8 ความเป็นกรด-ค้าง (pH) ของน้ำพุร้อนทั้ง 9 แหล่ง ในช่วงอุณหภูมิ 30 – 80 °C ในฤดูฝน	43
9 ค่าการนำไฟฟ้า ($\mu\text{s.cm}^{-1}$) ของน้ำพุร้อนทั้ง 9 แหล่ง ในช่วงอุณหภูมิ 30 – 80 °C ในฤดูแล้ง	44
10 ค่าการนำไฟฟ้า ($\mu\text{s.cm}^{-1}$) ของน้ำพุร้อนทั้ง 9 แหล่ง ในช่วงอุณหภูมิ 30 – 80 °C ในฤดูฝน	44
11 ความเป็นด่าง (mg.l^{-1}) ของน้ำพุร้อนทั้ง 9 แหล่ง ในช่วงอุณหภูมิ 30 – 80 °C ในฤดูแล้ง	45
12 ความเป็นด่าง (mg.l^{-1}) ของน้ำพุร้อนทั้ง 9 แหล่ง ในช่วงอุณหภูมิ 30 – 80 °C ในฤดูฝน	45
13 ปริมาณออกซิเจนที่ละลายน้ำ (mg.l^{-1}) ของน้ำพุร้อนทั้ง 9 แหล่ง ในช่วงอุณหภูมิ 30 – 80 °C ในฤดูแล้ง	46
14 ปริมาณออกซิเจนที่ละลายน้ำ (mg.l^{-1}) ของน้ำพุร้อนทั้ง 9 แหล่ง ในช่วงอุณหภูมิ 30 – 80 °C ในฤดูฝน	46

สารบัญภาพ

ภาพ (ต่อ)	หน้า
15 ปริมาณ sulfide (mg.l^{-1}) ของน้ำพื้นที่ 9 แหล่งในช่วงอุณหภูมิ $30 - 80^{\circ}\text{C}$ ในถุงแล้ง	47
16 ปริมาณ sulfide (mg.l^{-1}) ของน้ำพื้นที่ 9 แหล่งในช่วงอุณหภูมิ $30 - 80^{\circ}\text{C}$ ในถุงผน	47
17 ปริมาณ SRP (mg.l^{-1}) ของน้ำพื้นที่ 9 แหล่งในช่วงอุณหภูมิ $30 - 80^{\circ}\text{C}$ ในถุงแล้ง	48
18 ปริมาณ SRP (mg.l^{-1}) ของน้ำพื้นที่ 9 แหล่งในช่วงอุณหภูมิ $30 - 80^{\circ}\text{C}$ ในถุงผน	48
19 ปริมาณไนเตรท-ไนโตรเจน (mg.l^{-1}) ของน้ำพื้นที่ 9 แหล่งในช่วงอุณหภูมิ $30 - 80^{\circ}\text{C}$ ในถุงแล้ง	49
20 ปริมาณไนเตรท-ไนโตรเจน (mg.l^{-1}) ของน้ำพื้นที่ 9 แหล่งในช่วงอุณหภูมิ $30 - 80^{\circ}\text{C}$ ในถุงผน	49
21 ปริมาณแอมโมเนียม-ไนโตรเจน (mg.l^{-1}) ของน้ำพื้นที่ 9 แหล่งในช่วงอุณหภูมิ $30 - 80^{\circ}\text{C}$ ในถุงแล้ง	50
22 ปริมาณแอมโมเนียม-ไนโตรเจน (mg.l^{-1}) ของน้ำพื้นที่ 9 แหล่งในช่วงอุณหภูมิ $30 - 80^{\circ}\text{C}$ ในถุงผน	50
23 ก สาหร่ายสีเขียวแกมน้ำเงินที่แยกเป็นสปีชีส์เดี่ยว หรือ axenic culture	55
23 ข ภาพวาดสาหร่ายสีเขียวแกมน้ำเงินที่แยกเป็นสปีชีส์เดี่ยว หรือ axenic culture	56
24 แบคทีเรียสังเคราะห์แสงที่แยกได้เป็นสปีชีส์เดี่ยว <i>Chloroflexus</i> -sp	57
25 การเพาะเลี้ยงสาหร่ายสีเขียวแกมน้ำเงินและแบคทีเรียสังเคราะห์แสงที่อุณหภูมิต่างๆ	58
26 การเพาะเลี้ยงสาหร่ายสีเขียวแกมน้ำเงินในอาหารแข็ง	59
27 การวิเคราะห์ข้อมูลสปีชีส์สาหร่ายตามระดับช่วงอุณหภูมิ เปรียบเทียบกับถุงกาล โดยใช้วิธีการเปรียบเทียบแบบ cluster analysis	82

บทที่ 1

บทนำ

สาหร่ายสีเขียวแกมน้ำเงินที่ทนต่ออุณหภูมิสูง (thermophilic blue-green algae) และแบคทีเรียสังเคราะห์แสงที่ทนอุณหภูมิสูง (thermophilic photosynthetic bacteria) จะพบอยู่ทั่วไปตามบ่อน้ำร้อนและน้ำพุร้อน จัดเป็นทรัพยากรธรรมชาติที่มีคุณค่าสูง ได้มีการนำเออน้ำมีสารปฏิชีวะ กระดองมิโน วงศ์ตุ้น ฯ และอื่น ๆ มาใช้ในระดับอุตสาหกรรม เกษตรกรรม และทางด้านการแพทย์ เนื่องจากคุณสมบัติของการคงความสามารถในการทำงานที่อุณหภูมิสูง และเออน้ำมีสารปฏิชีวะซึ่งมีความสามารถในการทำงานสูงที่อุณหภูมิสูงได้ ซึ่งเป็นคุณสมบัติที่สำคัญ ประการหนึ่งของเออน้ำมีสารปฏิชีวะที่มีคุณประสึค์ในการนำมาใช้ในระดับอุตสาหกรรม ทั้งนี้เพื่อความสามารถในการเดือยและถักดัดที่อุณหภูมิสูง โดยที่เออน้ำมีสารปฏิชีวะร้อนกับสูญเสียความสามารถในการทำงาน นอกจากนี้การเพาเวลล์เดือยที่อุณหภูมิสูงยังเป็นการประหยัดต้นทุนในการผลิต เพราะไม่ต้องใช้ระบบความเย็นควบคุมอุณหภูมิ (cooling system) และอุณหภูมิสูงยังเป็นการป้องกันการเจริญของเชื้อจุลทรรศน์อื่น ได้อีกด้วย

บริเวณที่สาหร่ายสีเขียวแกมน้ำเงินและแบคทีเรียสังเคราะห์แสงที่ทนอุณหภูมิสูง สามารถเจริญได้นั้นคือ น้ำพุร้อน (hot spring) ซึ่งเป็นแหล่งพลังงานความร้อนได้พิเศษ ที่สามารถนำมาใช้ให้เกิดประโยชน์แก่นานมุขได้มากมาย ในต่างประเทศได้มีการนำมาผลิตกระแสไฟฟ้า เช่น สหรัฐอเมริกา พลิปปินส์ อิตาลี นิวซีแลนด์ เม็กซิโก ญี่ปุ่น เอชตัวคอร์ ไอซ์แลนด์ และนิカラากัว นอกจากราชบัตเตอร์นี่ยังนำไปใช้กับเครื่องบ่มแห้งผลิตผลทางการเกษตรและใช้ในโรงงานอุตสาหกรรมต่าง ๆ อีกมากมาย ส่วนทางด้านชีววิทยาได้มีผู้สนใจศึกษาเกี่ยวกับจุลทรรศน์ที่อาศัยอยู่ในน้ำพุร้อนทั้งชนิดจำนวน และศรีร่วม เพื่อนำมาวิเคราะห์หาประโยชน์และประโยชน์ของจุลทรรศน์เหล่านี้

สิ่งมีชีวิตที่สามารถเจริญได้ในสภาพแวดล้อมที่ติดปกติ เช่น น้ำพุร้อนที่มีอุณหภูมิสูง ๆ จะต้องมีคุณสมบัติทนต่ออุณหภูมิเหล่านี้ ซึ่งเรียกว่า thermophilic organisms อันประกอบด้วยจุลทรรศน์หลายประเภท เช่น แบคทีเรียและสาหร่าย หลายชนิด สำหรับสาหร่าย ซึ่งเจริญได้ในที่อุณหภูมิสูงนี้ จัดเป็นประเภท thermophilic algae เป็นสิ่งมีชีวิตที่เกิดก่อนสิ่งมีชีวิตอื่น ๆ เช่นเดียวกับแบคทีเรียสาหร่ายชนิดนี้คงทนต่อสภาพแวดล้อมที่มีอุณหภูมิสูงได้ เนื่องจากมีเม็ดหุ้มและไม้เลกูลของโปรดีนจับตัวกันแน่น ส่วนใหญ่สาหร่ายที่พบในน้ำพุร้อนจะเป็นพวงสาหร่ายสีเขียวแกมน้ำเงิน

ในต่างประเทศได้มีการนำสาหร่ายจากน้ำพุร้อนมาใช้ในการแก้ปัญหาสิ่งแวดล้อม โดยมีการศึกษาถึงชนิดของสาหร่ายที่สามารถตระเริงก้าชาเรือนได้มากและมีประสิทธิภาพเพื่อนำมาใช้ลดปริมาณคาร์บอนไดออกไซด์ที่มีมากในสิ่งแวดล้อม พร้อมกันนั้นในกระบวนการ

เมต้าบอลิซึมก็จะได้สารอินทรีย์หลายชนิดที่มีประโยชน์ นอกจากนี้ยังได้มีการนำสารร่า Yasuwa แกมน้ำเงินกลุ่มนี้มาใช้ประโยชน์ในการผลิตก้าชไชโตรเจน ซึ่งเป็นพลังงานบริสุทธิ์ได้อีกด้วย

ส่วนในประเทศไทยนั้นการศึกษาสาหร่ายสีเขียวแกมน้ำเงินและแบบที่เรียกว่าจะต้องแสดง ในน้ำพุร้อนทั้งในด้านความหลากหลาย การคัดแยกสายพันธุ์และการนำมาใช้ประโยชน์ ยังมีผู้ที่ทำการศึกษากันไม่นานนัก ทั้ง ๆ ที่สิ่งมีชีวิตเหล่านี้เป็นทรัพยากรที่สามารถนำมาใช้ประโยชน์ได้อย่าง มีประสิทธิภาพ งานวิจัยนี้จึงมีจุดประสงค์ที่จะคัดแยกสายพันธุ์ และสำรวจความหลากหลายของ สาหร่ายในน้ำพุร้อนในเขตภาคเหนือตอนบนของประเทศไทย ได้แก่ น้ำพุร้อนสันกำแพง กิ่งข่าgeom แม่อ่อน น้ำพุร้อนโป่งเดื่อ ข่า geom แตง น้ำพุร้อนเทพนม ข่า geom แม่เจ่น โป่งน้ำร้อนดอยสะเก็ต ข่า geom ดอยสะเก็ต น้ำพุร้อนแม่ฟ้าง ข่า geom ฟ้าง จังหวัดเชียงใหม่ โป่งน้ำร้อนแม่ขัน ข่า geom แม่ขัน จังหวัดเชียงราย น้ำพุร้อนหัวขามากเลี่ยม ข่า geom เมือง จังหวัดเชียงราย น้ำพุร้อน แจ้ช้อน ข่า geom เมืองปาน จังหวัดลำปาง และน้ำพุร้อนท่าปาย ข่า geom ปาย จังหวัดแม่ฮ่องสอน ซึ่งในน้ำพุร้อนแต่ละ แหล่งจะมีอุณหภูมิและองค์ประกอบของน้ำที่แตกต่างกัน ซึ่งมีผลต่อชนิดและปริมาณของสาหร่าย ในน้ำพุร้อน ผลสำเร็จจากการวิจัยนี้จะสามารถคัดแยกสายพันธุ์บริสุทธิ์ของสาหร่ายสีเขียวแกน น้ำเงิน และแบบที่เรียกว่าจะต้องแสดงจากแหล่งน้ำพุร้อนที่ศึกษาเพื่อนำไปวิจัยถึงการนำไปใช้ ประโยชน์ทางด้านโภชนาการ อุตสาหกรรม การแพทย์ และ การเกษตรต่อไป

วัตถุประสงค์ของการวิจัย

- เพื่อคัดแยกสายพันธุ์บริสุทธิ์ของสาหร่ายสีเขียวแกมน้ำเงินและแบบที่เรียกว่าจะต้องแสดง ที่กันอุณหภูมิสูงในน้ำพุร้อน และเก็บไว้ในลักษณะมีชีวิต (culture collection) เพื่อนำไปศึกษาและ ใช้ประโยชน์ในอนาคตต่อไป
- เพื่อศึกษาความหลากหลาย การกระจาย และปริมาณของสาหร่ายสีเขียวแกนน้ำเงินรวม ทั้งความสัมพันธ์กับคุณสมบัติทางกายภาพและเคมีของน้ำพุร้อนในบริเวณภาคเหนือตอนบนของ ประเทศไทย

บทที่ 2

ทบทวนเอกสาร

น้ำพุร้อนเป็นแหล่งน้ำธรรมชาติ ส่วนใหญ่เกิดในบริเวณที่หินเกิดรอยเดือนและรอยแตกซึ่งมีขนาดใหญ่และมีการเคลื่อนที่ ทำให้เกิดการแผ่ความร้อนระหว่างรอยเดือนและรอยแตกของหินจากการพิจารณาคุณสมบัติทางเคมี พบว่าน้ำพุร้อนมีดันกําเนิดมาจากน้ำฝนที่ตกลงมาสู่ผิวโลกฝนบริเวณข้างเคียงและมักจะเกิดในบริเวณที่น้ำจะต้องไหลออกตามธรรมชาติ ปริมาณน้ำพุร้อนที่ไหลขึ้นมาหรือถูกปล่อยออกตามธรรมชาติจะมากหรือน้อยต่างกันในแต่ละบริเวณ ปกติแล้วปริมาณของน้ำที่ไหลออกจะasmaller than the amount of water entering the system (กรมทรัพยากรธรรมชาติ, 2529)

บริเวณน้ำพุร้อนจะมีการไหลของน้ำพุร้อนไปยังลักษณะ คล่อง ทำให้มีระดับความร้อนแตกต่างกัน สิ่งมีชีวิตที่อาศัยอยู่ในน้ำพุร้อนจึงมีการปรับตัว (adaptation) ให้สามารถอยู่ในที่มีอุณหภูมิสูง ๆ ได้ สาหร่ายเป็นสิ่งมีชีวิตชนิดหนึ่งที่สามารถเจริญได้ในน้ำพุร้อนโดยสาหร่ายแต่ละชนิดจะเจริญได้ในแต่ละระดับของอุณหภูมิที่ต่างกัน และการที่สิ่งมีชีวิตเหล่านี้สามารถเจริญได้นั้นขึ้นอยู่กับปัจจัยต่าง ๆ ได้แก่ ปัจจัยทางกายภาพ (physical factor) ปัจจัยทางเคมี (chemical factor) และปัจจัยทางชีวภาพ (biological factor) (สาระบุรี, 2523)

ปัจจัยทางกายภาพที่มีผลต่อการเจริญของสิ่งมีชีวิตในน้ำพุร้อน มีหลายประการ ซึ่ง Odum (1971) กล่าวว่า แสงสว่าง เป็นปัจจัยที่สำคัญที่ควบคุมการผลิต ความเข้มของแสงสว่างจะมีผลต่อผู้ผลิตขั้นปฐมภูมิ (primary producer) และกล่าวว่าในน้ำพุร้อนขนาดใหญ่ที่มีอุณหภูมิกึ่งที่เข่นน้ำพุร้อน Iceland ที่มีอุณหภูมิกึ่งที่ในช่วงฤดูหนาวหมายเหตุการเจริญของสาหร่าย แต่มีแสงสว่างเพียงเล็กน้อยในการสังเคราะห์ ทำให้สาหร่ายมีความหนาแน่นน้อยลง ปัจจัยที่สำคัญต่อไปคือ อุณหภูมิ น้ำพุร้อนที่มีช่วงอุณหภูมิกึ่งที่ทำให้สิ่งมีชีวิตบริเวณนั้นอยู่รอดได้ สาหร่ายสีเขียวแกมน้ำเงินสามารถปรับตัวให้ทนต่ออุณหภูมิและสภาพแวดล้อมที่ไม่เหมาะสมได้ดี บางสปีชีส์สามารถติ่งในโตรเรนได้ เช่น *Mastigocladus laminosus* ซึ่งจัดเป็นพวก polythermal organism (Odum, 1971) เมื่อวัดการเจริญของสาหร่ายสีเขียวแกมน้ำเงินในน้ำพุร้อนที่อุณหภูมิต่าง ๆ โดยใช้ปริมาณคลอร์ฟิลล์ โปรตีน และ RNA เป็นเครื่องบ่งชี้โดยกำหนดให้สิ่งแวดล้อมอื่น ๆ คงที่ พบว่า อุณหภูมิเป็นตัวควบคุมการเจริญของสาหร่ายในน้ำพุร้อน และอุณหภูมิที่เหมาะสมต่อการเจริญ (optimum temperature) คือ 54°C (Brock, 1966) นอกจากนี้ ความเป็นกรด-ด่าง (pH) ยังมีผลต่อการเจริญของจุลินทรีย์ โดย Odum (1971) กล่าวถึงความเป็นกรด-ด่างว่า ในน้ำพุร้อนจะถูกจำกัดด้วยต่ำความเป็นกรดแท่หรือด่างแท่ ซึ่งในน้ำพุร้อนที่มีสภาพเป็นกรดแท่จะมีการออกซิไดซ์ไฮโดรเจนซัลไฟล์เป็นกรดกำมะถัน น้ำพุร้อนที่มีสภาพเป็นกรดแท่จะจำกัดการกระจายของ

สิ่งมีชีวิต Fogg (1973) Lynch and Poole (1979) ได้กล่าวไว้ว่าสาหร่ายที่สามารถมีชีวิตอยู่ในน้ำพุร้อนที่มีสภาพเป็นกรดแก่ ได้แก่ *Cyanidium caldarium* น้ำพุร้อนที่มีสภาพเป็นค่างซึ่งมีอุณหภูมิระหว่าง $51 - 56^{\circ}\text{C}$ จะพบ *Mastigocladus laminosus*, *Phormidium laminosum* และ *Synechococcus* sp. เป็นจำนวนมาก

สำหรับปัจจัยทางเคมีที่มีผลต่อการเจริญของสิ่งมีชีวิตในน้ำพุร้อนนั้น Lynch and Poole (1979) กล่าวว่ามีปัจจัยทางเคมี ได้แก่ การละลายของออกซิเจนในน้ำ ปริมาณการละลายของออกซิเจนในน้ำจะแปรผันตามอุณหภูมิ เมื่ออุณหภูมิสูงขึ้นปริมาณการละลายของออกซิเจนในน้ำจะลดลง ซึ่งมีผลต่อชนิดและจำนวนของสิ่งมีชีวิตในน้ำพุร้อน นอกจากนี้ ความเข้มข้นของสารอินทรีย์ ยังมีผลต่อการกระจายของจุลินทรีย์ ในน้ำพุร้อนส่วนใหญ่จะมีความเข้มข้นของสารอินทรีย์ต่ำจึงเป็นปัจจัยสำคัญที่กำหนดชนิดของจุลินทรีย์แต่มีผลต่อสาหร่ายน้อย

ปัจจัยทางชีวภาพที่มีผลต่อการเจริญของสิ่งมีชีวิตในน้ำพุร้อน ก็เป็นปัจจัยที่สำคัญซึ่ง Odum (1971) กล่าวว่า ในน้ำพุร้อนน้ำดิใหญ่จะมีความสมดุลของมวลทางชีวภาพเนื่องจากมีการเปลี่ยนแปลงการแทนที่ของสิ่งมีชีวิตอยู่เสมอ จึงทำให้สิ่งมีชีวิตอยู่ในสภาพแวดล้อม นอกจากนั้น การถ่ายทอดพลังงาน ในน้ำพุร้อนก็เช่นเดียวกับระบบบินิเวศทั่วไปโดยผู้ผลิตโดยส่วนใหญ่จะเป็นสาหร่ายสีเขียวแกมน้ำเงิน

ในด้านลักษณะของน้ำพุร้อนนั้น Fogg et al. (1973) ได้แบ่งน้ำพุร้อนตามสภาพความเป็นกรด-ค่างและมวลชีวภาพของสาหร่ายออกเป็น 3 ประเภทดังนี้คือ ประเภทแรก Alkaline springs มี pH ประมาณ 9 มวลชีวภาพของสาหร่ายมีมากที่สุด ประเภทที่สอง Calcium carbonate springs มี calcium carbonate ทับถมเป็นชั้น ๆ มวลชีวภาพของสาหร่ายมีน้อยกว่าแบบที่ 1 และประเภทสุดท้าย Acid springs มี pH ตั้งแต่ 2.1 – 6.0 ไม่มีสาหร่ายสีเขียวแกมน้ำเงิน แต่มีสาหร่ายเซลล์เดียว เช่น *Cyanidium* sp. เป็นจำนวนมาก ส่วน Ramingwong et al. (1978) แบ่งน้ำพุร้อนตามลักษณะที่ปรากฏได้ 3 ชนิดดังนี้คือ ชนิดแรก Seep springs มีลักษณะเป็นอ่างน้ำเล็ก ๆ มีน้ำขังหรือเป็นร่องเล็ก ๆ ที่มีน้ำไหล ชนิดที่สอง Pool springs มีลักษณะเป็นบ่อหรือแอ่ง ซึ่งอาจเป็นบ่อที่มีน้ำใสหรือมีโคลนผสมอยู่ และชนิดสุดท้าย Geyser มีลักษณะเป็นบ่อหรือแอ่ง มีน้ำพุสูงขึ้นมาจากการเริ่มน้ำที่ลึก

น้ำพุร้อนบริเวณภาคเหนือของประเทศไทยส่วนใหญ่จะมีลักษณะเป็นแบบ alkaline springs และแบบ pool springs อุณหภูมิตั้งแต่ $45 - 100^{\circ}\text{C}$ (สรระบุรี, 2523)

กล่าวสำหรับความสามารถในการเจริญของจุลินทรีย์ที่อุณหภูมิสูงนั้น Campbell and Pace (1968) ได้กล่าวไว้ว่าจุลินทรีย์พาก thermophile สามารถมีชีวิตอยู่รอดและเจริญได้ที่อุณหภูมิสูงเนื่องจากมีคุณสมบัติดังนี้คือ คุณสมบัติแรก เอนไซม์และโครงสร้างที่มีโปรตีนเป็นองค์ประกอบมีคุณสมบัติทนต่อความร้อนสูง ซึ่งเอนไซม์ของจุลินทรีย์ที่ชอบอุณหภูมิสูงแบ่งออกเป็น 3 กลุ่มดังนี้

คือ กลุ่มแรก กลุ่มเดอน ไซม์ที่ทำงานได้ในช่วงอุณหภูมิไม่เกิน 55 – 60 °C เช่น malic dehydrogenase, adenosine triphosphalase, inorganic pyrophosphatase, aldolase และ peptidase กลุ่มที่สอง กลุ่ม เดอน ไซม์ที่จะทำงานเมื่อมีสารเริ่มต้นในปฏิกิริยาท่านนี้ เช่น asparagine deaminase, catalase, pyruvic acid oxidase และ isocitratelase และกลุ่มสุดท้าย กลุ่มเดอน ไซม์และ โปรตีนที่ต้านทานต่อ ความร้อนสูง เช่น α -amylase, protease, glyceraldehyde – 3 – phosphate dehydrogenase และ เดอน ไซม์ที่กระตุ้นการทำงานของกรดอะมิโน

คุณสมบัติที่สอง เยื่อหุ้มเซลล์คงตัวเมื่อความร้อนสูง เนื่องจากพวก thermophile จะมีลิปิด (lipid) ที่ละลายในกรดไขมัน (fatty acid) จำนวนมาก การที่ลิปิดละลายในกรดไขมันทำให้เยื่อหุ้ม เซลล์คงตัวจึงสามารถทำงานได้ดีที่อุณหภูมิสูง ตรงข้ามกับพวก psychrophile (สิ่งมีชีวิตที่เจริญใน ที่อุณหภูมิต่ำ) ที่ลิปิดไม่ละลายในกรดไขมันจึงทำงานได้เฉพาะที่อุณหภูมิต่ำและไม่คงตัวในสภาพ ที่มีอุณหภูมิสูง นอกจากนี้จุดหลอมเหลวของลิปิดของพวก thermophile จะสูง เยื่อหุ้มเซลล์ขึ้น ได้บ้างเมื่อได้รับความร้อน รูมีขนาดใหญ่ขึ้น และเดอน ไซม์สามารถทำงานได้ดีขึ้นอยู่ให้สารผ่านได้ และทนต่อ osmotic shock

คุณสมบัติที่สาม สามารถสร้างส่วนประกอบของเซลล์ขึ้นใหม่ได้อย่างรวดเร็ว เซลล์จะมี อัตรา เมตาโนบิลิซึมสูง ในสภาพที่อุณหภูมิสูง ทำให้มีการขนส่ง substrate และของเสียเข้าออกเซลล์ ได้อย่างรวดเร็ว และคุณสมบัติสุดท้าย สามารถปรับตัวทางสิริวิทยาให้ทำงานได้ดีในอุณหภูมิสูง หรือเท่ากับสิ่งแวดล้อมที่อาศัยอยู่ จุลินทรีย์ส่วนใหญ่ที่อาศัยอยู่ในน้ำพุร้อนจะปรับตัวทางสิริวิทยา ให้ทำงานได้ดีในสิ่งแวดล้อมที่อาศัยอยู่ และมีบางชนิดที่สามารถปรับตัวให้ทำงานได้มากกว่าสิ่ง แวดล้อมที่อาศัยอยู่ เช่น *Cyanidium caldarium*

การสำรวจความหลากหลาย การคัดเลือกสายพันธุ์และการศึกษาสาหร่ายสีเขียวแกมน้ำเงินและ แบคทีเรียสังเคราะห์แสงในน้ำพุร้อนทั้งในประเทศไทยและต่างประเทศ

ในประเทศไทยได้มีผู้สำรวจและศึกษาสาหร่ายสีเขียวแกมน้ำเงินและแบคทีเรียสังเคราะห์ แสงดังนี้ ในปี 2523 สระบุรี ได้ทำการสำรวจจุลินทรีย์ในน้ำพุร้อน ไปง่อม ตำบลล่อนหลวง อำเภอ สันกำแพง จังหวัดเชียงใหม่ พบสาหร่ายทั้งหมด 10 สปีชีส์ ได้แก่ *Chroococcus turgidus*, *Navicula* sp., *Oscillatoria* spp. และ *Spirogyra* sp. หลายปีต่อมา กาญจนานา คณะ (2532) ได้ทำการสำรวจและศึกษาสาหร่ายสีเขียวแกมน้ำเงินในน้ำพุร้อนบริเวณภาคเหนือ ได้แก่ น้ำพุร้อนแม่ฟาง อำเภอฝาง น้ำพุร้อนไปง่อม อำเภอสันกำแพง จังหวัดเชียงใหม่ และน้ำพุร้อนบ้านท่าไม้แดง อำเภอ เมือง จังหวัดกำแพงเพชร พบสาหร่ายชนิดเด่น ได้แก่ *Calothrix* sp., *Oscillatoria terebriformis* และ

Synechococcus sp. ในปีต่อมาคือปี 2533 ประวิทช์ ได้ทำการศึกษานิเวศวิทยาของสาหร่ายบริเวณน้ำพุร้อนบ้านโป่งช่อง อำเภอสันกำแพง จังหวัดเชียงใหม่ พบสาหร่ายทั้งหมด 98 สปีชีส์ ตัวอย่างเช่น *Myxosarcina amethystina*, *Navicula* sp., *Oscillatoria* spp. และ *Synechococcus aeruginosus* ต่อมา วิรัชนีร์ (2534) ศึกษานิเวศและชีววิทยาของสาหร่ายในน้ำพุร้อน อำเภอเชียงใหม่ จังหวัดพะกู้ พบสาหร่ายทั้งหมด 14 สปีชีส์ ได้แก่ *Myxosarcina amethystina*, *Phormidium* spp., *Oscillatoria* spp. และ *Synechococcus elongatus* นอกจากนี้ยังได้ทำการแยกตัวอย่างสาหร่ายให้เป็นชนิดเดี่ยว ๆ ซึ่งสามารถแยกได้ทั้งหมด 5 สปีชีส์ ได้แก่ *Chroococcus* sp., *Phormidium ambiguum* และ *Synechococcus elongatus* จากนั้นในปี 2535 กาญจนฯ และ สุทธิรักษ์ ได้ทำการสำรวจชนิดของสาหร่ายสีเขียวแกมน้ำเงินในปอนด้าร้อนหินคาด อำเภอทองผาภูมิ จังหวัดกาญจนบุรี ซึ่งมีอุณหภูมิประมาณ 40°C พบ *Oscillatoria* spp. เป็นชนิดเด่น และปี 2540 วัชรชัย ได้ทำการแยกเบคทีเรียสัมเคราะห์แสงจากบ่อหมักก้าชาชีวภาพ สามารถแยกได้ 9 ตัวอย่าง พบว่าเป็นพวก purple non-sulfur photosynthetic bacteria ซึ่งเชื่อว่าทั้งหมดคือ *Rhodopseudomonas* sp.

ในต่างประเทศนั้นได้มีการศึกษากันมาอย่างต่อเนื่อง โดยในปี 1973 Castenholz ทำการศึกษาสาหร่ายสีเขียวแกมน้ำเงินในน้ำพุร้อน Hunter รัฐ约里гон น้ำพุร้อน Yellowstone National Park ประเทศสหรัฐอเมริกา และน้ำพุร้อนในประเทศไทยอ้อแลนด์และนิวเซาแลนด์ พบ *Synechococcus lividus* ที่อุณหภูมิ $73\text{--}74^{\circ}\text{C}$ *Oscillatoria terebriformis* ที่อุณหภูมิ $35\text{--}38^{\circ}\text{C}$ และ *Mastigocladus laminosus* ที่อุณหภูมิ $63\text{--}64^{\circ}\text{C}$ ต่อมา Brock (1975) ได้ทำการศึกษาจำนวนและชนิดของสาหร่ายสีเขียวแกมน้ำเงินในน้ำพุร้อนที่ช่วงอุณหภูมิต่าง ๆ คือ $30\text{--}75^{\circ}\text{C}$ พบว่าที่ช่วงอุณหภูมิ $30\text{--}35^{\circ}\text{C}$ มีจำนวนและชนิดของสาหร่ายสีเขียวแกมน้ำเงินมากที่สุดถึง 90 สปีชีส์ และช่วงอุณหภูมิ $65\text{--}70^{\circ}\text{C}$ และ $70\text{--}75^{\circ}\text{C}$ มีจำนวนและชนิดของสาหร่ายสีเขียวแกมน้ำเงินน้อยที่สุดคือ 1 สปีชีส์ ในปีเดียวกันนี้ Round (1975) ได้ทำการสำรวจสาหร่ายในน้ำพุร้อน On Sunda ประเทศอินโดนีเซีย พบชนิดสาหร่ายแตกต่างกันตามช่วงระดับอุณหภูมิ โดยที่อุณหภูมิ $45\text{--}55^{\circ}\text{C}$ พบสาหร่าย *Mastigocladus laminosus*, *Phormidium laminosum*, *Pleurocapsa fluviatilis*, *Plectonema notatum* v. *africanum*, *Scytonema coactile* v. *thermale* ที่อุณหภูมิ $55\text{--}60^{\circ}\text{C}$ พบสาหร่าย *Synechococcus elongatus* f. *thermalis*, *Synechosystis aquatilis*, *Phormidium laminosum*, *Onconema thermale*, *O. compactum*, *Phormidium tenue*, *P. cebennese* f. *thermale*, *Mastigocladus laminosus* ที่อุณหภูมิสูงกว่า 60°C พบสาหร่าย *Synechococcus elongatus* f. *thermalis*, *Synechosystis aquatilis*, *Phormidium laminosum* และในช่วงเวลาเดียวกัน Spering (1975) ทำการศึกษาระบบนิเวศของสาหร่ายในน้ำพุร้อนทางตอนใต้ของประเทศไทยอ้อแลนด์ พบ *Mastigocladus laminosus* ในน้ำที่อุณหภูมิ 55°C และพบ *Lyngbya martensiana* และ *Phormidium corium* ในธารน้ำร้อนที่มีอัตราการไหลปานกลาง

จนถึงแรง อุณหภูมิ $31\text{--}41^{\circ}\text{C}$ ต่อมาในปี 1978 Brock ได้ศึกษาความหลากหลายของสาหร่ายสีเขียวแกมน้ำเงิน พบร่วมกับอุณหภูมิ โดยพบว่าที่อุณหภูมิ $30\text{--}35^{\circ}\text{C}$ มีจำนวนและชนิดของสาหร่ายมากและลดลงเมื่ออุณหภูมิเพิ่มขึ้น ในขณะที่อุณหภูมิ $70\text{--}75^{\circ}\text{C}$ จะมีสาหร่ายสีเขียวแกมน้ำเงินเพียงชนิดเดียวคือ *Synechococcus* sp. ที่สามารถเจริญได้ พร้อมกันนี้ก็ได้อ้างถึง Peary and Castenholz (1964) ว่ามีการศึกษาอุณหภูมิที่เหมาะสม ต่อการเจริญของสาหร่ายสีเขียวแกมน้ำเงิน *Synechococcus lividus* ที่เก็บมาจากอุณหภูมิต่าง ๆ ในน้ำพุร้อน Hunter รัฐโอริกอน พบร่วมกับสารแต่งอุณหภูมิที่เหมาะสมต่อการเจริญได้เป็น 4 กลุ่มดังนี้คือ กลุ่มที่ 1 สายพันธุ์ที่เก็บมาจากอุณหภูมิ $45, 48$ และ 53°C อุณหภูมิที่เหมาะสมต่อการเจริญคือ 45°C กลุ่มที่ 2 สายพันธุ์ที่เก็บมาจากอุณหภูมิ 55 และ 60°C อุณหภูมิที่เหมาะสมต่อการเจริญคือ 50°C กลุ่มที่ 3 สายพันธุ์ที่เก็บมาจากอุณหภูมิ 66 และ 71°C อุณหภูมิที่เหมาะสมต่อการเจริญคือ 55°C และกลุ่มสุดท้ายสายพันธุ์ที่เก็บมาจากอุณหภูมิ 75°C อุณหภูมิที่เหมาะสมต่อการเจริญคือ 65°C ต่อมา Leghari and Thebo (1983) ศึกษาสาหร่ายสีเขียวแกมน้ำเงินในน้ำพุร้อน Laki Shah Sadar ประเทศปากีสถาน พบร่วมกับอุณหภูมิที่เหมาะสมต่อการเจริญได้แก่ *Oscillatoria* spp., *Phormidium* spp. และ *Synechococcus* spp. สามปีต่อมา Compére and Delmotte (1986) ได้ทำการสำรวจและเก็บตัวอย่างสาหร่ายในน้ำพุร้อนประเทศไทย ทวีป แอฟริกา พบ. ไดอะตوم 120 สายพันธุ์ และสาหร่ายสีเขียวแกมน้ำเงินหลายสายพันธุ์ ได้แก่ *Navicula cuspidata*, *Oscillatoria* spp., *Pinnularia appendiculata* และ *Synechococcus lividus* ต่อมาในปี 1994 Hayashi et al. ได้ทำการแยกสาหร่ายสีเขียวแกมน้ำเงินจากน้ำพุร้อนบ้านโป่งช่อง อําเภอสันกำแพง จังหวัดเชียงใหม่ สามารถแยก *Chroococcidiopsis* sp. ได้ 3 สายพันธุ์และได้ศึกษาอุณหภูมิและ pH ที่เหมาะสมต่อการเจริญ พบร่วมกับ *Chroococcidiopsis* sp. สายพันธุ์ TS - 821 มีอุณหภูมิที่เหมาะสมคือ 50°C และ pH ที่เหมาะสมประมาณ 8 นอกจากนี้ยังพบว่าสามารถตรึงไนโตรเจน ทนต่อไนโตรท์ ชัลไฟฟ์และคาร์บอนไดออกไซด์ที่ความเข้มข้นสูง ๆ ได้ จากนั้n Pentecost (1995) ศึกษาสาหร่ายสีเขียวแกมน้ำเงินในน้ำพุร้อนประเทศไทยอังกฤษ พบร่วมกับอุณหภูมิ พบร่วมกับ *P. luridum* และ *P. ambiguum* สามารถเจริญเติบโตได้ที่อุณหภูมิ 30 และ 40°C ตามลำดับ แต่ไม่สามารถเจริญได้ที่อุณหภูมิเกิน 47°C และเมื่อไม่นานมานี้ในปี 1999 Miyake et al. ได้ทำการศึกษาการผลิตก๊าซไฮdroเจน (H_2) จากสาหร่ายสีเขียวแกมน้ำเงินและแบคทีเรียสังเคราะห์แสงในระดับห้องปฏิบัติการ เพื่อนำไปประยุกต์ใช้ในระดับ อุตสาหกรรมต่อไป

บทที่ 3

อุปกรณ์และวิธีการ

อุปกรณ์ในการวิจัย

1. อุปกรณ์ที่ใช้ในการเก็บตัวอย่างสาหร่ายสีเขียวแกมน้ำเงินและแบนค์เรียสั่งเคราะห์แสง

- 1.1 ขวดเก็บตัวอย่าง
- 1.2 ปากกีบ
- 1.3 ช้อน
- 1.4 มีดปลายแหลม
- 1.5 ถุงพลาสติก
- 1.6 ยางรัด
- 1.7 เทอร์โนมิเตอร์
- 1.8 ปากกาและกระดาษเดเบต
- 1.9 pipette ขนาด 10 mL
- 1.10 ลูกยาง
- 1.11 pH meter ชุด electrode kit หรือ กระดาษวัด pH
- 1.12 แปรงสีฟัน

2. อุปกรณ์ที่ใช้ในการศึกษาคุณภาพน้ำทางด้านกายภาพและเคมีทางประการ

- 1.1 กระป๋องพลาสติก
- 1.2 ขวด BOD (biochemical oxygen demand)
- 1.3 เทอร์โนมิเตอร์
- 1.4 conductivity meter ชุด electrode kit
- 1.5 pH meter ชุด electrode kit
- 1.6 turbidimeter
- 1.7 spectrophotometer รุ่น DR 2000

3. อุปกรณ์ที่ใช้ในการวินิจฉัยสาหร่ายสีเขียวแกมน้ำเงินและแบนค์เรียสั่งเคราะห์แสง

ในห้องปฏิบัติการ

- 3.1 กล้องจุลทรรศน์ชนิด compound microscope
- 3.2 กล้องจุลทรรศน์เลนส์ประกอบพร้อมกล้องถ่ายรูปและฟิล์มถ่ายรูป
- 3.3 หนังสือและเอกสารที่ใช้ในการวินิจฉัยสาหร่ายและแบนค์เรียสั่งเคราะห์แสง

4. อุปกรณ์ที่ใช้ในการคัดแยกและเพาะเลี้ยงสาหร่ายสีเขียวแกมน้ำเงินและแบคทีเรียสังเคราะห์แสง

ในห้องปฏิบัติการ

- 1.1 ตู้เพาะเลี้ยงสาหร่ายปรับอุณหภูมิ 30, 45, 55 และ 70 °C
- 1.2 อาหารเลี้ยงสาหร่ายทั้งอาหารแข็งและเหลว
- 1.3 พลาสติกขนาด 250 มล.
- 1.4 petri dish
- 1.5 หลอดทดลอง
- 1.6 หลอดทดลองฝ่าเกลียว
- 1.7 ขวด universal
- 1.8 ห่วงถ่ายเชือก
- 1.9 ตะเกียงแอลกอฮอล์
- 1.10 เครื่องซั่งสาร
- 1.11 เครื่อง centrifuge
- 1.12 slide และ cover slip

การดำเนินงานวิจัย

1. การสำรวจแหล่งน้ำพุร้อน

ทำการสำรวจแหล่งน้ำพุร้อนในเขตภาคเหนือตอนบนของประเทศไทย ที่มีสภาพแวดล้อมที่เป็นธรรมชาติและมีอุณหภูมิที่แตกต่างกันชัดเจนในแต่ละจุดเก็บตัวอย่าง ในน้ำพุร้อนแต่ละแหล่ง จะทำการกำหนดจุดเก็บตัวอย่างโดยแบ่งตามอุณหภูมิและสิ่งแวดล้อมรอบ ๆ จุดเก็บตัวอย่าง กำหนดแหล่งน้ำพุร้อนที่ทำการศึกษาได้ดังนี้

แหล่งที่ 1 น้ำพุร้อนสันกำแพง อำเภอเมืองอุบลราชธานี จังหวัดเชียงใหม่

แหล่งที่ 2 น้ำพุร้อนโป่งเค็ด อำเภอแม่แตง จังหวัดเชียงใหม่

แหล่งที่ 3 น้ำพุร้อนเทพนม อำเภอแม่แจ่ม จังหวัดเชียงใหม่

แหล่งที่ 4 โป่งน้ำร้อนดอยสะเก็ต อำเภอดอยสะเก็ต จังหวัดเชียงใหม่

แหล่งที่ 5 น้ำพุร้อนแม่ฟ้าง อำเภอฟ้าง จังหวัดเชียงใหม่

แหล่งที่ 6 โป่งน้ำร้อนแม่จัน อำเภอแม่จัน จังหวัดเชียงราย

แหล่งที่ 7 น้ำพุร้อนแจ้ช้อน อำเภอเมืองปาน จังหวัดลำปาง

แหล่งที่ 8 น้ำพุร้อนท่าปาย อำเภอปาย จังหวัดแม่ฮ่องสอน

แหล่งที่ 9 น้ำพุร้อนห้วยหมากเดียน อำเภอเมือง จังหวัดเชียงราย

เก็บตัวอย่างในแต่ละชุดตามระดับของอุณหภูมิดังนี้

ระดับที่ 1	30-39 °C
ระดับที่ 2	40-49 °C
ระดับที่ 3	50-59 °C
ระดับที่ 4	60-69 °C
ระดับที่ 5	70-80 °C

2. การศึกษาคุณภาพน้ำทางด้านกายภาพและเคมีบางประการ

2.1 ศึกษาลักษณะของแหล่งน้ำและท้องน้ำ

2.2 วัดอุณหภูมิอากาศและน้ำ โดยใช้เทอร์โมนิเตอร์

2.3 วัดค่าการนำไฟฟ้า (conductivity) โดยใช้เครื่อง conductivity meter ชุด electrode kit

2.4 วัดค่า pH ของน้ำ โดยใช้ pH meter ชุด electrode kit หรือ กระดาษวัด pH

2.5 วัดค่าความขุ่นโดยใช้ turbidimeter

2.6 หาค่าความเป็นกรด – ด่าง (alkalinity) โดยใช้วิธี phenolphthaleine methyl orange indicator

(APHA, AWWA and WPCF, 1992)

2.7 หาปริมาณออกซิเจนที่ละลายในน้ำด้วยวิธีการ ไตรเตรท์โดยใช้ azide modification method

(APHA, AWWA and WPCF, 1992)

2.8 หาปริมาณสารอาหารในตระหง่าน, แอมโมเนียม ในตระหง่าน และ soluble reactive phosphorus (SRP) และ ไฮโดรเจนซัลไฟด์ (H_2S) โดยใช้เครื่อง spectrophotometer รุ่น DR 2000

3. การเก็บตัวอย่างสาหร่ายสีเขียวแกมน้ำเงินในน้ำพื้นที่

3.1 สาหร่ายประเภทยึดเกาะ (periphytic algae)

1. สาหร่ายพวกลูกที่เกาะอยู่บนหิน กิ่งไม้ เปลือกไม้ การเก็บจะใช้มีดขูดหรือปัดด้วยเบรงให้ตัวอย่างไหลลงสู่ขวดเก็บตัวอย่าง

2. สาหร่ายพวกลูกที่อยู่บริเวณผิวน้ำหรือท้องน้ำ บริเวณผิวน้ำจะเก็บโดยใช้ปากคีบคีบหรือช้อนตักใส่ขวดเก็บตัวอย่าง ส่วนสาหร่ายที่อยู่บริเวณท้องน้ำบางชนิดที่ไม่สามารถใช้ปากคีบเก็บได้ จะใช้ pipette ดูดใส่ขวดเก็บตัวอย่าง

3. สาหร่ายพวกลูกที่เป็นเส้นสาย จะเก็บโดยใช้ปากคีบคีบใส่ขวดเก็บตัวอย่าง ส่วนบางชนิดที่เกาะอยู่กับ substrate ต่าง ๆ จะเก็บทั้งหมดใส่ถุงพลาสติก

สาหร่ายที่เก็บมาได้จะแยกออกเป็น 2 ส่วน ส่วนที่จะนำไปศึกษาความหลากหลายจะเก็บรักษาโดยการเติม formalin 2 % ลงไป ส่วนที่นำไปคัดแยกสาบพันธุ์และเพาะเลี้ยงจะเก็บเป็นตัวอย่างสดและจะนำไปศึกษาต่อทันทีในห้องปฏิบัติการ

4. การวินิจฉัยชนิดของสาหร่ายสีเขียวแกรมน้ำเงินในแต่ละช่วงอุณหภูมิ

4.1 ถ่ายรูปสาหร่ายด้วยกล้องจุลทรรศน์ชนิด compound microscope

4.2 วินิจฉัยชนิดของสาหร่ายโดยการจำแนกเป็นหมวดหมู่ในระดับจีนัส (genus) และ สปีชีส์ (species) จากหนังสือและเอกสารที่เกี่ยวข้อง เช่น Huber-Pestalozzi (1938), Desikachary (1959), Anagnostidis and Komárek (1985; 1988; 1990), Anagnostidis *et al.* (1988), Hoffmann (1988), Kováčik (1988), และ Komárek and Anagnostidis (1989; 1999)

5. การเตรียมอาหารและการคัดแยกสาหร่ายสีเขียวแกรมน้ำเงินและแบคทีเรียสัมเคราะห์แสงให้ให้บริสุทธิ์

5.1 การเตรียมอาหารสำหรับเพาะเลี้ยงสาหร่ายสีเขียวแกรมน้ำเงินและแบคทีเรียสัมเคราะห์แสงให้บริสุทธิ์

5.1.1 การเตรียมอาหารสำหรับเพาะเลี้ยงสาหร่ายสีเขียวแกรมน้ำเงิน ใช้อาหารสูตร BG-11 medium (Stanier *et al.*, 1971) (ภาคผนวก ค) เตรียมทึ้งแบบอาหารเหลว และอาหารแข็ง อาหารเหลวจะเตรียมใส่ฟลาราสก์ขนาด 250 มล. ปริมาตรอาหาร 150 มล. และอาหารแข็งจะเตรียมใส่จานเพาะเชื้อ (petri dish) และขวด universal

5.1.2 การเตรียมอาหารสำหรับเพาะเลี้ยงแบบที่เรียกว่าสัมเคราะห์แสง ใช้อาหารสูตร PE medium (Hanada *et al.*, 1995) (ภาคผนวก ค) เตรียมแบบอาหารเหลว

5.2 การคัดแยกสาหร่ายสีเขียวแกรมน้ำเงินและแบคทีเรียสัมเคราะห์แสงให้บริสุทธิ์

5.2.1 การคัดแยกสาหร่ายสีเขียวแกรมน้ำเงิน

1. นำตัวอย่างสาหร่ายที่เก็บจากช่วงอุณหภูมิต่าง ๆ มาล้างด้วยน้ำก้อน ใส่ลงในอาหารเหลว BG-11 ที่เตรียมไว้แล้ว

2. นำไปบ่มที่ตู้เพาะเลี้ยงปรับอุณหภูมิ 30, 45, 55 และ 70 °C (ขึ้นอยู่กับชนิดของสาหร่ายที่เก็บมาจากแต่ละช่วงอุณหภูมิ) เป็นเวลาประมาณ 1 สัปดาห์จนสังเกตเห็นว่ามีสาหร่ายเจริญ

3. นำสาหร่ายจากข้อ 2 มาทำการเพาะเลี้ยงในอาหารเหลวชนิดเดียวกันที่สภาวะเดิม ทำซ้ำประมาณ 5 ครั้ง

4. ทำการแยกให้บริสุทธิ์ด้วยวิธี streak plate หรือ spread plate (ยุวดีและอนุภาพน์, 2538) สังเกตการเจริญเติบโตและเลือกโคลoni ที่อ่อนเดี่ยว ๆ เพื่อทำการแยกด้วยวิธีเดิมหลาย ๆ ครั้งจนกว่าจะได้สาหร่ายที่เป็นชนิดเดียว ๆ (axenic culture)

5.2.2 การคัดแยกแบคทีเรียสั้งเคราะห์แสง

1. เก็บตัวอย่างแบคทีเรียสั้งเคราะห์แสงจากอุณหภูมิ $60-80^{\circ}\text{C}$ มาให้วายด้วยเครื่อง centrifuge ที่ความเร็วรอบ 6000 รอบต่อนาที อุณหภูมิ 4°C เป็นเวลา 15 นาที

2. เทส่วนใส (supernatant) ทึ้ง เก็บส่วนตะกอน (precipitate) เติมด้วยอาหารเหลว PE medium ปริมาตร 1 มล.

3. แบ่งตะกอนที่เติมด้วยอาหารเหลวในข้อ 2 ลงในหลอดทดลองฝ่าเกลียวหลอดละ 0.5 มล. ใส่หลอดทดลองฝ่าเกลียว เติมอาหาร PE medium จนเต็มหลอดทดลอง เพื่อให้อยู่ในสภาพไร้ออกซิเจน

4. นำไปบ่มที่อุณหภูมิ 70°C จนสังเกตเห็นว่ามีการเจริญ โดยการสังเกตเห็นว่าอาหารที่ใช้เพาะเลี้ยงมีสีเหลืองส้ม

5. จากนั้นนำมาเพาะเลี้ยงในอาหารเหลวนิคเดียวกัน ที่สภาวะเดิม ทำซ้ำ 4-5 ครั้ง

6. นำหลอดที่มีเชื้อเจริญมาให้วายด้วยที่ความเร็วรอบ 6000 รอบต่อนาที อุณหภูมิ 4°C เป็นเวลา 15 นาที

7. ทำการแยกให้นับริสุทธิ์ของวิธี agar shake dilution method

6. การวินิจฉัยแบคทีเรียสั้งเคราะห์แสง

1. ศึกษาปริมาณของเซลล์ การติดสีกรัม

2. ศึกษานิคของ bacteriochlorophyll โดยวิธี Scanning ด้วยเครื่อง Spectrophotometer

3. วินิจฉัยนิคของแบคทีเรียสั้งเคราะห์แสง โดยการจำแนกในระดับแฟมิลี (family) และจีนัส (genus) จากหนังสือและเอกสารที่เกี่ยวข้อง ได้แก่ Starr *et al.* (1981), Staley *et al.* (1989) และ Holt *et al.* (1994)

7. การศึกษาความทนอุณหภูมิในช่วงกว้างของสาหร่ายสีเขียวแกมน้ำเงิน

ทำการศึกษาโดยการเพาะเลี้ยงสาหร่ายสีเขียวแกมน้ำเงินที่แยกได้เป็นชนิดเดียว ๆ ในอุณหภูมิที่อุณหภูมิ $30, 45, 55$ และ 70°C บันทึกผลการเจริญของสาหร่ายในแต่ละอุณหภูมิ

8. การเก็บรวบรวมสาหร่ายสีเขียวแกมน้ำเงินและแบคทีเรียสั้งเคราะห์แสง

ทำการเก็บรวบรวมสาหร่ายสีเขียวแกมน้ำเงินที่แยกได้จนเป็นชนิดเดียว ๆ ไว้ในขวดอาหารเอียง (agar slant) ในลักษณะมีชีวิต (culture collection) ส่วนแบคทีเรียสั้งเคราะห์แสงเก็บในหลอดทดลองอาหารแข็ง ในลักษณะมีชีวิตเข่นกัน

9. สถานที่ทำการวิจัย

9.1 หน่วยวิจัยความหลากหลายทางชีวภาพของสาหร่ายและแพลงก์ตอน ภาควิชาชีววิทยา
คณะวิทยาศาสตร์ มหาวิทยาลัยเชียงใหม่

9.2 แหล่งน้ำพุร้อนที่ทั้ง 9 แหล่งในเขตภาคเหนือตอนบนของประเทศไทย

10. ระยะเวลาที่ทำการวิจัย

ทำการเก็บตัวอย่างและศึกษาคุณภาพน้ำในน้ำพุร้อนแต่ละแหล่ง 2 ฤดู คือ ฤดูแล้งและฤดูฝน โดยในแต่ละฤดูจะเก็บตัวอย่าง 1 ครั้ง ทำการศึกษาดังเดิมเดือนตุลาคม 2542 ถึงเดือนกันยายน 2543

ลิขสิทธิ์มหาวิทยาลัยเชียงใหม่
Copyright © by Chiang Mai University
All rights reserved

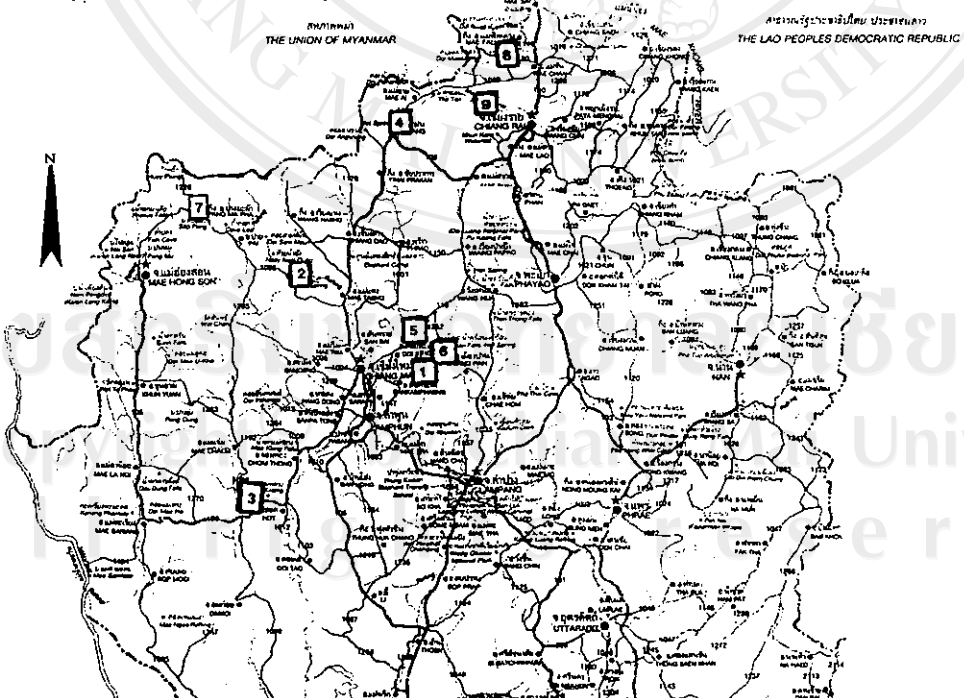
บทที่ 4

ผลการวิจัย

จากการคัดเลือกสายพันธุ์และความหลากหลายทางชีวภาพของสาหร่ายสีเขียวแกรนน้ำเงิน และเบปคทีเรียสังเคราะห์ແແສງທີ່ທັນຄວາມຮ້ອນໃນນໍ້າພູຮ້ອນນາງແລ້ວບໍລະເວນກາດເໜືອຕອນບນໄດ້ແກ່ ນໍ້າພູຮ້ອນສັນກຳແພງ ກິ່ນຈຳເກອມແມ່ອອນ ນໍ້າພູຮ້ອນໂປ່ງເດືອດ ຈຳເກອມແມ່ເຕັງ ນໍ້າພູຮ້ອນເທັນນມ ຈຳເກອມແມ່ແຈ່ນ ນໍ້າພູຮ້ອນແມ່ຝ່າງ ຈຳເກອມຝ່າງ ແລະ ໂປ່ງນໍ້າຮ້ອນຄອຍສະເກີດ ຈຳເກອມຄອຍສະເກີດ ຈັງຫວັດເຊີຍໃໝ່ ນໍ້າພູຮ້ອນແຈ້ຂອນ ຈຳເກອມເມືອງປານ ຈັງຫວັດລໍາປາງ ນໍ້າພູຮ້ອນທ່າປາຍ ຈຳເກອມປາຍ ຈັງຫວັດແມ່ຮ່ອງສອນ ໂປ່ງນໍ້າຮ້ອນແມ່ຈັນ ຈຳເກອມແມ່ຈັນ ແລະ ນໍ້າພູຮ້ອນຫ້ວຍໜາກເລີຍມ ຈຳເກອມເມືອງ ຈັງຫວັດເຊີຍຮາຍ ໃນຊ່ວງ ຮະຫວ່າງເດືອນຕຸລາຄຸມ 2542 ປຶ້ງ ກັນຍາຍນ 2543 ສຶກຂາສາຫະວິກແລ້ວບໍລະເວນກາດທີ່ເກີນຕົວຢ່າງໃນນໍ້າ ພູຮ້ອນແຕ່ລະແໜ່ງ 2 ຄຽ້ງ ໃນຄຸງແລ້ງແລະ ຄຸງຝັ້ນຍົກເວັ້ນນໍ້າພູຮ້ອນແມ່ຝ່າງແລະ ນໍ້າພູຮ້ອນຫ້ວຍໜາກເລີຍມທີ່ ເກີນເພາະໃນຄຸງຝັ້ນເທົ່ານີ້ ໄດ້ຜົນການສຶກຂາຕັ້ງຈະແຍກຮາຍລະເອີຍເປັນສ່ວນ ຈັງຫວັດເຊີຍຮາຍ ທັງນີ້

ສປາພ ແວດລ້ອນຂອງແຕ່ລະແໜ່ງນໍ້າພູຮ້ອນທີ່ກໍາກຳກຳກຳ
ແລ້ວນໍ້າພູຮ້ອນທີ່ກໍາກຳກຳກຳ

ນໍ້າພູຮ້ອນທີ່ກໍາກຳກຳກຳສປາພ ແລ້ວ ບໍລະເວນກາດເໜືອຕອນບນຂອງປະເທດໄທແສດງໃນກາພ 1



ກາພ 1 ແພນທີ່ປະເທດໄທຕອນບນແສດງບໍລະເວນແລ້ງນໍ້າພູຮ້ອນທີ່ກໍາກຳກຳກຳທີ່ 9 ແລ້ງ

1. น้ำพุร้อนสันกำแพง กิ่งอ่อนแกร่งมีอ่อน จังหวัดเชียงใหม่ (ภาพ 2ก) เป็นแหล่งน้ำพุร้อนขนาดใหญ่ซึ่งก่อนที่จะมีการพัฒนาเป็นแหล่งท่องเที่ยว มีบ่อน้ำพุร้อนจำนวนมาก แต่ปัจจุบันมีการปรับปรุงสร้างเป็นบ่อชีเมนต์และบุคลอกชาราน้ำอยู่เสมอเพื่อให้เป็นแหล่งท่องเที่ยวที่สวยงาม ทำให้ความหลากหลายของสาหร่ายลดลงเนื่องจากพื้นที่ถูกครอบครองโดยมนุษย์เพิ่มขึ้น สภาพทั่วไปของน้ำพุร้อนโดยทั่วไปพบว่าในบ่อน้ำมีสีใส ส่วนชาราน้ำร้อนมีสาหร่ายสีเขียวแกมน้ำเงินปักคุณอยู่ทั่วไปยกเว้นบ่อที่มีน้ำพุร้อนมาเป็นระยะๆ ซึ่งมีอุณหภูมิสูงเกินกว่าที่สาหร่ายจะเจริญเติบโตได้ บริเวณท้องพื้นน้ำมีกลิ่นกำมะถันมาก แต่บริเวณชาราน้ำร้อนพบว่ามีกลิ่นกำมะถันน้อยลง ส่วนแบบที่เรียกวัสดุที่แสดงจะเป็นดินหรือชีเมนต์ โดยมีน้ำพุร้อนไหลปักคุณโคลนนิ่งแบบที่เรียกนิคเป็นทางๆ

2. น้ำพุร้อนปิงเด้อด อ่อนแกร่งแข็ง จังหวัดเชียงใหม่ (ภาพ 2ค) เป็นแหล่งน้ำพุร้อนขนาดใหญ่ที่ยังมีลักษณะเป็นธรรมชาติอยู่มาก ไม่มีการรบกวนของมนุษย์มากนักดึงแม้จะพัฒนาเป็นแหล่งท่องเที่ยวก็ตาม จะมีลักษณะเป็นบ่อน้ำพุร้อนซึ่งมีความลึกตื้น น้ำมีอุณหภูมิสูง มีการปักคุณของต้นไม้โดยรอบมีก้อนหินขนาดต่างๆ เรียงรายอยู่ในแหล่งน้ำ จำนวนบ่อน้ำพุร้อนมีปริมาณมาก มีกลิ่นกำมะถันมาก พื้นท้องน้ำมีลักษณะเป็นพื้นกรวดทราย ซึ่งไม่มีสาหร่ายเจริญ บริเวณที่สายน้ำไหลลงมาตามลำธารจากตอนต้นของแหล่งน้ำ จะพบสาหร่ายสีเขียวแกมน้ำเงินปราศจากอุณหภูมิเป็นจำนวนมาก น้ำตกลงสู่เบื้องล่าง กระแสน้ำไหลแรงในช่วงหน้าฝน น้ำพุร้อนแห่งนี้ ปรากฏแบบที่เรียกวัสดุที่แสดงไม่ชัดเจนนัก

3. น้ำพุร้อนเทพน姆 อุ่นในอุทยานแห่งชาติดอยหลวง อ่อนแกร่งแข็ง จังหวัดเชียงใหม่ (ภาพ 2จ) เป็นแหล่งน้ำพุร้อนธรรมชาติที่ปัจจุบันได้รับการพัฒนาให้เป็นแหล่งท่องเที่ยวแต่ไม่ค่อยมีการรบกวนจากภายนอกมากนัก มีบ่อน้ำพุร้อนหลายแหล่งอยู่ในบริเวณห่างๆ กันส่วนใหญ่เป็นบ่อน้ำขนาดเล็ก โดยทั่วไปจะอยู่กลางแจ้ง ไม่มีร่มไม้ปักคุณ และมีกลิ่นกำมะถัน ชาราน้ำพุร้อนหลายสายพื้นน้ำจะเป็นกรวด ดิน และหินขนาดเล็ก พื้นท้องน้ำตื้น น้ำมีสีใส มีสาหร่ายปักคุณอยู่ทั่วไป ส่วนแบบที่เรียกวัสดุที่แสดงจะเป็นปราภูมิให้เห็น เช่นเดียวกับน้ำพุร้อนสันกำแพง

4. น้ำพุร้อนแม่ฟ้าง อ่อนแกร่ง จังหวัดเชียงใหม่ เป็นแหล่งพลังงานความร้อนใต้พิภพที่สำคัญซึ่งในปัจจุบันเป็นแหล่งท่องเที่ยวที่สำคัญ น้ำพุร้อนมีอุณหภูมิสูง มีกลิ่นกำมะถันมาก มีบ่อน้ำร้อนหลายบ่อ อุณหภูมิแตกต่างกัน ในหน้าฝนจะมีชาราน้ำเย็นจากน้ำเรือนไหลเข้ามา ทำให้อุณหภูมิของชาราน้ำลดลงเล็กน้อยและเนื่องจากพื้นที่ไม่มีการรบกวนจากมนุษย์มากนักทำให้สภาพแวดล้อมไม่ค่อยเปลี่ยนแปลง ไปจากเดิมมากนัก พื้นที่ส่วนใหญ่อยู่กลางแจ้ง ไม่มีร่มไม้ปักคุณ พื้นชาราน้ำจะมีลักษณะเป็นดินร่วนปนทราย บริเวณพื้นท้องน้ำและชาราน้ำจะมีสาหร่ายปราภูมิอยู่ทั่วไป พบแบบที่เรียกวัสดุที่แสดง เป็นเมือกสีเทาอยู่บนพื้นดิน บริเวณที่น้ำพุร้อนไหลผ่าน

5. โป่งน้ำร้อนดอยสะเก็ต อุบลราชธานี เป็นแหล่งน้ำพุร้อนขนาดเล็กมีบ่อน้ำพุร้อนเพียงเล็กน้อยอุณหภูมน้ำไม่สูงมากนักมีก้อนกำมะถันเล็กน้อย น้ำมีสีใส พื้นทรายเป็นกรวดหินและดิน ปัจจุบันได้เปิดเป็นแหล่งท่องเที่ยวพร้อมกันนี้มีประชาชนและชาวบ้านนำหินอิมามาต้มในปอน้ำร้อนทำให้คุณสมบัติของน้ำเปลี่ยนแปลงไปจากเดิม บริเวณน้ำร้อนจะมีสาหร่ายปรากฏอยู่ทั่วไป แบบที่เรียกว่า “สาหร่ายปักลุม” ปรากฏให้เห็นเช่นเดียวกับที่กล่าวมา สภาพแวดล้อมตั้งอยู่กลางแจ้งไม่มีร่มไม้ปักคลุม

6. น้ำพุร้อนเจช้อน อุบลราชธานี อำเภอเมืองปาน จังหวัดลำปาง (ภาค 2x) ตั้งอยู่ในอุทยานแห่งชาติเจช้อนเป็นแหล่งท่องเที่ยวที่สำคัญมีนักท่องเที่ยวจำนวนมาก น้ำพุร้อนตั้งอยู่กลางแจ้งรอบ ๆ มีดันไม้ปักคลุม สภาพแหล่งน้ำจะมีก้อนหินขนาดใหญ่มากน้ำ พื้นท้องน้ำมีก้อนหินขนาดต่างๆ กรวดดิน ตะกอนพน้ำทึบเจ็บน้ำมีสีเทา น้ำมีสีใสแต่มีก้อนกำมะถัน อุณหภูมิของน้ำไม่สูงมากนัก มีชาราดี น้ำพุร้อนหลายแห่งกระแสน้ำไหลค่อนข้างเร็วและมีสาหร่ายปักลุมอยู่ทั่วไป พบแบบที่เรียกว่า “สาหร่ายปักลุม” ตั้งอยู่บนพื้นดินบางแห่ง

7. น้ำพุร้อนท่าปาย อุบลราชธานี อำเภอปาย จังหวัดแม่ฮ่องสอน (ภาค 2x) เป็นบ่อน้ำพุร้อนขนาดไม่ใหญ่มากนัก มีบ่อน้ำพุร้อนขนาดใหญ่ 2 บ่อ เส้นผ่านศูนย์กลางประมาณ 3-4 เมตร น้ำพุ่งขึ้นมาบนแอ่งตลอดเวลา ซึ่งอยู่ในบริเวณใกล้เคียงกัน น้ำดังกล่าวไหลลงสู่ด้านล่าง กระแสน้ำไหลค่อนข้างเร็ว ปริมาณน้ำที่ไหลออกมาก บริเวณรอบๆ ถูกปักลุมไปด้วยต้นไม้และร่มไม้ พื้นท้องน้ำมีลักษณะเป็นก้อนหินและกรวดราย มีสาหร่ายปักลุมอยู่ทั่วไป ส่วนแบบที่เรียกว่า “สาหร่ายปักลุม” เป็นเมือกสีเทาและมีปริมาณไม่มากนัก

8. โป่งน้ำร้อนแม่จัน อุบลราชธานี จังหวัดเชียงราย (ภาค 2x) มีบ่อน้ำพุร้อนขนาดเล็กหลาย บ่อ ไหลลงสู่แม่น้ำเขียนเบื้องล่าง ลักษณะพื้นท้องน้ำมีตะกอนสีเทาดำ อุณหภูมิสูง น้ำมีลักษณะใส่ไม่มีสี มีก้อนกำมะถันมาก ไม่ค่อยถูกคนจากภายนอกมากนัก ต่อมากายหลังได้พัฒนาเป็นแหล่งท่องเที่ยว มีการสร้างบ่อซึ่งมีตัวเลือกห้องรองบ่อน้ำพุร้อนไว้บ้าง แหล่งน้ำส่วนใหญ่ตั้งอยู่กลางแจ้ง ได้รับแสงเต็มที่ไม่ค่อยมีร่มไม้ปักลุม กระแสน้ำไหลปานกลางถึงก่อขึ้นเรื่อง พื้นที่บริเวณห้องน้ำของบ่อน้ำร้อน ส่วนแบบที่เรียกว่า “สาหร่ายปักลุม” ประปราย

9. น้ำพุร้อนห้วยหมากเลี้ยม อุบลราชธานี อำเภอเมือง จังหวัดเชียงราย มีบ่อน้ำพุร้อนขนาดใหญ่เพียงบ่อเดียวตั้งอยู่กลางแจ้ง ไหลลงสู่แม่น้ำกอก น้ำใส่ไม่มีสี พื้นท้องน้ำเป็นดินและกรวดขนาดเล็ก รอบๆ บ่อมีสาหร่ายลดอยปักลุมผิวน้ำ แบบที่เรียกว่า “สาหร่ายปักลุม” ประปราย



ภาพ 2 แหล่งน้ำพุร้อนที่ทำการสำรวจบริเวณภาคเหนือตอนบนของประเทศไทย

- (ก) น้ำพุร้อนสันกำแพง (ข) น้ำพุร้อนแจ้ซีอัน (ค) น้ำพุร้อนโป่งเค็อด (ง) น้ำพุร้อนท่าปาย
- (จ) น้ำพุร้อนเทพนม (ฉ) โป่งน้ำร้อนแม่จัน

การกระจายของสาหร่ายในแหล่งน้ำพื้นที่ทำการศึกษา

จากการสำรวจสาหร่ายสาหร่ายสีเขียวแกมน้ำเงิน ในแหล่งน้ำพื้นที่ทำการศึกษา บนจำนวน 9 แหล่ง พบสาหร่ายทั้งหมด 21 genera 39 species (ตาราง 1) แบ่งออกเป็น 4 orders คือ Chroococcales, Oscillatoriales, Nostocales และ Stigonematales (ภาพ 3) สาหร่ายสีเขียวแกมน้ำเงิน ที่เป็นกลุ่มเด่นคือสาหร่ายใน Order Chroococcales พบทั้งหมด 18 สปีชีส์ คิดเป็น 46 เปอร์เซ็นต์ รองลงมาคือ สาหร่ายใน Order Oscillatoriales พบทั้งหมด 14 สปีชีส์ คิดเป็น 36 เปอร์เซ็นต์ สาหร่ายใน Order Nostocales พบ 6 สปีชีส์ คิดเป็น 15 เปอร์เซ็นต์ และ สาหร่ายใน Order Stigonematales พบเพียง 1 สปีชีส์ คิดเป็น 3 เปอร์เซ็นต์ เมื่อศึกษาการกระจายของสาหร่ายตามช่วง อุณหภูมิตั้งแต่ 30-80°C โดยแบ่งเป็น 5 ระดับคือ 30-39°C, 40-49°C, 50-59°C, 60-69°C และ 70-80°C พบสาหร่ายในแต่ละช่วงอุณหภูมิตั้งในตาราง 1 ภาพ 4

ในช่วงอุณหภูมิ 40-49°C มีจำนวนสปีชีส์สาหร่ายสีเขียวแกมน้ำเงินมากที่สุดคือ 38 สปีชีส์ คิดเป็น 36 เปอร์เซ็นต์ รองลงมาคือช่วง 30-39 °C พบ 36 สปีชีส์ คิดเป็น 34 เปอร์เซ็นต์ ช่วง 50-59° C พบ 23 สปีชีส์ คิดเป็น 22 เปอร์เซ็นต์ ช่วง 60-69°C พบ 5 สปีชีส์ คิดเป็น 5 เปอร์เซ็นต์ และ ช่วง 70-80 °C พบ 3 สปีชีส์ คิดเป็น 3 เปอร์เซ็นต์ ตามลำดับ ซึ่งพบว่าช่วงอุณหภูมิสูงขึ้นจำนวนสปีชีส์ ของสาหร่ายยังลดลง

น้ำพื้นที่แหล่งน้ำมีความหลากหลายของสาหร่ายสีเขียวแกมน้ำเงินมากที่สุดโดยพบทั้งหมด 32 สปีชีส์ รองลงมาคือน้ำพื้นที่แหล่งน้ำ 30 สปีชีส์ น้ำพื้นที่แหล่งน้ำ 29 สปีชีส์ น้ำพื้นที่แหล่งน้ำ 28 สปีชีส์ น้ำพื้นที่แหล่งน้ำ 26 สปีชีส์ น้ำพื้นที่แหล่งน้ำ 25 สปีชีส์ น้ำพื้นที่แหล่งน้ำ 23 สปีชีส์ น้ำพื้นที่แหล่งน้ำ 20 สปีชีส์ และ น้ำพื้นที่แหล่งน้ำ 19 สปีชีส์ ตามลำดับ (ตาราง 2-10 และภาพ 5)

อุณหภูมิ 30-39°C พบสาหร่ายในบริเวณไม่น้ำกันน้ำ บริเวณสาหร่ายจะเพิ่มขึ้น จนกระทั่ง อุณหภูมิ 50-59 °C โดยสาหร่ายที่พบเป็นจำนวนมากที่สุดคือ *Phormidium boryanum* (Bory ex Gom.)-Anagn.Et Kom. และบริเวณสาหร่ายจะเริ่มลดลงจนกระทั่งอุณหภูมิ 80 °C ซึ่งพบสาหร่าย เพียงกลุ่มเดียวคือ *Synechococcus* spp. (ตาราง 1)

เมื่อนำข้อมูลจำนวนสปีชีส์ของสาหร่ายในแต่ละช่วงอุณหภูมิในทุกๆ แหล่ง น้ำในเคราะห์วัดทางสถิติด้วยวิธี nonparametric statistic โดยใช้การวิเคราะห์แบบ Kruskal Wallis Test เพื่อเปรียบเทียบ ช่วงอุณหภูมิ ในทุกๆ แหล่ง แต่ละแหล่งน้ำพื้นที่ พบว่า ช่วงอุณหภูมิต่าง ๆ ของจุดเก็บตัวอย่าง มี จำนวนสปีชีส์ของสาหร่ายแตกต่างกันอย่างมีนัยสำคัญ ยกเว้น น้ำพื้นที่แหล่งน้ำ 19 สปีชีส์ ในทุกๆ แหล่ง แต่ น้ำพื้นที่แหล่งน้ำ 20 สปีชีส์ และ น้ำพื้นที่แหล่งน้ำ 23 สปีชีส์ ในทุกๆ แหล่ง ไม่มีแตกต่างกัน (ภาคผนวก ก ตาราง 21) เมื่อวิเคราะห์โดยใช้ Mann Whitney Test เปรียบเทียบความแตกต่างของจำนวนสปีชีส์ในแต่ละแหล่ง พบว่าทุกช่วง

อุณหภูมิในแต่ละแหล่ง จำนวนสปีชีส์ของสาหร่ายไม่มีความแตกต่างกัน ยกเว้นที่น้ำพุร้อนเทพนม ในช่วงอุณหภูมิ 40-49°C พบว่าจำนวนสปีชีส์สาหร่ายมีความแตกต่างกันอย่างมีนัยสำคัญ (ภาค พนวก ก ตาราง 22) เมื่อวิเคราะห์ข้อมูลด้วยวิธี correlation analysis ระหว่างช่วงอุณหภูมิ และดู กับจำนวนสปีชีส์สาหร่ายพบว่ามีความสัมพันธ์กัน โดยอุณหภูมิจะส่งผลต่อจำนวนสาหร่ายในทุก ดู อุณหภูมิที่สูงขึ้นจะทำให้จำนวนสปีชีส์ลดลง (ภาคพนวก ก ตาราง 23) และเมื่อเปรียบเทียบ ปัจจัยทางกายภาพ และเคมีบางประการ คือ pH, Conductivity, Alkalinity, DO, Sulfide, SRP, NO₃, NH₃ และ Turbidity พบว่าจำนวนสาหร่ายมีความสัมพันธ์กับ DO, Sulfide, SRP, NO₃ และ NH₃ โดยสาหร่ายมีความสัมพันธ์เชิงบวกกับ DO และมีความสัมพันธ์เชิงลบกับ Sulfide, SRP, NO₃ และ NH₃ (ภาคพนวก ก ตาราง 24)

นอกจากอุณหภูมิที่มีความสัมพันธ์กับจำนวนสปีชีส์ของสาหร่ายแล้วยังพบว่า DO, Sulfide, SRP, NO₃, NH₄ และ Turbidity มีความสัมพันธ์กับสปีชีส์ของสาหร่าย โดย DO, SRP, NO₃, NH₄ จะมีความสัมพันธ์เชิงลบกับจำนวนสปีชีส์ของสาหร่ายและ Turbidity มีความสัมพันธ์เชิงบวกกับ จำนวนสปีชีส์ของสาหร่าย และเมื่อวิเคราะห์ด้วย วิธี cluster analysis พบว่าจำนวนสปีชีส์สาหร่าย ที่พบในช่วงอุณหภูมิ 60-69°C และ 70-80°C มีความใกล้เคียงกัน และจำนวนสปีชีส์สาหร่ายที่พบ ในช่วงอุณหภูมิ 30-39°C มีความใกล้เคียงกับที่ 40-49°C และ 50-59°C (ภาคพนวก ก ภาพ 27)

ตาราง 1 สปีชีส์และปริมาณสาหร่ายสีเขียวแกมน้ำเงินที่พบในน้ำพุร้อนทั้ง 9 แหล่ง ในเขตภาคเหนือตอนบน ของประเทศไทย ตั้งแต่เดือนตุลาคม 2542 ถึง กันยายน 2543 (frequency species = +++, moderate species = ++, rare species = +, non detectable = -)

สปีชีส์สาหร่าย	ช่วงอุณหภูมิ (°C)				
	30-39	40-49	50-59	60-69	70-80
<i>Aphanothecce bullosa</i> (Meneghini) Rabenhorst	+	+	+	-	-
<i>Bacularia thermalis</i> Frémy	+	+	-	-	-
<i>Calothrix thermalis</i> (Schmidle) Hansg.	+	++	-	-	-
<i>Calothrix</i> sp.	+	+	-	-	-
<i>Chroococcidiopsis thermalis</i> Geitler	+	++	++	-	-
<i>Chroococcus globosus</i> (Elenkin) Hindák	++	++	+	-	-
<i>C. minor</i> (Kützing) Nägeli	++	++	-	-	-
<i>C. minutus</i> (Kützing) Nägeli	++	++	-	-	-
<i>C. thermalis</i> (Meneghini) Kováčik	++	++	-	-	-
<i>Cyanobacterium minervae</i> (Copeland) Komarek	+	++	+	+	-
<i>Cyanosarcina gelatinosa</i> (Emoto et Yoneda) Kováčik	+	++	++	-	-
<i>C. spectabilis</i> (Geitler) Kováčik	+	+	+	-	-
<i>C. thermalis</i> (Hindák) Kováčik	+	++	++	-	-
<i>Gloeocapsa gelatinosa</i> Kützing	++	+	-	-	-
<i>Homoeothrix</i> sp.	+	+	-	-	-
<i>Lyngbya majuscula</i> Harvey ex Gomont	++	++	+	-	-
<i>L. perelegans</i> Lemmermann	+	++	++	-	-
<i>Lyngbya</i> sp.	++	++	++	-	-
<i>Mastigocladius laminosus</i> Cohn	+	++	++	+	-
<i>Merismopedia</i> sp.	+	-	-	-	-
<i>Onkonema compactum</i> Geitler	+	+	-	-	-
<i>Oscillatoria chlorina</i> Kützing ex Gomont	+	+	+	-	-
<i>O. limosa</i> Ag. Ex Gomont	+	+	-	-	-
<i>O. sancta</i> (Kützing) Gomont	+	+	-	-	-
<i>O. splendida</i> Grev. Ex Gomont	+	+	+	-	-

ตาราง 1 (ต่อ)

สปีชีส์สาหร่าย	ช่วงอุณหภูมิ (°C)				
	30-39	40-49	50-59	60-69	70-80
<i>O. terebriformis</i> Ag.	+	++	++	-	-
<i>O. willei</i> Gardner em. Drouet	+	++	+	-	-
<i>Phormidium boryanum</i> (Bory ex Gom.) - Anagn. Et Kom.	+	+++	+++	-	-
<i>P. laminosum</i> Gomont	+	++	-	-	-
<i>Pseudanabaena catenata</i> Lauterb	+	++	++	-	-
<i>Ps. galeata</i> sensu Anagnostidis	+	++	++	-	-
<i>Rivularia dura</i> Roth	+	+	-	-	-
<i>Scytonema coactile</i> Mont.	++	++	-	-	-
<i>S. mirabile</i> (Dillw.) Born.	++	++	-	-	-
<i>Symploca thermalis</i> (Kützing) Gomont	+	++	+	-	-
<i>Synechococcus bigranulatus</i> Skuja	-	+	++	++	+
<i>Sy. lividus</i> Copeland	-	++	++	+++	+
<i>Synechococcus</i> sp.	-	+	++	+++	+++
<i>Synechocystis minuscula</i> Voronichin	+	++	++	-	-

จัดทำโดย ภาควิชาเคมี
 Copyright © by Chiang Mai University
 All rights reserved

ตาราง 2 ลักษณะและปริมาณทางร่างกายตีบีเยวแกนน์ในพื้นที่ทรายอ่อนตันกำแพงในฤดูฝน เดือนกันยายน (frequency species = +++, moderate species = ++, rare species = +, non detectable = -)

ถึงชั้นถังทางร่างกาย	ทุ่งแล้ง			ทุ่งชุมชน (°C)			ทุ่งป่า			
	30-39	40-49	50-59	60-69	70-80	30-39	40-49	50-59	60-69	70-80
<i>Calothrix thermalis</i> (Schmidle) Hansg.	+	++	+	-	-	+	+	+	-	-
<i>Chrococcidiopsis thermalis</i> Geitler	+	++	++	-	-	+	++	+	-	-
<i>Chroococcus glabrosus</i> (Elekkin) Hindák	+	+	+	-	-	+	+	+	-	-
<i>C. minor</i> (Kützing) Nägeli	++	+	+	-	-	+	+	-	-	-
<i>C. minutus</i> (Kützing) Nägeli	++	+	+	-	-	++	++	+	-	-
<i>C. thermalis</i> (Meneghinii) Kováčik	+	++	++	-	-	+	++	+	-	-
<i>Cyanobacterium minervae</i> (Copeland) Komarek	+	++	+	-	-	+	++	++	+	+
<i>Cyanosarcina gelatinosa</i> (Emoto et Yoneda) Kováčik	++	++	-	-	-	++	++	+	-	-
<i>C. spectabilis</i> (Geitler) Kováčik	+	+	+	-	-	+	+	+	-	-
<i>C. thermalis</i> (Hindák) Kováčik	+	++	++	-	-	+	++	++	-	-
<i>Gloeocapsa gelatinosa</i> Kützing	++	++	-	-	-	-	-	-	-	-
<i>Gloeocapsa perelegans</i> Lemmermann	++	++	++	+	+	++	++	++	+	+
<i>Lyngbya</i> sp.	++	++	++	+	+	++	++	++	-	-
<i>Mastigocladus laminosus</i> Cohn	+	+	+	+	-	-	+	+	+	-
<i>Onconema compactum</i> Geitler	+	+	+	-	-	+	+	+	-	-
<i>Oscillatoria chlorina</i> Kützing ex Gomont	-	+	+	-	-	-	+	+	-	-
<i>O. splendida</i> Grev. Ex Gomont	-	-	-	-	-	-	+	+	-	-
<i>O. terebriformis</i> Ag.	+	++	++	-	-	+	++	+	-	-
<i>O. willei</i> Gardner em. Drouet	+	++	+	-	-	+	+	+	-	-
<i>Phormidium boryanum</i> (Bory ex Gom.) Anagn. Et Kom	+	++	++	-	-	+	++	++	-	-
<i>P. laminosum</i> Gomont	+	+	+	-	-	+	+	+	-	-
<i>Pseudanabaena catenaria</i> Lauterb.	++	++	++	-	-	++	++	++	-	-
<i>Ps. galeata</i> sensu Anagnostidis	+	++	+	-	-	+	+	+	-	-
<i>Symploca thermalis</i> (Kützing) Gomont	+	++	+	-	-	+	+	+	-	-
<i>Synechococcus bigranulatus</i> Skuja	+	++	++	+	-	+	++	++	-	-
<i>Sy. hydus</i> Copeland	+	++	++	+	+	+	++	++	+	+
<i>Synechococcus</i> sp.	+	++	++	+++	+++	++	+++	+++	+++	+++
<i>Synechozystis minuscula</i> Voronichin	++	++	+	-	-	++	++	++	-	-

ตาราง 3 ตัวชี้วัดความถี่การเจริญเติบโตของเชื้อราที่พบในน้ำพุร้อน แบ่งตามองค์ประกอบทางชีววิทยาและสภาพแวดล้อม (frequency species = +++, moderate species = ++, rare species = +, non detectable = -)

ตัวชี้วัดสภาพแวดล้อม	ที่อยู่เดิม (°C)						ที่อยู่ใหม่ (°C)					
	30-39	40-49	50-59	60-69	70-80	30-39	40-49	50-59	60-69	70-80		
<i>Aphanotachea bullosa</i> (Meneghini) Rabenhorst	+	++	+	-	-	+	++	++	++	++	-	-
<i>Calothrix thermalis</i> (Schmidle) Hansg.	+	++	+	-	-	+	++	+	+	+	-	-
<i>Chroococcidiopsis thermalis</i> Geitler	++	++	++	-	-	++	++	++	++	++	-	-
<i>Chroococcus globosus</i> (Elenkin) Hindák	+	+	+	-	-	+	+	+	+	+	-	-
<i>C. minutus</i> (Küzing) Nageli	+	++	-	-	-	-	-	-	-	-	-	-
<i>C. thermalis</i> (Meneghini) Kováčik	+	++	+	-	-	+	++	+	+	+	-	-
<i>Cyanobacterium minervae</i> (Copeland) Komarek	+	++	++	++	+	+	++	++	++	++	+	+
<i>Cyanosarcina gelatinosa</i> (Enomoto et Yoneda) Kováčik	++	++	-	-	-	++	++	++	++	++	-	-
<i>C. spectabilis</i> (Geitler) Kováčik	+	++	+	-	-	++	+	+	+	+	-	-
<i>C. thermalis</i> (Hindák) Kováčik	+	++	++	-	-	+	++	++	++	++	-	-
<i>Gloeocapsa gelatinosa</i> Kützing	+	+	-	-	-	+	+	+	+	+	-	-
<i>Lyngbya majuscula</i> Harvey ex Gomont	++	++	-	-	-	++	++	++	++	++	-	-
<i>L. perelegans</i> Lemmermann	++	++	++	-	-	++	++	++	++	++	-	-
<i>Lyngbya</i> sp.	++	++	++	+	+	++	++	++	++	++	-	-
<i>Mastigocladus laminosus</i> Cohn	+	+	+	-	-	+	+	+	+	+	-	-
<i>Merismopedia</i> sp.	-	-	-	-	-	+	+	+	+	+	-	-
<i>Onkonia compactum</i> Geitler	+	+	+	+	-	+	+	+	+	+	-	-
<i>Oscillatoria splendida</i> Grev. Ex Gomont	+	+	+	+	-	+	+	+	+	+	-	-
<i>O. terebriformis</i> Ag.	+	++	++	-	-	+	++	++	++	++	-	-
<i>Phormidium boryanum</i> (Bory ex Gom.) Anagn. Et Kom	+	+++	+++	-	-	+	+++	+++	+++	+++	-	-
<i>P. laminosum</i> Ciomont	+	++	+	-	-	+	+	+	+	+	-	-
<i>Pseudanabaena catenata</i> Lauterb.	++	++	++	-	-	++	+	+	+	+	-	-
<i>Ps. galeata</i> sensu Anagnostidis	+	+	+	-	-	+	++	++	++	++	-	-
<i>Scytonema coactile</i> Mont.	+	++	-	-	-	++	++	++	++	++	-	-
<i>Symploca thermalis</i> (Kützing) Gomont	++	++	-	-	-	-	-	-	-	-	-	-
<i>Synechococcus bigranulatus</i> Skuja	+	++	+	+	-	+	++	++	++	++	-	-
<i>S. lividus</i> Copeland	+	++	++	++	+	+	++	++	++	++	-	-
<i>Synechococcus</i> sp.	+	++	+++	+++	+++	+	++	++	++	++	-	-
<i>Synechocystis minuscula</i> Voronichin	+	++	-	-	-	+	++	++	++	++	-	-

ตาราง 4 ถั่วซึ้งที่พบบีบีวนและเยื่อหุ้มเซลล์ในพืชในน้ำพุร้อนพานามาในจังหวัดพานามา (frequency species = +++, moderate species = ++, rare species = +, non detectable = -)

ถั่วซึ้งที่สามารถตรวจพบได้	อุณหภูมิ (°C)							อุณหภูมิ (°C)							
	30-39	40-49	50-59	60-69	70-80	30-39	40-49	50-59	60-69	70-80	30-39	40-49	50-59	60-69	70-80
<i>Aphanothecia bullosa</i> (Meneghini) Rabenhorst	+	++	+	-	-	-	-	-	-	-	++	++	-	-	-
<i>Calothrix thermalis</i> (Schmidle) Hansg.	++	++	+	-	-	-	-	-	-	-	++	+	-	-	-
<i>Chroococcidiopsis thermalis</i> Geitler	++	++	-	-	-	-	-	-	-	-	++	+	-	-	-
<i>Chroococcus globosus</i> (Elenkin) Hindák	+	+	+	-	-	-	-	-	-	-	+	-	-	-	-
<i>C. minor</i> (Kützing) Nägeli	++	++	-	-	-	-	-	-	-	-	-	-	-	-	-
<i>C. minutus</i> (Kützing) Nägeli	++	++	+	-	-	-	-	-	-	-	+	-	-	-	-
<i>C. thermalis</i> (Meneghini) Kováčik	++	++	-	-	-	-	-	-	-	-	++	-	-	-	-
<i>Cyanobacterium minervae</i> (Copeland) Komarek	+	++	++	+	-	-	-	-	-	-	++	++	-	-	-
<i>Cyanosarcina gelatinosa</i> (Emoto et Yoneda) Kováčik	++	++	-	-	-	-	-	-	-	-	++	-	-	-	-
<i>C. spectabilis</i> (Geitler) Kováčik	+	+	-	-	-	-	-	-	-	-	+	-	-	-	-
<i>C. thermalis</i> (Hindák) Kováčik	++	++	+	-	-	-	-	-	-	-	++	-	-	-	-
<i>Gloeocapsa gelatinosa</i> Kützing	+	+	-	-	-	-	-	-	-	-	+	-	-	-	-
<i>Lyngbya majuscula</i> Harvey ex Gomont	++	++	-	-	-	-	-	-	-	-	++	-	-	-	-
<i>L. perelegans</i> Lemmermann	-	-	-	-	-	-	-	-	-	-	++	-	-	-	-
<i>Lyngbya</i> sp.	++	++	+	+	+	-	-	-	-	-	++	-	-	-	-
<i>Mastigocladus laminosus</i> Cohn	-	+	+	+	+	-	-	-	-	-	+	-	-	-	-
<i>Merismopedia</i> sp.	-	-	-	-	-	-	-	-	-	-	-	-	-	-	-
<i>Oscillatoria chlorina</i> Kützing ex Gomont	-	-	-	-	-	-	-	-	-	-	-	-	-	-	-
<i>O. limosa</i> Ag. Ex Gomont	+	+	-	-	-	-	-	-	-	-	-	-	-	-	-
<i>O. sancta</i> (Kützing) Gomont	-	-	-	-	-	-	-	-	-	-	-	-	-	-	-
<i>O. terebriformis</i> Ag.	-	++	+	-	-	-	-	-	-	-	+	+	-	-	-
<i>Phormidium borzanum</i> (Bory ex Gom.) Anagn. Et Kom	++	++	++	++	-	-	-	-	-	-	++	++	-	-	-
<i>Pseudanabaena catenata</i> Lauterb.	++	+	+	-	-	-	-	-	-	-	+	-	-	-	-
<i>Ps. galactea</i> sensu Anagnostidis	+	++	++	-	-	-	-	-	-	-	+	-	-	-	-
<i>Rivularia dura</i> Roth	-	-	-	-	-	-	-	-	-	-	++	-	-	-	-
<i>Scytonema coeruleum</i> Mont.	+++	+++	-	-	-	-	-	-	-	-	-	-	-	-	-
<i>S. mirabile</i> (Dillw.) Born.	++	+	-	-	-	-	-	-	-	-	-	-	-	-	-
<i>Symploca thermalis</i> (Kützing) Gomont	+	+	-	-	-	-	-	-	-	-	-	-	-	-	-
<i>Synechococcus bigranulatus</i> Skuja	+	++	++	+	-	-	-	-	-	-	++	+	-	-	-
<i>Sy. lippia</i> Copeland	+	++	++	++	+	+	+	+	+	+	++	++	+	+	+
<i>Synechocystis</i> sp.	-	++	+++	-	-	-	-	-	-	-	+++	+++	+++	+++	+++
<i>Synechocystis minuscula</i> Voronichin	+	+	+	-	-	-	-	-	-	-	+	-	-	-	-

ตาราง ๕ ลักษณะและปริมาณสารเคมีที่พบในน้ำพุร้อนแห้งในตุ่น (frequency species = +++, moderate species = ++, rare species = +, non detectable = -)

ลักษณะสารเคมี	ช่วงอุณหภูมิ (°C)					
	30-39	40-49	50-59	60-69	70-80	
<i>Calothrix thermalis</i> (Schmidle) Hansg.	++	++	+	-	-	
<i>Chroococcidiopsis thermalis</i> Geitler	++	++	++	-	-	
<i>Chroococcus globosus</i> (Elenkin) Hindák	+	+	+	-	-	
<i>C. minor</i> (Kützing) Nägeli	+	+	-	-	-	
<i>C. minutus</i> (Kützing) Nägeli	++	++	-	-	-	
<i>C. thermalis</i> (Meneghini) Kováčik	++	++	+	-	-	
<i>Cyano bacterium minervae</i> (Copeland) Komarek	+	++	++	+	-	
<i>Cyanosarcina gelatinosa</i> (Emoto et Yoneda) Kováčik	++	++	-	-	-	
<i>C. spectabilis</i> (Geitler) Kováčik	+	+	+	-	-	
<i>C. thermalis</i> (Hindák) Kováčik	+	++	+	-	-	
<i>L. perelegans</i> Lemmermann	++	++	+	-	-	
<i>Lyngbya</i> sp.	++	++	++	+	-	
<i>Mastigocladus laminosus</i> Cohn	+	+	++	++	-	
<i>Oscillatoria splendida</i> Grev. Ex Gomont	-	+	+	+	-	
<i>O. terebelliformis</i> Ag.	+	++	++	++	-	
<i>Phormidium boryanum</i> (Bory ex Gom.)-Anagn. Et Kom	+	+++	+++	-	-	
<i>P. laminosum</i> Gomont	+	+	+	-	-	
<i>Pseudanabaena catenata</i> Lauterb	++	++	++	-	-	
<i>Ps. galeata</i> sensu Anagnostidis	+	+	+	-	-	
<i>Scytonema coactile</i> Mont.	++	++	-	-	-	
<i>Symploca thermalis</i> (Kützing) Gomont	+	+	+	-	-	
<i>Synechococcus bigranulatus</i> Skuja	+	++	++	+	-	
<i>Sy. lividus</i> Copeland	++	++	++	++	+	
<i>Synechococcus</i> sp.	-	++	+++	+++	+++	
<i>Synechocystis minuscula</i> Voronichin	+	+	+	-	-	

ตาราง 6 ลักษณะและปริมาณสารอาหารที่เป็นพืชในน้ำร้อนและดูดในน้ำดูด (frequency species = +++, moderate species = ++, rare species = +, non detectable = -)

ลักษณะทางวิทยา	อุณหภูมิ (°C)						อุณหภูมิ (°C)			
	30-39	40-49	50-59	60-69	70-80	30-39	40-49	50-59	60-69	70-80
<i>Bacularia thermalis</i> Frémy	+	+	-	-	-	-	-	-	-	-
<i>Calothrix thermalis</i> (Schmidle) Hansg.	++	++	-	-	-	+	++	+	-	-
<i>Chroococcidiosis thermalis</i> Geitler	++	++	+	-	-	++	++	+	-	-
<i>Chroococcus minutus</i> (Kützing) Nägeli	++	+	-	-	-	++	+	-	-	-
<i>C. thermalis</i> (Meneghini) Kováčik	+	++	-	-	-	+	++	-	-	-
<i>Cyanobacterium minervae</i> (Copeland) Komarek	+	++	++	+	-	+	++	++	+	+
<i>Cyanosarcina gelatinosa</i> (Emoto et Yoneda) Kováčik	++	++	-	-	-	++	++	-	-	-
<i>C. thermalis</i> (Hindák) Kováčik	+	++	+	+	-	+	++	-	-	-
<i>Lyngbya</i> sp.	++	++	++	+	-	++	++	++	+	+
<i>Mastigocladius laminosus</i> Cohn	-	+	+	-	-	-	+	+	-	-
<i>Oscillatoria chlorina</i> Kützing ex Gomont	-	+	+	-	-	-	+	+	+	-
<i>Phormidium boryanum</i> (Bory ex Gom.)-Anagn. Et Kom	+	++	+++	-	-	+	++	+++	-	-
<i>Pseudanabaena catenata</i> Lauterb.	++	++	++	-	-	++	++	++	-	-
<i>Ps. galeata</i> sensu Anagnostidis	+	+	+	-	-	+	+	+	-	-
<i>Symploca thermalis</i> (Kützing) Gomont	+	+	-	-	-	+	+	-	-	-
<i>Synechococcus bigranulatus</i> Skuja	+	++	++	-	-	+	+	+	-	-
<i>Sy. lividus</i> Copeland	+	++	++	+	-	+	++	++	+	-
<i>Synechococcus</i> sp.	+	++	++	+++	+++	+	++	++	+++	+++
<i>Synechocystis mimicula</i> Voronichin	+	+	+	-	-	+	+	+	-	-

ตาราง 7 ลักษณะและปริมาณสารอาหารที่เป็นพืชในน้ำร้อนและดูดในน้ำดูด (frequency species = +++, moderate species = ++, rare species = +, non detectable = -)

ลักษณะทางวิทยา	อุณหภูมิ (°C)						อุณหภูมิ (°C)			
	30-39	40-49	50-59	60-69	70-80	30-39	40-49	50-59	60-69	70-80
<i>Adianotheca bullosa</i> (Meneghini) Rabenhorst	++	++	+	-	-	++	++	+	-	-
<i>Calothrix thermalis</i> (Schmidle) Hansg.	+	++	+	-	-	+	++	+	-	-

ตาราง 7 (ต่อ)

ปฏิรูปสัตว์พาร์สัน	อุณหภูมิ (°C)						อุณหภูมิ (°C)					
	30-39	40-49	50-59	60-69	70-80	30-39	40-49	50-59	60-69	70-80		
<i>Chroococcidiopsis thermalis</i> Geitler	+	++	+	-	-	+	++	++	+	-	-	-
<i>Chroococcus globosus</i> (Elenkin) Hindák	++	++	+	-	-	++	++	++	+	+	-	-
<i>C. minor</i> (Kützing) Nägeli	+	+	-	-	-	+	+	+	-	-	-	-
<i>C. minutus</i> (Kützing) Nägeli	++	++	-	-	-	++	++	++	-	-	-	-
<i>C. thermalis</i> (Meneghini) Kováčik	+	+	-	-	-	+	+	+	-	-	-	-
<i>Cyano bacterium minervae</i> (Copeland) Komarek	+	++	+	-	-	+	++	++	++	++	-	-
<i>Cyanostarcina gelatinosa</i> (Emoto et Yoneda) Kováčik	++	++	-	-	-	++	++	++	-	-	-	-
<i>C. thermalis</i> (Hindák) Kováčik	+	++	+	-	-	++	++	++	+	+	-	-
<i>Gloeocapsa gelatinosa</i> Kützing	+	+	-	-	-	++	+	+	-	-	-	-
<i>Homeothrix</i> sp.	-	-	-	-	-	+	+	+	-	-	-	-
<i>Lyngbya majuscula</i> Harvey ex Gomont	++	++	-	-	-	++	++	++	-	-	-	-
<i>L. perlegans</i> Lemmermann	++	++	++	-	-	++	++	++	++	++	-	-
<i>Lyngbya</i> sp.	++	++	+	-	-	++	++	++	++	++	+	+
<i>Mastigocladus laminosus</i> Cohn	+	+	+	-	-	+	+	+	+	+	-	-
<i>Oscillatoria chlorina</i> Kützing ex Gomont	+	++	+	-	-	-	+	+	-	-	-	-
<i>O. limosa</i> Ag. Ex Gomont	-	-	-	-	-	-	+	+	-	-	-	-
<i>O. splendida</i> Grey. Ex Gomont	+	+	+	-	-	-	+	+	+	+	-	-
<i>O. terebriformis</i> Ag.	+	++	++	-	-	-	+	+	+	+	-	-
<i>Phormidium boryanum</i> (Bory ex Gom.)-Anagn. Et Kom.	+	++	++	-	-	-	+	+	++	++	-	-
<i>P. laminosum</i> Gomont	+	+	+	-	-	-	+	+	+	+	-	-
<i>Pseudaanabaena catenata</i> Lauterb	++	++	+	-	-	++	++	++	+	+	-	-
<i>Ps. galeata</i> sensu Anagnostidis	+	+	+	-	-	+	+	+	+	+	-	-
<i>Scytonema coactile</i> Mont.	+	+	+	-	-	-	+	+	-	-	-	-
<i>Symploca thermalis</i> (Kützing) Gomont	+	+	+	-	-	-	+	+	-	-	-	-
<i>Synechococcus bigeranulatus</i> Skuja	-	++	++	-	-	-	++	++	+	+	-	-
<i>Sy. lividus</i> Copeland	+	++	++	+	+	-	+	+	++	++	+	-
<i>Synechococcus</i> sp.	-	+	+	++	++	++	++	++	+++	+++	+++	+++
<i>Synechocystis minuscula</i> Voronichin	+	+	+	-	-	-	+	+	+	+	-	-

ตาราง 8 ตัวชี้ถันและปริมาณการร่า化ทาร์เจ็ทซึ่งหมายความว่าเจ้มที่พบในไปร์น้ำร้อนทำใหม่ในบริเวณแหล่ง (frequency species = +++, moderate species = ++, rare species = +, non detectable = -)

ตัวชี้ถันสากลร่าย	ดูแลรักษา						ดูแลหุ้น					
	ช่วงอุณหภูมิ (°C)			ช่วงอุณหภูมิ (°C)			ช่วงอุณหภูมิ (°C)			ช่วงอุณหภูมิ (°C)		
	30-39	40-49	50-59	60-69	70-80	30-39	40-49	50-59	60-69	70-80		
<i>Aphanothece bullosa</i> (Meneghinii) Rabenhorst	++	++	+	-	-	++	++	+	+	+	-	-
<i>Bacularia thermalis</i> Frémey	-	-	-	-	-	+	+	-	-	-	-	-
<i>Calothrix thermalis</i> (Schmidle) Hansg.	++	++	+	-	-	++	++	+	+	+	-	-
<i>Chroococcidiopsis thermalis</i> Geitler	++	++	+	-	-	++	++	++	++	++	-	-
<i>Chroococcus minor</i> (Kützing) Nägeli	+	+	-	-	-	+	++	-	-	-	-	-
<i>C. minutus</i> (Kützing) Nägeli	++	++	-	-	-	++	++	-	-	-	-	-
<i>C. thermalis</i> (Meneghinii) Kováčik	++	++	-	-	-	++	++	-	-	-	-	-
<i>Cyanobacterium minervae</i> (Copeland) Komarek	+	++	++	-	-	+	++	++	++	++	-	-
<i>Cyanosarcina gelatinosa</i> (Emoto et Yoneda) Kováčik	++	++	-	-	-	++	++	-	-	-	-	-
<i>C. thermalis</i> (Hindák) Kováčik	+	++	+	-	-	+	++	++	++	++	-	-
<i>Homoecothrix</i> sp.	-	-	-	-	-	+	+	+	+	+	-	-
<i>Lyngbya majuscula</i> Harvey ex Gomont	-	++	-	-	-	-	++	++	++	++	-	-
<i>L. perelegans</i> Lemmermann	+	++	+	-	-	+	++	++	++	++	-	-
<i>Lyngbya</i> sp.	++	++	++	+	-	++	++	++	++	++	-	-
<i>Mastigocladus laminosus</i> Cohn	-	+	+	+	-	-	+	+	+	+	-	-
<i>Oscillatoria chlorina</i> Kützing ex Gomont	+	++	+	+	-	-	++	++	++	++	-	-
<i>O. terebriformis</i> Ag.	+	++	++	++	-	-	++	++	++	++	-	-
<i>Phormidium boryanum</i> (Bory ex Gom.)-Anagn. Et Kom	+	++	+++	-	-	+	+	+	+	+	-	-
<i>Pseudanabaena catenata</i> Lauterb.	++	++	++	-	-	++	+	++	++	++	-	-
<i>P. galeata</i> sensu Anagnostidis	+	+	+	+	-	++	++	+	+	+	-	-
<i>Scytonema coactile</i> Mont.	+	+	-	-	-	-	+	+	-	-	-	-
<i>Symploca thermalis</i> (Kützing) Gomont	+	+	-	-	-	-	+	+	-	-	-	-
<i>Synechococcus bigranulatus</i> Skuja	+	++	+	+	-	-	++	+	+	+	-	-
<i>S. lividus</i> Copeland	+	++	+	+	-	-	++	++	+	+	-	-
<i>Synechococcus</i> sp.	+	++	+++	+++	+++	+	++	++	++	++	+++	+++
<i>Synechocystis minuscula</i> Voronichin	+	++	+	-	-	-	+	+	+	+	-	-

ตาราง 9 ตัวชี้สีประจำสภาพทาระของสาหร่ายตัวชีววัฒนาในที่พำนิปป์งำนรีอิยมเมรั่น ในน้ำพุ และดูเด็ง (frequency species = +++, moderate species = ++, rare species = +, non detectable = -)

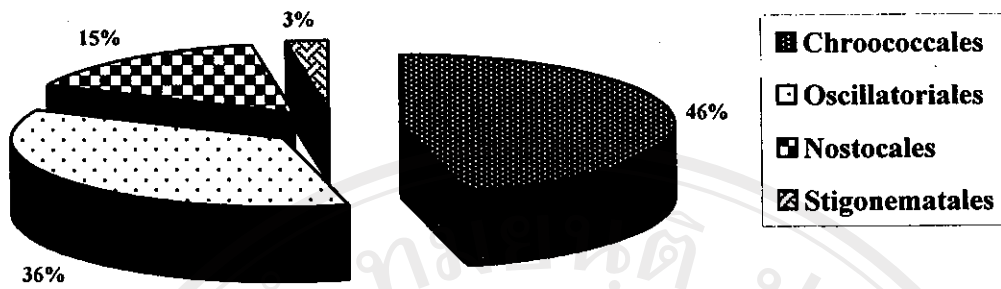
ตัวชี้สีประจำสภาพทาระ	บุญเติ้ง						บุญหุ่น					
	ช่วงอุณหภูมิ (°C)			ช่วงอุณหภูมิ (°C)			ช่วงอุณหภูมิ (°C)			ช่วงอุณหภูมิ (°C)		
	30-39	40-49	50-59	60-69	70-80	30-39	40-49	50-59	60-69	70-80		
<i>Calothrix thermalis</i> (Schmidle) Hansg.	++	++	*	-	-	++	++	-	-	-	-	-
<i>Chroococcidiopsis thermalis</i> Geitler	++	++	++	+	-	++	++	++	++	++	-	-
<i>Chroococcus globosus</i> (Elenkin) Hindák	+	+	+	+	-	+	+	+	+	+	-	-
<i>C. minutus</i> (Kützing) Nägeli	++	+	-	-	-	++	++	-	-	-	-	-
<i>C. thermalis</i> (Meneghinii) Kováčik	++	++	-	-	-	++	++	-	-	-	-	-
<i>Cyanobacterium minervae</i> (Copeland) Komarek	+	++	+	-	-	+	++	++	++	+	-	-
<i>Cyanosarcina gelatinosa</i> (Emoto et Yoneda) Kováčik	++	+	-	-	-	++	+	-	-	-	-	-
<i>C. spectabilis</i> (Geitler) Kováčik	+	+	-	-	-	+	+	+	+	+	-	-
<i>C. thermalis</i> (Hindák) Kováčik	+	++	+	-	-	+	+	+	+	+	-	-
<i>Homoeothrix</i> sp.	-	-	-	-	-	-	-	-	-	-	-	-
<i>Lyngbya</i> sp.	++	++	+	+	-	++	++	++	++	++	-	-
<i>Oscillatoria chlorina</i> Kützing ex Gomont	-	+	+	-	-	-	+	+	+	+	-	-
<i>O. terebriformis</i> Ag.	+	++	++	-	-	-	+	++	++	++	-	-
<i>O. willei</i> Gardner em. Drouet	-	+	+	+	-	-	-	+	+	+	-	-
<i>Phormidium boryanum</i> (Bory ex Gom.)-Anagn. Et Kom	+	++	+++	-	-	+	++	++	++	++	-	-
<i>Pseudanabaena catenata</i> Lauterb.	++	++	++	-	-	+	++	++	++	++	-	-
<i>Synechococcus bigranulatus</i> Skuja	+	++	++	+	-	+	++	++	++	++	-	-
<i>Sy. lividus</i> Copeland	+	++	++	+	+	+	++	++	++	++	-	-
<i>Synechocystis</i> sp.	-	++	+++	+++	+++	-	++	++	++	++	-	-
<i>Synechocystis minuscula</i> Voronichin	+	++	+	-	-	+	++	++	++	++	-	-

ตาราง 10 ตัวชี้สีประจำสภาพทาระของสาหร่ายตัวชีววัฒนาในที่พำนิปป์งำนรีอิยมเมรั่น ในน้ำพุและดูเด็ง (frequency species = +++, moderate species = ++, rare species = +, non detectable = -)

ตัวชี้สีประจำสภาพทาระ	บุญหุ่น					
	ช่วงอุณหภูมิ (°C)			ช่วงอุณหภูมิ (°C)		
	30-39	40-49	50-59	50-59	60-70	
<i>Aphanthece bullosa</i> (Meneghinii) Rabenhorst	++	++	+	+	-	-
<i>Calothrix thermalis</i> (Schmidle) Hansg.	++	++	+	+	-	-

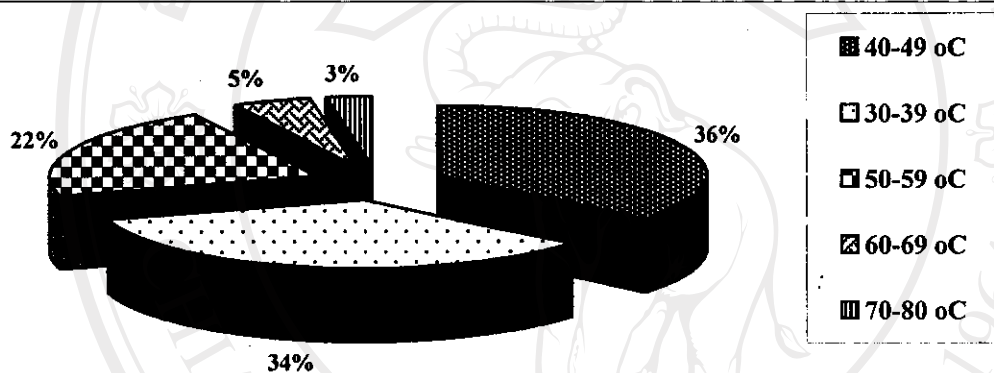
ตาราง 10 (ต่อ)

ชื่อสกุลและชื่อวิทยา	ช่วงอุณหภูมิ (°C)				
	30-39	40-49	50-59	60-70	
<i>Calothrix</i> sp.	+	++	-	-	
<i>Chroococcidiopsis thermalis</i> Geitler	+	++	+	-	
<i>Chroococcus globosus</i> (Elenkin) Hindák	+	+	-	-	
<i>C. minor</i> (Kützing) Nägeli	++	+	-	-	
<i>C. thermalis</i> (Menghini) Kováčik	++	+	-	-	
<i>Cyanobacterium minervae</i> (Copeland) Komarek	+	++	+		
<i>Cyanosarcina gelatinosa</i> (Emoto et Yoneda) Kováčik	++	++	-		
<i>C. thermalis</i> (Hindák) Kováčik	+	++	+		
<i>Homoecothrix</i> sp.	+	-	-		
<i>Lyngeya perelegans</i> Lemmermann	++	++	+		
<i>Lyngeya</i> sp.	++	++	++	+	
<i>Oscillatoria limosa</i> Ag. Ex Gomont	+	+	-		
<i>O. splendida</i> Grev. Ex Gomont	-	+	+		
<i>Phormidium boryanum</i> (Bory ex Gom.) Anagn. Et Kom	+	++	++		
<i>P. laminosum</i> Gomont	+	+	+		
<i>Pseudanabaena catenata</i> Lauterb	++	++	++		
<i>Ps. galeata</i> sensu Anagnostidis	++	++	+		
<i>Synechococcus bigranulatus</i> Skuja	+	++	++		
<i>Sy. lividus</i> Copeland	+	++	++		
<i>Synechococcus</i> sp.	-	++	++		
<i>Synechocystis minuscula</i> Voronichin	+	+	+		



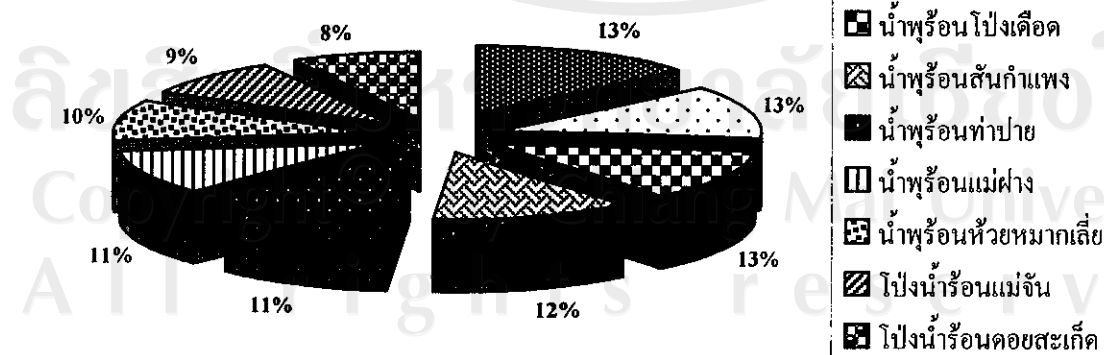
ภาพ 3 เปอร์เซ็นต์ของออร์เดอร์ต่างๆ ในกลุ่มสาหร่ายสีเขียวแกมน้ำเงินที่พบในน้ำพุร้อนทั้ง 9

ระหว่างเดือนตุลาคม 2542 ถึงกันยายน 2543



ภาพ 4 เปอร์เซ็นต์ของสาหร่ายสีเขียวแกมน้ำเงินที่พบในช่วงอุณหภูมิ 30-80 °C

ระหว่างเดือนตุลาคม 2542 ถึงกันยายน 2543



ภาพ 5 เปอร์เซ็นต์ของสปีชีส์สาหร่ายสีเขียวแกมน้ำเงินที่พบในน้ำพุร้อนทั้ง 9 แหล่ง

ระหว่างเดือนตุลาคม 2542 ถึงกันยายน 2543

ลักษณะทางสัณฐานวิทยาของสาหร่ายสาหร่ายสีเขียวแกมน้ำเงินที่พบในแหล่งน้ำพุร้อนที่ทำการตีกษา

จากการพบสาหร่ายสีเขียวแกมน้ำเงินในแหล่งน้ำพุร้อนทั้ง 9 แหล่ง และนำวินิจฉัยได้ 39 ลปีซีส์ (ตาราง 1) โดยมีลักษณะทางสัณฐานวิทยาของแต่ละสปีชีส์ดังนี้

1. *Aphanothece bullosa* (Meneghini) Rabenhorst (ภาพ 6 ก a, 6 ข a)

เซลล์มีลักษณะเป็นโคลโนนี มีเมือกหุ้ม โคลโนนมีรูปร่างไม่แน่นอน กลุ่มเซลล์ มีสีเขียวอ่อนถึงสีเขียวเข้ม เซลล์มีลักษณะเป็นรูปไข่หรือทรงกระบอกสั้น ๆ ปลายโค้งมน เซลล์มีขนาด $5-8 \times 3-5 \mu\text{m}$.

แหล่งที่อยู่อาศัย อยู่บริเวณขอบของแม่น้ำพุร้อน พบริเวณที่สัมภาระของ subaerophytic อยู่ตามพื้นดินก้อนหิน ห่อนไม้ และใบไม้ เป็นต้น พบรดูดหภูมิ $35-52^{\circ}\text{C}$

2. *Bacularia thermalis* Frémy

เซลล์มีลักษณะเป็นแท่งสั้น ๆ รูปไข่ ขนาดประมาณ $5-10 \times 2-3 \mu\text{m}$. อยู่รวมกันเป็นโคลโนนี โดยมีเมือกหุ้มอยู่รอบๆ

แหล่งที่อยู่อาศัย พบรดูดหภูมิของธารน้ำร้อน อุณหภูมิประมาณ $40-45^{\circ}\text{C}$

3. *Calothrix thermalis* (Schmidle) Hansg. (ภาพ 6 ก e, 6 ข e)

เซลล์มีลักษณะเป็นเส้นสายยาว มีเขตเทอโรซิสต์อยู่บริเวณฐาน เซลล์บริเวณฐานมีความกว้างกว่าบริเวณปลายเซลล์ เซลล์บริเวณฐานมีขนาด $6-7 \times 4-5 \mu\text{m}$. เซลล์บริเวณปลายมีขนาด $1.5-2.0 \times 2-3 \mu\text{m}$. เซลล์อาจมีความยาวถึง 2 mm . เซลล์ไม่แตกแขนง รูปร่างมีสีเขียวถึงน้ำตาลเขียว แหล่งที่อยู่อาศัย นักพนตามห่อนไม้ก็ ไม้ตามพื้นดินที่น้ำท่วมถึง น้ำกราเซ็นถึง อุณหภูมิประมาณ $35-50^{\circ}\text{C}$

4. *Calothrix* sp.

เซลล์มีลักษณะเป็นเส้นสายยาว มีเขตเทอโรซิสต์อยู่บริเวณฐาน เซลล์มีขนาดใหญ่กว่าปลายเซลล์มาก มีขนาด $9-10 \times 5-6 \mu\text{m}$. เมือกหุ้มหนาอาจมีหลายเส้นสายอยู่ภายใน sheath เดียว กัน เส้นสายมีลีน้ำตาลเขียวหรือสีเขียวแกมน้ำเงิน

แหล่งที่อยู่อาศัย เกาะตามห่อนไม้ ก็ ไม้ อุณหภูมิ $35-45^{\circ}\text{C}$

5. *Chroococcidiopsis thermalis* Geitler

เซลล์มีรูปร่างกลม อยู่กันเป็น colony มีเมือกใสบาง ๆ หุ้มเซลล์มีสีเขียวอ่อนหรือเขียวแกมน้ำเงิน โคลโนนมีขนาด $10-20 \mu\text{m}$ baeocyte* มีขนาดเส้นผ่านศูนย์กลางประมาณ $1.5-2.0 \mu\text{m}$ ภายใน 1 โคลโนนอาจจะมี baeocyte 8 หรือ 16 หรือ 32 เซลล์

แหล่งที่อยู่อาศัย เกาะอยู่กับหินอยู่ตามพื้นดินในแหล่งน้ำพุร้อนซึ่งมีอุณหภูมิเป็นค่าคงตัว (Anagnostidis and Komárek, 1999) ซึ่งส่วนใหญ่พบในประเทศไทยตอนอุณหภูมิ $35-50^{\circ}\text{C}$

6. *Chroococcus globosus* (Elenkin) Hindák

โคลโนเนียล์ภายนอกใส ภายในโคลโนเนียล์มีเซลล์อยู่ตั้งแต่ 4 เซลล์ถึงหลาย ๆ เซลล์ เซลล์มีลักษณะกลมหรือรี ขนาดเซลล์ประมาณ $6-8 \times 5-6 \mu\text{m}$.

แหล่งที่อยู่อาศัย อยู่ตามพื้นดิน ก้อนหิน หรือที่ชื้นและอุณหภูมิประมาณ $35-50^{\circ}\text{C}$

7. *Chroococcus minor* (Kützing) Nägeli

เซลล์มีรูปร่างกลมลื่นรี อยู่ในลักษณะโคลโนเนียล์มีเมือกหุ้ม โคลโนเนียล์มีรูปร่างไม่แน่นอน ภายในโคลโนเนียจะมีจำนวนเซลล์มากหรือน้อยก็ได้เซลล์มีขนาด $2-3 \mu\text{m}$. มีสีเขียวแกมน้ำเงิน

แหล่งที่อยู่อาศัย อยู่บนหิน ดิน หรือท่อนไม้ที่อยู่บริเวณรอบ ๆ ของธารน้ำร้อน อุณหภูมิประมาณ $35-45^{\circ}\text{C}$

8. *Chroococcus minutus* (Kützing) Nägeli

เซลล์มีลักษณะกลมหรือรี มีลักษณะเป็นโคลโนเนียล์มีจำนวนเซลล์อยู่ประมาณ $2-8$ เซลล์อยู่ภายนอก ในโคลโนเนีย มีเมือกหุ้ม เซลล์มีขนาด $5-10 \mu\text{m}$. รูปร่างของโคลโนเนียจะมีหลากหลายแบบ (morphotype) เซลล์จะมีสีเขียวอ่อนถึงเขียวแกมน้ำเงิน

แหล่งที่อยู่อาศัย อยู่ตามพื้นดินรวมกับสาหร่ายชนิดอื่นๆ อุณหภูมิประมาณ $35-45^{\circ}\text{C}$

9. *Chroococcus thermalis* (Meneghini) Kováčik

เซลล์อยู่รวมกันเป็นโคลโนเนีย มีจำนวนประมาณ $2-8$ เซลล์ โคลโนเนียเมือกหุ้มเห็นชัดเจน เซลล์มีรูปร่างกลม หรือโคลล์รี เซลล์มีขนาด $8-15 \mu\text{m}$. ซึ่งไม่รวม sheath

แหล่งที่อยู่อาศัย อยู่ในแอ่งน้ำ ตามบริเวณผิวดินที่ชุ่มน้ำ อุณหภูมิประมาณ $35-42^{\circ}\text{C}$

10. *Cyanobacterium minervae* (Copeland) Komárek (ภาพ 6 ก b, 6 ข b)

เซลล์มีรูปร่างแท่งสั้น ๆ ปลายโค้งมน ปากอยู่เดียว ๆ หรือ คู่ บางครั้งเซลล์จะแบ่งแบบไม่สมมาตร เซลล์มีขนาด $4-10 \times 3-5 \mu\text{m}$ เซลล์มีสีเขียวเข้มจนถึงสีน้ำตาลปนเขียว

แหล่งที่อยู่อาศัย อยู่ในแหล่งน้ำที่มีอุณหภูมิสูงเท่านั้น โดยทั่วไปพบในน้ำพุร้อนที่เป็นค่าคงตัว อุณหภูมิประมาณ $30-60^{\circ}\text{C}$ ซึ่งพบในน้ำพุร้อนทั่วโลก (Anagnostidis and Komárek, 1999)

11. *Cyanosarcina gelatinosa* (Emoto et Yoneda) Kováčik (ภาพ 6 ก c, 6 ข c)

เซลล์มีรูปร่างค่อนข้างกลม อยู่เกาะกลุ่มกันภายในโคลโนเนีย ภายในโคลโนเนียมีจำนวนเซลล์ตั้งแต่ 4-8 เซลล์

แหล่งที่อยู่อาศัย พบรได้ในบริเวณตามห้องน้ำและบริเวณขอบฝั่ง โคลโนนิกพบร่วมกับสาหร่ายชนิดอื่น ๆ ด้วย พบรได้ที่อุณหภูมิประมาณ $35-45^{\circ}\text{C}$

12. *Cyanosarcina spectabilis* (Geitler) Kováčik

เซลล์มีรูปร่างค่อนข้างกลม อยู่เกาะกลุ่มกันแน่นภายในโคลโนนี เซลล์มีขนาดเส้นผ่านศูนย์กลาง $6-8 \mu\text{m}$ โคลโนนีมีสีเขียวแกมน้ำเงินถึงน้ำตาลแกมน้ำเงิน แหล่งที่อยู่อาศัย เกาะอยู่กับหิน อยู่ตามพื้นห้องน้ำ ตามผิวดินที่น้ำกระเซ็นถึง อุณหภูมิประมาณ $34-51^{\circ}\text{C}$

13. *Cyanosarcina thermalis* (Hindák) Kováčik

เซลล์อยู่รวมกันเป็นโคลโนนี มีขนาดเล็ก โดยทั่วไปประกอบไปด้วยเซลล์ 4 เซลล์ เกาะกลุ่มกันอยู่ (tetrad) เส้นผ่านศูนย์กลางของเซลล์ ประมาณ $12-15 \mu\text{m}$ มีเมือกบาง ๆ หุ้มโคลโนนีอยู่ เซลล์มีรูปร่างลักษณะกลมรี มีขนาดเส้นผ่านศูนย์กลาง $4-6 \mu\text{m}$ แหล่งที่อยู่อาศัย มักพบได้ในแหล่งน้ำพุร้อนทั่วไป ตามบริเวณพื้นห้องน้ำ ตะกอนดิน ที่อุณหภูมิประมาณ $37-50^{\circ}\text{C}$

14. *Gloeocapsa gelatinosa* Kützing

เซลล์มีขนาดเล็ก มีรูปร่างกลม มีเมือกหุ้มหนา เซลล์มีสีเขียวแกมน้ำเงิน มักอยู่รวมกันเป็นกลุ่ม เซลล์มีขนาดประมาณ $5-7 \mu\text{m}$ แหล่งที่อยู่อาศัย เซลล์มักอยู่ตามผิวดิน ขอบของแหล่งน้ำที่มีความชื้น น้ำกระเซ็นถึงหรืออยู่ใต้น้ำ ตามห้องน้ำ มักพบตามแหล่งน้ำพุร้อน ที่อุณหภูมิไม่เกิน 50°C

15. *Homoeothrix* sp.

เซลล์มีลักษณะเป็นเส้นสาย ไม่แตกแขนง ไม่สร้างเชทเทอโรซิสต์ เซลล์บริเวณฐานมีความกว้างมากกว่า เซลล์ปกติ ขนาด $6-8 \mu\text{m}$ ขอบเซลล์ไม่โค้งเว้า มี sheath ขนาดเซลล์มีความกว้างมากกว่าความยาวประมาณ 2 เท่า โดยเซลล์มีความยาวประมาณ $3-4 \mu\text{m}$ เส้นสายยาวทั้งหมดประมาณ $30-50 \mu\text{m}$

แหล่งที่อยู่อาศัย เกาะอยู่บนก้อนหิน กรวด บางครั้งพบตามขอบบ่อ อุณหภูมิไม่สูงนักโดยอยู่ในช่วง $30-40^{\circ}\text{C}$

16. *Lyngbya majuscula* Harvey ex Gomont

(ภาพ 6 ก ิ, 6 ข ิ)

เซลล์มีลักษณะเป็นเส้นสายขนาดใหญ่ มีสีน้ำตาลปนเขียว อยู่รวมกันเป็นจำนวนมาก เซลล์จะยาวตรงไม่เกิดการแตกแขนง เซลล์มีความกว้าง $25-35 \mu\text{m}$ และยาวเพียง $3-4 \mu\text{m}$ มีผนังเซลล์

หนาและขยายเมื่อเวลาสัมผัส พนังเซลล์ไม่เกิดการคัดเว้าเข้ามา ปลายเซลล์หรือปลายเส้นสาขจะโค้งมน

แหล่งที่อยู่อาศัย เกาะตามก้อนหิน อยู่ที่น้ำไหล หรือเกาะขอบชาร์นำร้อน แห่งน้ำร้อน ที่อุณหภูมิประมาณ $35-45^{\circ}\text{C}$

17. *Lyngbya perelegans* Lemmermann

เซลล์มีลักษณะเป็นเส้นสาข ยาวตรง เซลล์มีขนาดกว้าง $2-2.5 \mu\text{m}$ มี sheath หุ้มใส่ไม่มีสี พนังเซลล์ไม่เกิดการโค้งเว้า บริเวณปลายเซลล์เป็นรูปรี ยาว $5-6 \mu\text{m}$ แหล่งที่อยู่อาศัย อยู่รวมกับสาหร่ายเส้นสาข หรือสาหร่ายตัวอื่น ๆ บริเวณก้อนหิน ท้องน้ำ เจริญได้ดีที่อุณหภูมิประมาณ $30-45^{\circ}\text{C}$

18. *Lyngbya* sp.

เซลล์มีขนาดเล็กมาก เส้นสาขมีความยาวมาก ความกว้างและยาวของเซลล์มีขนาดใกล้เคียงกัน โดยมีขนาดประมาณ $1.5-2.0 \mu\text{m}$ มี sheath หุ้มบาง ๆ เห็นได้ชัดเจนเมื่อส่องด้วยกล้องจุลทรรศน์ เซลล์บริเวณปลายจะโค้งมน เซลล์มีสีเขียวจนถึงสีเขียวแกมน้ำเงิน แหล่งที่อยู่อาศัย เกาะตามพื้นดิน ก้อนหิน พบได้ในช่วงอุณหภูมิกว้าง $35-60^{\circ}\text{C}$

19. *Merismopedia* sp.

เซลล์มีขนาดประมาณ $2-2.5 \mu\text{m}$ เซลล์เรียบกันเป็นระเบียบ บาง รวมกันเป็นโคลoni มีจำนวนเซลล์ตั้งแต่ 4 เซลล์ขึ้นไป จนถึง 100 เซลล์ แหล่งที่อยู่อาศัย ล่องลอยตามกระแสน้ำ อุณหภูมิที่พบอยู่ในช่วง $30-35^{\circ}\text{C}$

20. *Mastigocladus laminosus* Cohn

เซลล์มีลักษณะเป็นเส้นสาข เส้นสาขเกิดการแตกแขนงรูปตัว V หรือเกิดการแตกแขนงอย่างแท้จริง มีเซลล์เชทเทอโรซิสต์ภายในเส้นสาข มีสีเขียวถึงเขียวแกมน้ำเงิน เซลล์มีขนาด $4-8 \mu\text{m}$ เซลล์มีรูปร่างโค้งรี เซลล์มีการคัดเว้า เชทเทอโรซิสต์มีลักษณะกลม ขนาดกว้างกว่าเซลล์ปกติเล็กน้อย แหล่งที่อยู่อาศัย เกาะตามพื้นดิน เกาะหินบริเวณน้ำไหลไม่แรงมาก หรือเกาะขอบผัง อุณหภูมิประมาณ $40-50^{\circ}\text{C}$

21. *Onkonema compactum* Geitler

เซลล์มีลักษณะกลมหรือมีรูปร่างไม่แน่นอน อยู่รวมกันแน่นเป็นโคลoni เซลล์มีขนาด $2-3 \mu\text{m}$ เซลล์มีเมือกบางใส่หุ้ม

แหล่งที่อยู่อาศัย อุ่นริเวณตะกอนดิน ตามขอบฝั่ง อาจจะพบปะปนอยู่กับสาหร่ายชนิดอื่น ๆ อุณหภูมิที่พบอยู่ในช่วง 35-45 °C

22. *Oscillatoria chlorina* Kützing ex Gomont

เซลล์มีลักษณะเป็นเส้นสายยาว thallus ขาว เซลล์มีสีเขียว บางครั้งพบว่ามีสีเขียวเหลือง เซลล์ตรงหรือโถ่โถ่บังเล็กน้อย (อาจเป็นบริเวณปลายเซลล์) ผนังเซลล์ไม่เกิดการคอดเว้า เซลล์กว้าง 4-6 μm ยาว 4-8 μm เซลล์ไม่มี calyptra บริเวณปลายเซลล์

แหล่งที่อยู่อาศัย พบนริเวณธารน้ำไหล กระแทกน้ำไม่ให้แรงมาก มักพบร่วมอยู่กับสาหร่ายเส้นสายชนิดอื่น ๆ อุณหภูมิที่พบอยู่ในช่วง 40-50 °C

23. *Oscillatoria limosa* Ag. Ex Gomont

เซลล์มีลักษณะเป็นเส้นสาย thallus มีสีเขียวคล้ำ เซลล์มีลักษณะยาวตรง สีเขียวเข้มหรือสีเขียวคล้ำ ผนังเซลล์ไม่เกิดการคอดเว้า เซลล์มีขนาดกว้าง 10-20 μm และยาวประมาณ 2-5 μm เซลล์ด้านปลายจะโค้งมน

แหล่งที่อยู่อาศัย อาศัยอยู่บริเวณน้ำนิ่ง ในแม่น้ำข้าง หรือกระแทกน้ำให้ช้าๆ อุณหภูมิที่พบประมาณ 30-45 °C

24. *Oscillatoria sancta* (Kützing) Gomont

เซลล์มีลักษณะเป็นเส้นสาย thallus มีสีเขียวคล้ำ เซลล์มีลักษณะยาวตรง สีเขียวเข้มหรือสีเขียวคล้ำ ผนังเซลล์ไม่เกิดการคอดเว้า มีเมือกหุ้มบาง ๆ เซลล์มีขนาดกว้าง 10-20 μm และยาวประมาณ 3-5 μm เซลล์ เซลล์มีสีเขียวถึงเขียวคล้ำ

แหล่งที่อยู่อาศัย อยู่ตามแม่น้ำนิ่ง ๆ ลอยอยู่บนผิวน้ำ หรือเกาะขอบฝั่ง อุณหภูมิที่พบอยู่ในช่วง 35-45 °C

25. *Oscillatoria splendida* Grev. Ex Gomont

เซลล์มีลักษณะเป็นเส้นสาย เซลล์ยาวตรง ขนาดเล็ก โดยมีความกว้าง 2 μm ยาว 3-5 μm ผนังเซลล์ไม่เกิดการคอดเว้า ในบางครั้ง เซลล์ตรงปลายจะเกิดการโค้งงอ เซลล์บริเวณปลายมีลักษณะโค้งกลม ไม่มี calyptra บริเวณปลายเซลล์

แหล่งที่อยู่อาศัย เกาะติดกับท้องน้ำ อาศัยร่วมกับสาหร่ายเส้นสายชนิดอื่น ๆ อุณหภูมิที่พบอยู่ในช่วง 35-50 °C

26. *Oscillatoria terebriformis* Ag.

เชลล์มีลักษณะเป็นเส้นสาย thallus มีสีเขียวคล้ำ เชลล์บริเวณปลายเกิดการโค้งงอ หนัง เชลล์ไม่เกิดการคดเว้า เชลล์มีขนาดกว้างประมาณ 4-6 μm ยาว 3-6 μm เชลล์ปลายเชลล์จะกลม ไม่มี calyptra บริเวณปลายเชลล์

แหล่งที่อยู่อาศัย อาศัยอยู่ร่วมกับ สาหร่ายเส้นสายชนิดอื่น ๆ อยู่บริเวณท้องน้ำ กระแทกน้ำ ให้ล้ำ อุณหภูมิประมาณ 45-55 °C

27. *Oscillatoria willei* Gardner em. Drouet

เชลล์มีลักษณะเป็นเส้นสาย thallus มีสีเขียวถึงเขียวแกมน้ำเงิน เชลล์จะโค้งงอ มีขนาดเล็ก ความกว้างประมาณ 3-4 μm ยาว 4-5 μm หนังเชลล์ไม่เกิดการคดเว้า

แหล่งที่อยู่อาศัย อยู่บนผัคินที่ชื้นและ น้ำขัง ในแอ่งน้ำนิ่ง หรือบางครั้งพบตามแหล่งน้ำที่กระแส น้ำไหลช้า อุณหภูมิที่พบอยู่ในช่วง 40-50 °C

28. *Phormidium boryanum* (Bory ex Gom.) - Anagn. Et Kom. (ภาพ 6 ก ห, 6 ช ห)

เชลล์มีลักษณะเป็นเส้นสาย thallus มีสีเขียวเข้มถึงเขียวคล้ำ เชลล์มีการโค้งงอ หรือเป็น เกลียว โดยอาจจะเป็นทั้งเส้นสายหรือเชลล์บริเวณปลายเส้นสาย ปลายเชลล์จะแหลม อยู่ร่วมกัน แน่นเป็น thallus เชลล์มีความกว้าง 7-10 μm ยาวประมาณ 3-5 μm หนังเชลล์มีการคดเว้าเล็ก น้อย

แหล่งที่อยู่อาศัย thallus สามารถเจริญได้ในแหล่งน้ำพุร้อนที่มีกระแสน้ำเร็วหรือนิ่งได้ โดยจะเกาะ กับพืชต้น หิน โดยไม่ไหลไปตามกระแสน้ำได้ พบรากที่อุณหภูมิ 50-60 °C

29. *Phormidium laminosum* Gomont

เชลล์มีลักษณะเป็นเส้นสาย thallus มีสีเขียวถึงเขียวแกมน้ำเงิน เส้นสายมีลักษณะเหมือน ทรง มี sheath ที่มีบาง ๆ เชลล์ไม่เกิดการคดเว้า เชลล์มีขนาดกว้าง 1-1.5 μm ยาว 3-4 μm ปลาย เชลล์จะ โค้งมนหรือบางครั้งเชลล์จะแหลม ไม่มี calyptra บริเวณปลายเชลล์ แหล่งที่อยู่อาศัย อยู่บนพืชต้นเกาะกับหิน คิน พบรากที่น้ำร้อน หรือเกาะขอบบ่อ อุณหภูมิที่พบ อยู่ในช่วง 40-50 °C

30. *Pseudanabaena catenata* Lauterborn

เชลล์มีลักษณะเป็นเส้นสาย ไม่แตกแขนง หนังเชลล์เกิดการคดเว้า เชลล์มีรูปร่างโค้งมน บริเวณปลายเชลล์ จะมี terminal aerotopes เชลล์มีความกว้าง 3-5 μm ยาว 4-5 μm เชลล์มีสีเขียว อ่อนถึงเขียวแกมน้ำเงิน

แหล่งที่อยู่อาศัย พบรตามพื้นท้องน้ำ บริเวณขอบบ่อ มักอยู่ร่วมกับสาหร่ายชนิดอื่น ๆ อุณหภูมิที่พบอยู่ในช่วง $35-50^{\circ}\text{C}$

31. *Pseudanabaena galeata* sensu Anagnostidis (ภาค 6 ก f, 6 ข f)

เซลล์มีลักษณะเป็นเส้นสาย ไม่แตกแขนง ผนังเซลล์เกิดการคอดเวลา เซลล์มีรูปร่างทรงกระบอกโถ่มน บริเวณปลายเซลล์มี terminal aerotopes เซลล์มีความกว้าง $2-3 \mu\text{m}$ ยาว $3-4 \mu\text{m}$ แหล่งที่อยู่อาศัย พบรตามพื้นท้องน้ำ บริเวณขอบบ่อ น้ำกระเช็นถึง อุณหภูมิที่พบอยู่ในช่วง $35-50^{\circ}\text{C}$

32. *Rivularia dura* Roth

เซลล์มีลักษณะเป็นเส้นสาย ปลายเซลล์มีเยಥเทอโรซิสต์ มี sheath บาง ๆ หุ้ม thallus แข็ง และหนา เส้นสายจะอยู่ร่วมกันอย่างหนาแน่น เซลล์มีความกว้าง $4-8 \mu\text{m}$ เซลล์บริเวณฐานมีขนาดใหญ่กว่าเซลล์ปกติเล็กน้อย เซลล์มีสีเขียวแกมน้ำเงินหรือเขียวเข้ม แหล่งที่อยู่อาศัย พบนพื้นดิน หิน เกาะซีเมนต์ อุณหภูมิที่พบอยู่ในช่วง $35-42^{\circ}\text{C}$

33. *Scytonema coactile* Mont. (ภาค 6 ก g, 6 ข g)

เซลล์มีลักษณะเป็นเส้นสาย มี sheath หุ้มหนา ภายใน มีเซลล์เยಥเทอโรซิสต์ มีการแตกแขนงแบบไม่แท้จริง (false branching) อยู่ร่วมกันเป็น thallus มีสีเขียวหรือเขียวแกมน้ำเงิน มีขนาดประมาณ $12-20 \mu\text{m}$ เซลล์อาจจะยาวถึง $4 \mu\text{m}$ หรือมากกว่านั้น

แหล่งที่อยู่อาศัย พบรตามพื้นดิน หิน ทึ่น้ำท่วมถึง และพบน้ำไวหล้า ขอบบ่อ อุณหภูมิประมาณ $35-45^{\circ}\text{C}$

34. *Scytonema mirabile* (Dillw.) Born.

เซลล์มีลักษณะเป็นเส้นสาย มี sheath หุ้มหนา ภายในมีเซลล์เยಥเทอโรซิสต์ มีการแตกแขนงแบบไม่แท้จริง (false branching) อยู่ร่วมกันเป็น thallus มีสีเขียวหรือเขียวแกมน้ำเงิน มีขนาดประมาณ $6-12 \mu\text{m}$ ความยาวทั้งเส้นสายอาจยาวถึง $1-1.2 \text{ cm}$.

แหล่งที่อยู่อาศัย พบรตามพื้นดิน, หิน แผ่กระจายเป็นบริเวณกว้าง อุณหภูมิประมาณ $35-45^{\circ}\text{C}$

35. *Symploca thermalis* (Kützing) Gomont

เซลล์มีลักษณะเป็นเส้นสาย อยู่ร่วมกันหนาแน่น ผนังเซลล์อาจมีการคอดเวลา เซลล์มีสีเขียวอ่อนถึงเขียว เซลล์มีความกว้าง $1-2 \mu\text{m}$ ยาว $2-5 \mu\text{m}$ ปลายเซลล์กลม แหล่งที่อยู่อาศัย พบรตามริมขอบบ่อ มักอยู่ร่วมกับสาหร่ายชนิดอื่น ๆ

36. *Synechococcus bigranulatus* Skuja

เซลล์มีรูปร่างเป็นแท่งสั้น ๆ ปลายมน เซลล์มีสีเขียวอ่อนจนถึงเขียวแกมน้ำเงิน เซลล์มีขนาดเล็ก ประมาณ $3-9 \times 1.5-3 \mu\text{m}$

แหล่งที่อยู่อาศัย มักจะอยู่ร่วมกันเป็นบริเวณกว้าง (mat) บนดิน, หิน พูนมากที่อุณหภูมิประมาณ 50-70 °C

37. *Synechococcus lividus* Copeland

เซลล์มีรูปร่างเป็นแท่งสั้น ๆ ปลายมน ตรงหรืออาจโค้ง เซลล์มีสีเขียวจนถึงเขียวแกมน้ำเงิน มีขนาด $5-15 \times 1-3 \mu\text{m}$

แหล่งที่อยู่อาศัย ตามพื้นดิน เกาะอยู่ตามก้อนหิน ในแม่น้ำ บ่อน้ำร้อน พูนมากที่อุณหภูมิประมาณ 50 °C

38. *Synechococcus* sp.

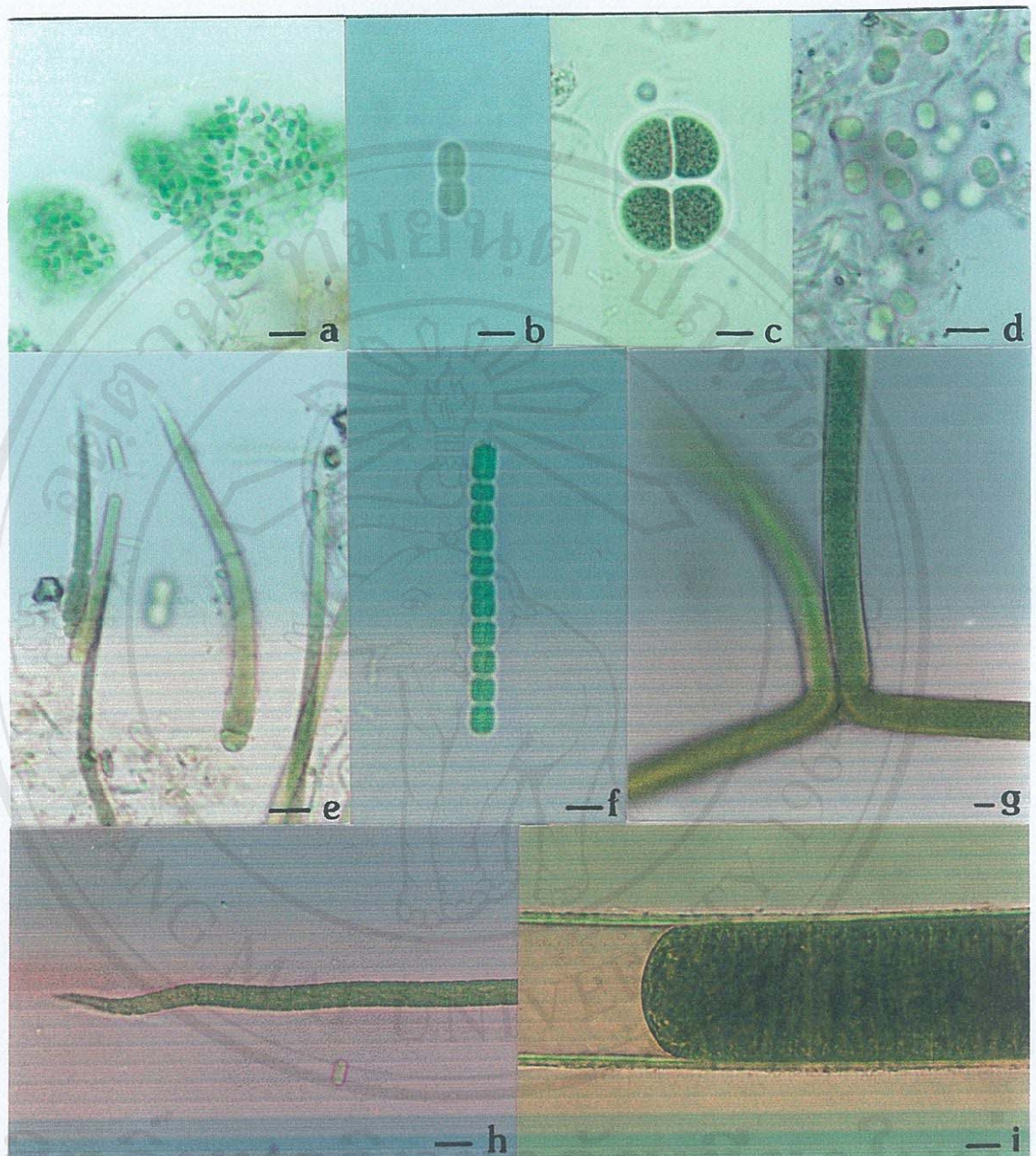
เซลล์มีรูปร่างเป็นแท่งสั้น ๆ ปลายมน คล้ายกับทรงกระบอกสั้น ๆ อาจอยู่เดี่ยว ๆ แต่โดยปกติพบอยู่เป็นกลุ่ม (กำสร้างแบ่งเซลล์ แต่ยังไม่แยกออกจากกัน) เซลล์มีสีเขียวคล้ำจนถึงสีน้ำตาล เซลล์มีขนาด $5-7 \times 8-10 \mu\text{m}$

แหล่งที่อยู่อาศัย เจริญเป็นบริเวณกว้างตามพื้นท้องน้ำ บ่อน้ำร้อนที่อุณหภูมิสูง (เจริญได้ที่อุณหภูมิ 60-75 °C)

39. *Synechocystis minuscula* Voronichin (ภาพ 6 ก d, 6 ข d)

เซลล์มีรูปร่างกลมมน มีเมือกหุ้มอยู่บาง ๆ มักอยู่เดี่ยว ๆ หรือเป็นกลุ่ม (แบ่งเซลล์แต่ยังไม่แยกออกจากกัน) เซลล์มีขนาด $2-3 \mu\text{m}$

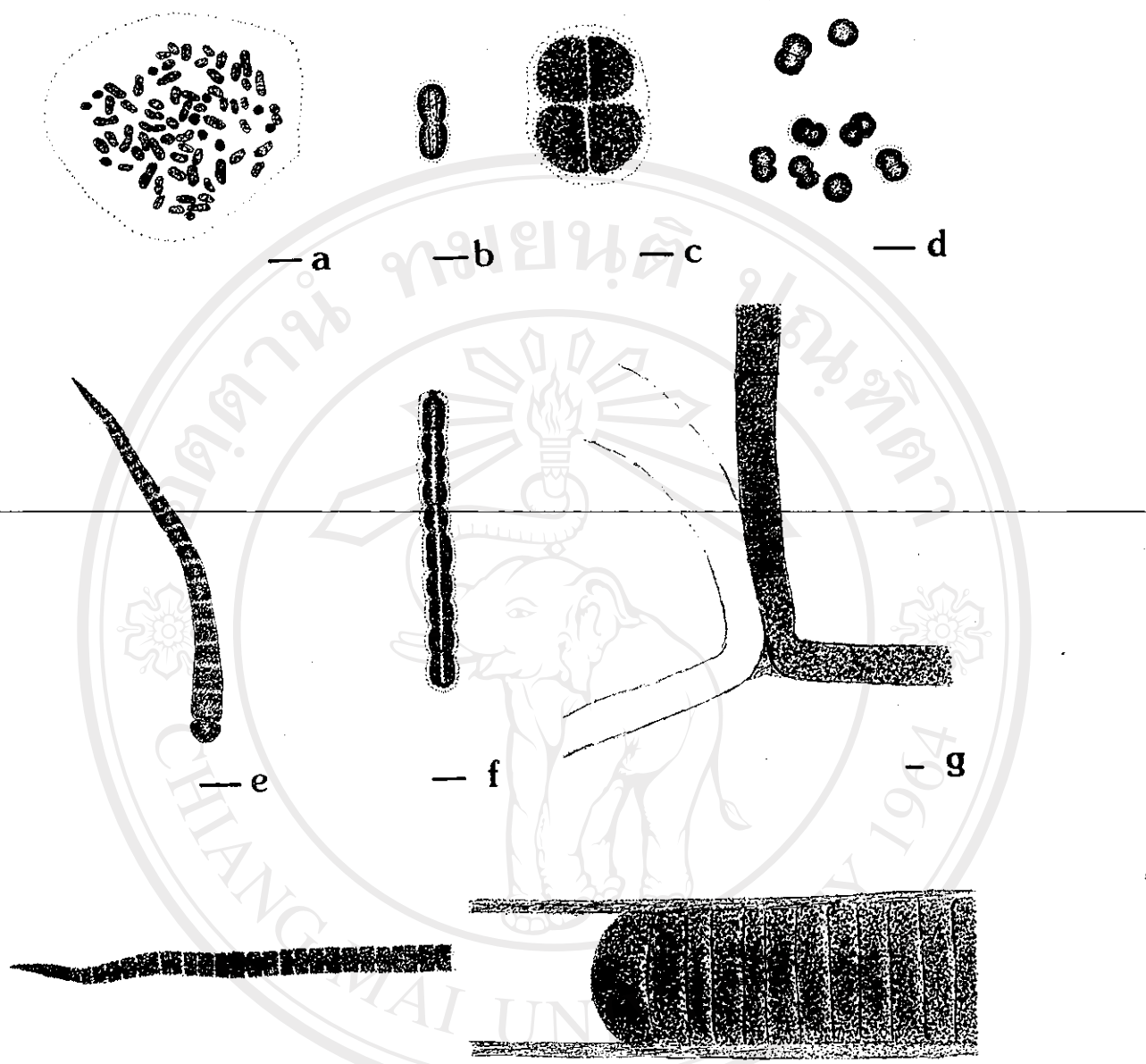
แหล่งที่อยู่อาศัย อาศัยอยู่ตามพื้นท้องน้ำ มักพบในแหล่งน้ำพุร้อนที่เป็นค่าวา เจริญได้ที่อุณหภูมิ 40-50 °C

scale 10 μm

Copyright © by Chiang Mai University

ภาพ 6 ก สาหร่ายสีเขียวแกมน้ำเงินบางสปีชีส์ที่สำรวจพบในน้ำพุร้อนทั้ง 9 แหล่ง

(a-d) Chroococcales; (a) *Aphanothecce bullosa* (Meneghini) Rabenhorst (b) *Cyanobacterium minervae* (Copeland) Komarek (c) *Cyanosarcina gelatinosa* (Emoto et Yoneda) (d) *Synechocystis minuscula* Voronichin (e) Nostocales; *Calothrix thermalis* (Schmidle) Hansg. (f) Oscillatoriales; *Pseudanabaena galeata* sensu Anagnostidis (g) Stigonematales; *Scytonema coactile* Mont. (h-i) Oscillatoriales; (h) *Phormidium boryanum* (Bory ex Gom.) - Anagn. Et Kom. (i) *Lyngbya majuscula* Harvey ex Gomont



ภาพ ๖ ข ภาพวาดสาหร่ายสีเขียวแกมน้ำเงินบางสปีชีส์ที่สำรวจพบในน้ำพุร้อนทั้ง ๙ แหล่ง

(a-d) Chroococcales; (a) *Aphanothece bullosa* (Meneghini) Rabenhorst (b) *Cyanobacterium minervae* (Copeland) Komarek (c) *Cyanoarcina gelatinosa* (Emoto et Yoneda) (d) *Synechocystis minuscula* Voronichin (e) Nostocales; *Calothrix thermalis* (Schmidle) Hansg. (f) Oscillatoriales; *Pseudanabaena galeata* sensu Anagnostidis (g) Stigonematales; *Scytonema coactile* Mont. (h-i) Oscillatoriales; (h) *Phormidium boryanum* (Bory ex Gom.) - Anagn. Et Kom. (i) *Lyngbya majuscula* Harvey ex Gomont

scale 10 μm

Copyright © by Chiang Mai University

คุณสมบัติทางกายภาพ และเคมีของแหล่งน้ำพุร้อน ทั้ง 9 แหล่ง

เมื่อศึกษาคุณสมบัติทางกายภาพและเคมีของแหล่งน้ำพุร้อน ทั้ง 9 แหล่ง ระหว่างเดือน ตุลาคม 2542 ถึง กันยายน 2543 ใน 2 ฤดู คือ ฤดูแล้งและฤดูฝน (ภาคผนวก ก ตาราง 12-20 , ภาพ 7-22) ยกเว้นในแหล่งน้ำพุร้อนแม่ฟาง และน้ำพุร้อนห้วยมากเลี่ยม ไม่ได้ศึกษาในฤดูแล้ง พนว่าฤดูกาล ไม่มีผลต่อคุณสมบัติต่างๆ ของน้ำ โดยพบว่าในทุก ๆ parameters ที่ทำการตรวจวัดในฤดูแล้ง และฤดูฝน ค่าที่ได้มีค่าใกล้เคียงกัน ดังมีรายละเอียดดังนี้

ค่าความเป็นกรด-ด่าง (pH) ของทั้ง 9 แหล่ง พนว่าทุกแหล่งจะมีค่า pH เป็นกลางถึงค้างเดือด น้อย (7-9.6) โดยในแต่ละฤดูกาล ค่า pH ไม่เปลี่ยนไปจากเดิมมากนัก (ภาพ 7-8)

ค่าการนำไฟฟ้า (conductivity) พนว่าทุกแหล่งจะมีค่าสูง ซึ่งค่าที่ได้มีค่าสูงกว่าแหล่งน้ำธรรมชาติมาก เป็นผลมาจากการน้ำร้อนได้ละลายเอาแร่ธาตุต่างๆ ออกมานำโดยเฉพาะแคลเซียมซัลเฟต แต่เมื่อเปรียบเทียบในแต่ละฤดูกาล พนว่าค่าที่วัดได้มีค่าใกล้เคียงกัน (ภาพ 9-10)

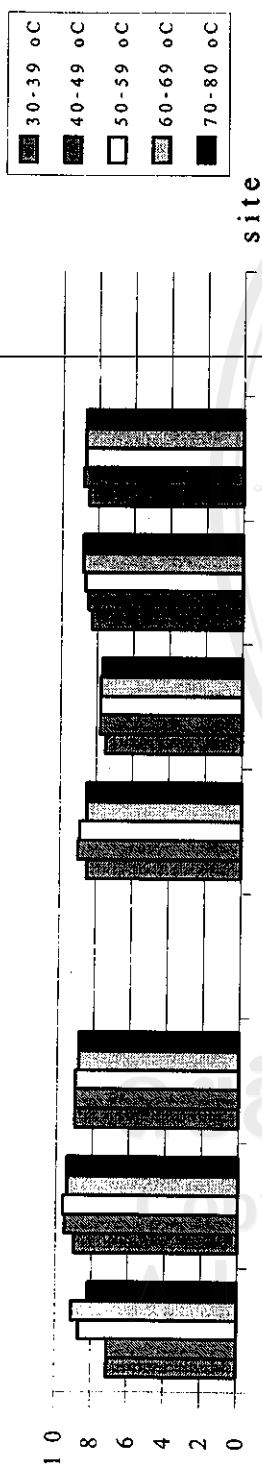
ค่าความเป็นด่าง (alkalinity) ของน้ำ พนว่าทุกแหล่งมีค่าความเป็นด่างสูงกว่าแหล่งน้ำธรรมชาติมาก โดยค่าที่วิเคราะห์ได้อยู่ในช่วง $105-410 \text{ mg.l}^{-1}$ ซึ่งส่วนใหญ่ เกิดจากอนุญาตของ ในการบ่อนet สองครั้งกับการรายงานของกรมทรัพยากรธรณี (2529) ที่รายงานว่าน้ำพุร้อนทางภาคเหนือของไทย ส่วนใหญ่เป็นพาก alkaline sodium bicarbonate water (ภาพ 11-12)

ค่าออกซิเจนที่ละลายน้ำ (DO) พนว่ามีความสัมพันธ์กับช่วงอุณหภูมิ โดยพนว่าที่ อุณหภูมิสูง ค่า DO ก็จะลดลง สองครั้งกับผลการทดลอง โดยพนว่าที่อุณหภูมิมากกว่า 50°C น้ำพุร้อนส่วนใหญ่ จะมีค่า DO เท่ากับศูนย์ เมื่อเปรียบเทียบในแต่ละฤดู ส่วนใหญ่พบว่า ปริมาณออกซิเจนที่ละลายน้ำมีค่าสูงกว่าหน้าฝน (ภาพ 13-14)

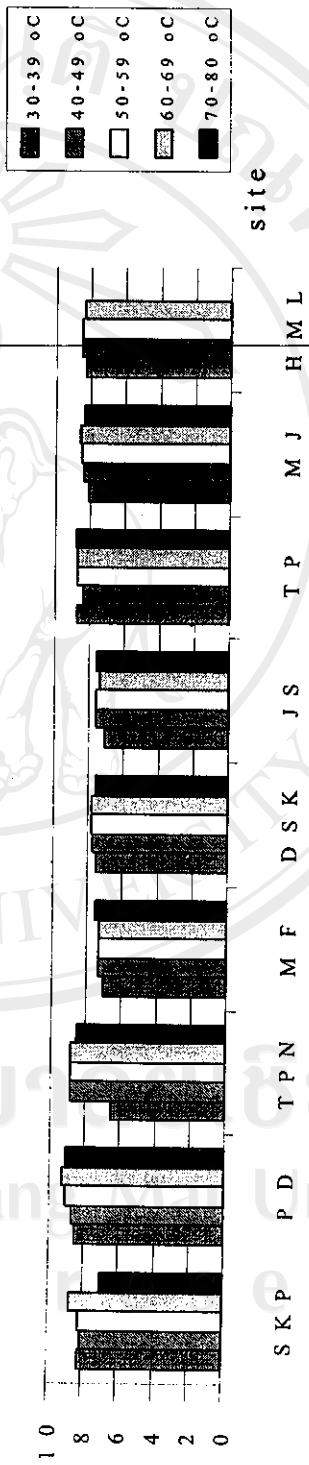
ปริมาณซัลไฟด์ (S^{2-}) พนว่าค่าซัลไฟด์ในทุกแหล่งน้ำมีค่าใกล้เคียงกัน และมีความสัมพันธ์ กับระดับอุณหภูมิโดยที่อุณหภูมิสูงปริมาณซัลไฟด์จะสูงตามไปด้วย และจะลดลงตามระดับทางของ สารน้ำพุร้อนที่ไหลออกจาบน้ำพุร้อนหรือน้ำพุที่พุ่งขึ้น เมื่อเปรียบเทียบในแต่ละฤดู ส่วนใหญ่พบว่า ปริมาณซัลไฟด์ในหน้าแล้งจะมีค่าสูงกว่าหน้าฝน (ภาพ 15-16)

ปริมาณสารอาหาร ได้แก่ soluble reactive phosphorus (SRP) ในตรีทไนโตรเจน และ แอมโมเนียม ในตรีเจน พนว่า ค่า SRP อยู่ในช่วง $0.12-1.7 \text{ mg.l}^{-1}$ ค่าไนโตรไนโตรเจน อยู่ในช่วง $0.1-8.4 \text{ mg.l}^{-1}$ ค่าแอมโมเนียม ในตรีเจนอยู่ในช่วง $0.00-0.178 \text{ mg.l}^{-1}$ โดยเมื่อเปรียบเทียบในแต่ละฤดู พนว่าค่ามีความใกล้เคียงกัน (ภาพ 17-22)

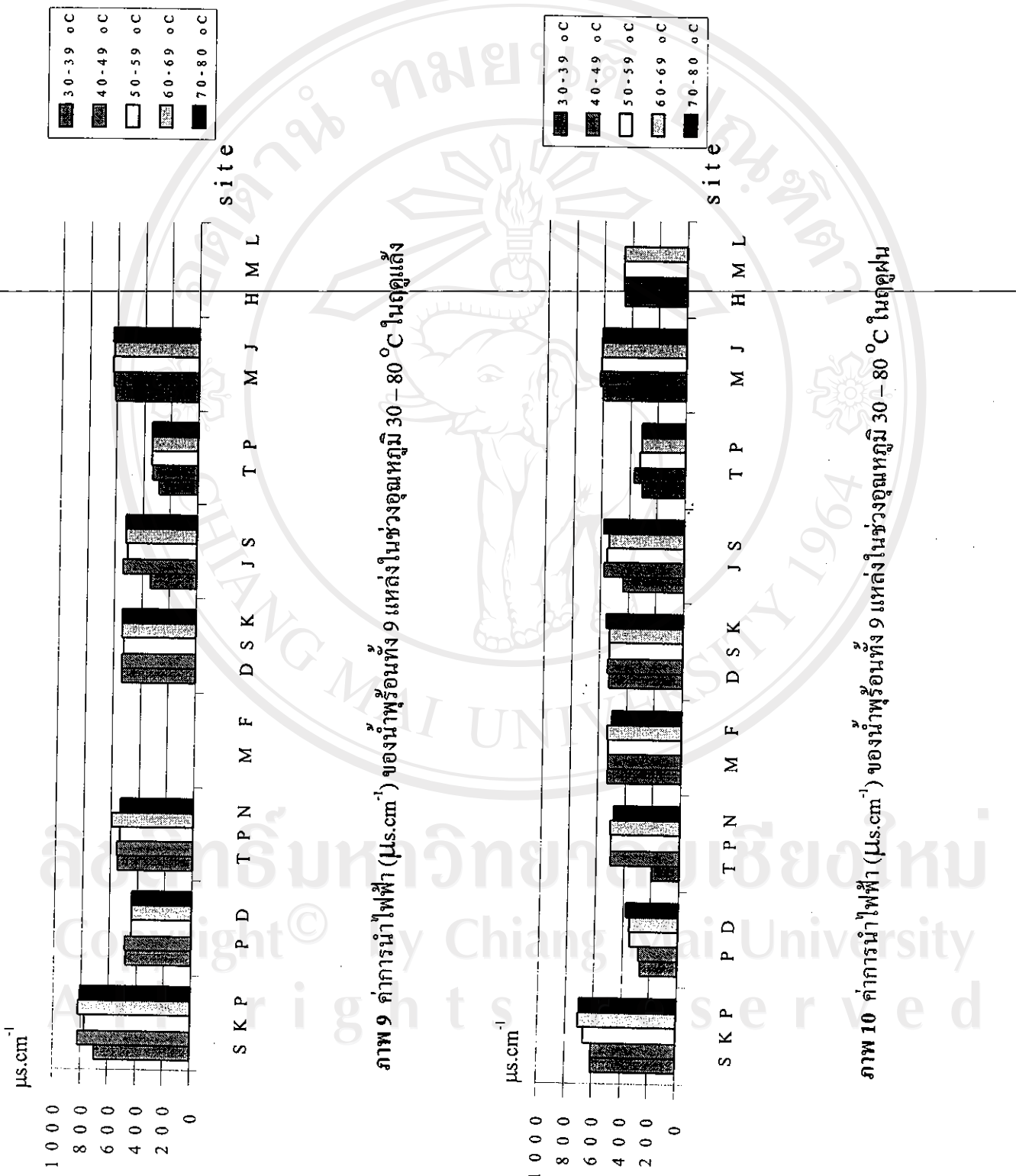
ความชื้นของแหล่งน้ำ พนว่าน้ำพุร้อนเกือบทุกแหล่งมีความ似มาก ความชื้นต่ำ ยกเว้นน้ำพุร้อน ปองเดือดในหน้าฝน ช่วงอุณหภูมิ $30-49^{\circ}\text{C}$ และน้ำพุร้อนเทพนน ในหน้าฝน ช่วงอุณหภูมิ $30-39^{\circ}\text{C}$ พนว่ามีค่าความชื้นสูง เนื่องจากกระแสน้ำไหลแรง และได้รับอิทธิพลจากน้ำภายนอกเข้ามา ปน (ภาคผนวก ก ตาราง 12-20)

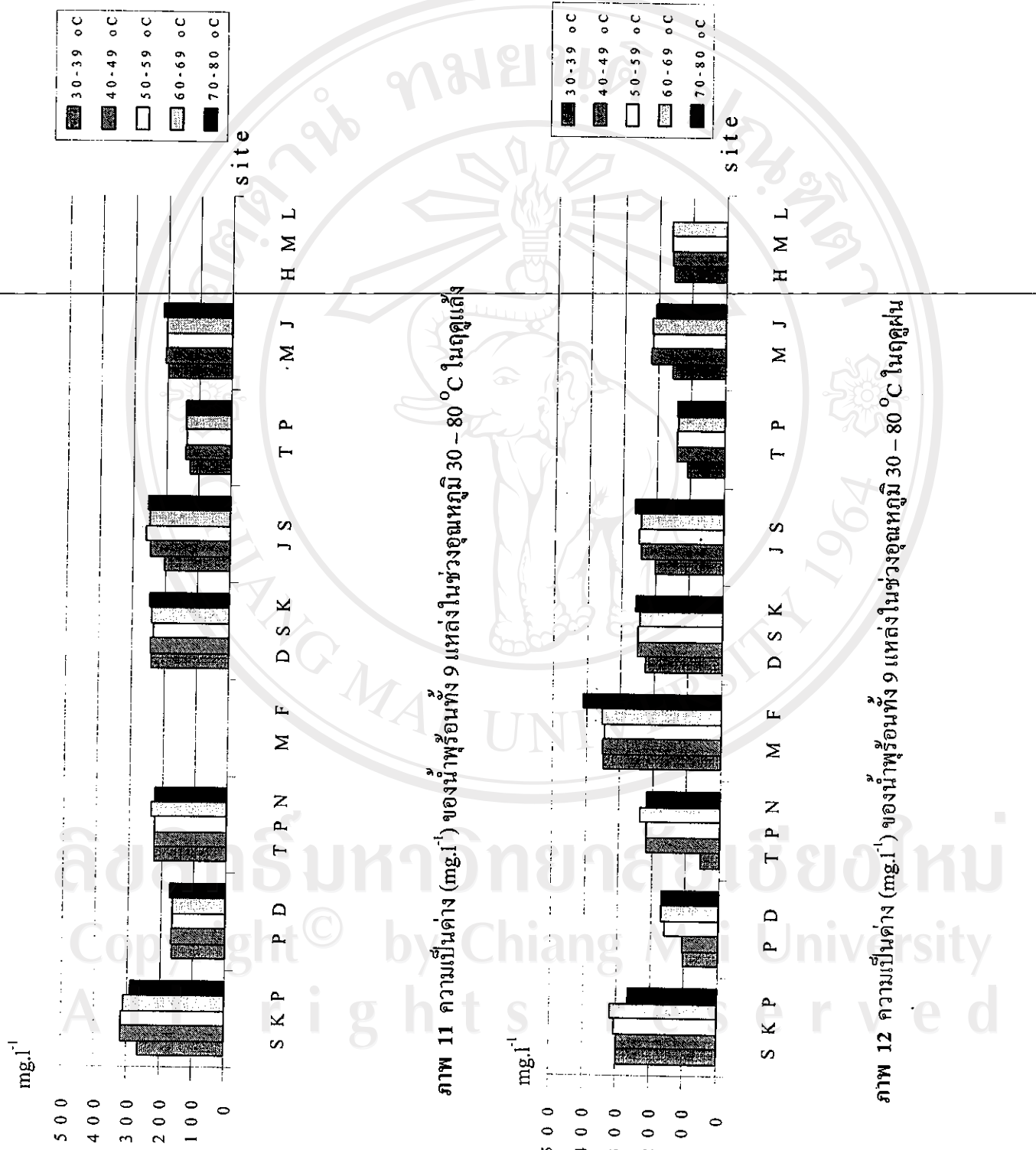


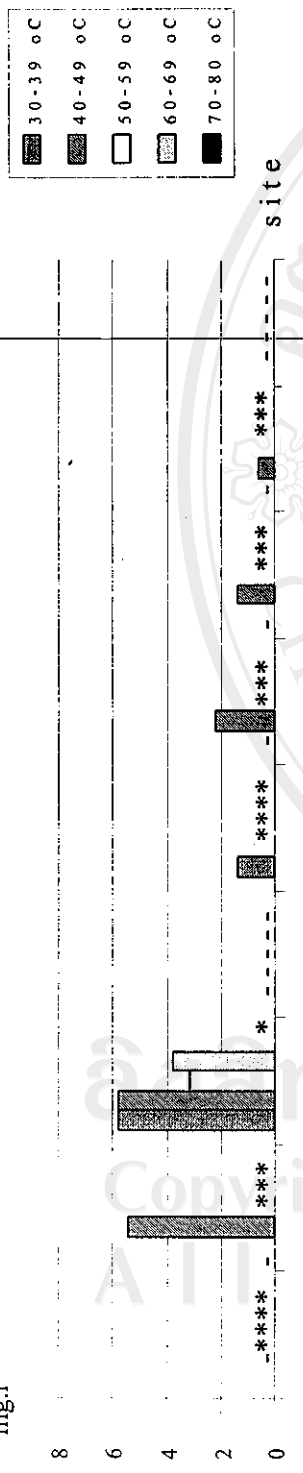
ภาพ 7 ความเป็นกรด-ค้าง (pH) ของน้ำพุร้อนทั้ง 9 แหล่งในช่วงฤดูหนาว 30–80 °C ในฤดูร้อน
 Σ SKP = น้ำพุร้อนเต้มถังแก็ป PD = น้ำพุร้อนไปร์เด็ค TPN = น้ำพุร้อนแพน FM = น้ำพุร้อนแหน่งไฟ DSK = น้ำพุร้อนดูดแก๊ป JS = น้ำพุร้อนแก๊ปอ่อน TP = น้ำพุร้อนหัวปูน MJ = น้ำพุร้อนน้ำแข็ง HML = น้ำพุร้อนหัวปูนมาลีลม



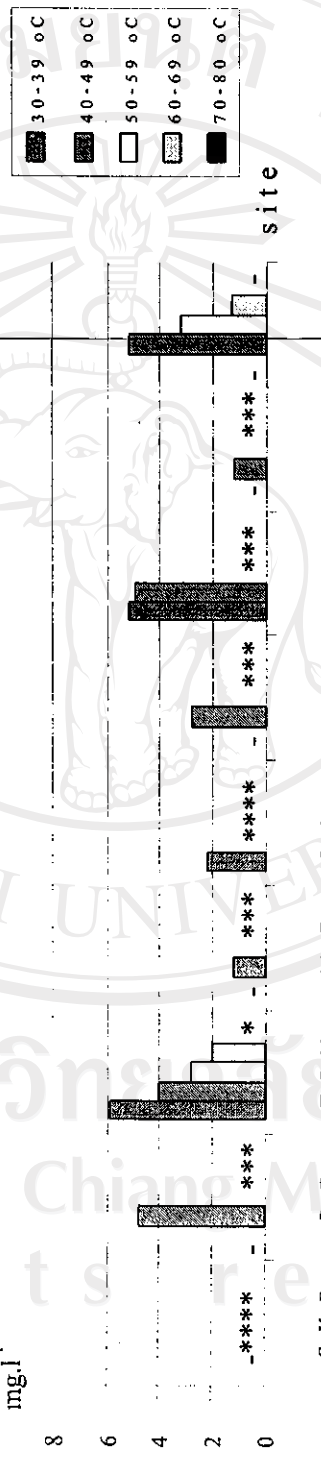
ภาพ 8 ความเป็นกรด-ค้าง (pH) ของน้ำพุร้อนทั้ง 9 แหล่งในช่วงฤดูหนาว 30–80 °C ในฤดูร้อน





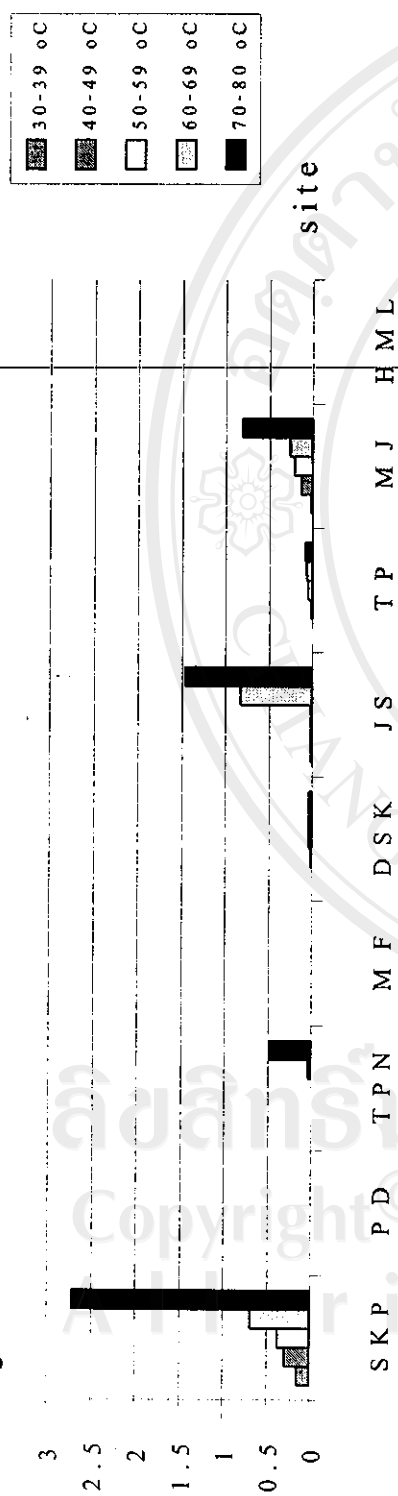


ภาพ 13 ปริมาณของโพแทสเซียมที่ต้องการในน้ำ (mg.l^{-1}) ของน้ำพุร้อนพัง 9 แหล่ง ในช่วงอุณหภูมิ $30 - 80^{\circ}\text{C}$ ในฤดูฝน

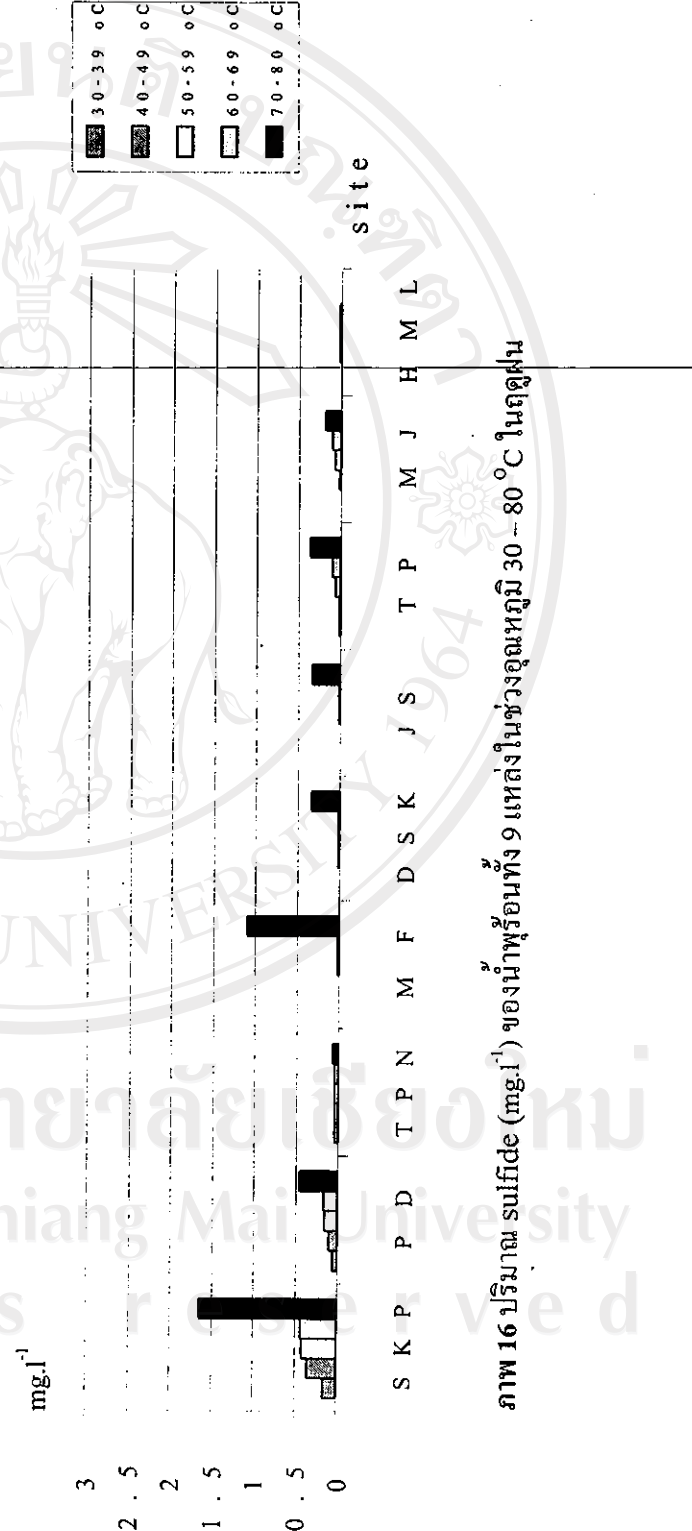


ภาพ 14 ปริมาณของโพแทสเซียมที่ต้องการในน้ำ (mg.l^{-1}) ของน้ำพุร้อนพัง 9 แหล่ง ในช่วงอุณหภูมิ $30 - 80^{\circ}\text{C}$ ในฤดูฝน

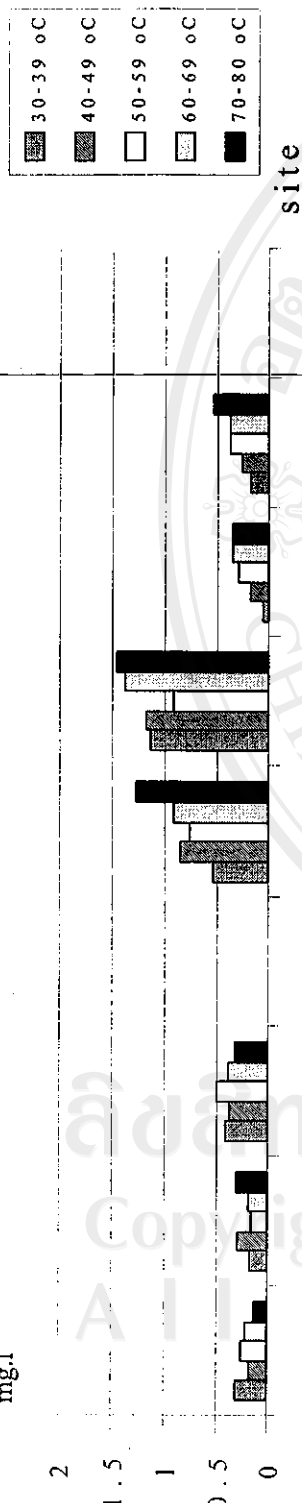
หมายเหตุ * หมายถึง ปริมาณของโพแทสเซียมที่ต้องการในน้ำพุร้อนพัง 9 แหล่ง ในช่วงอุณหภูมิ $30 - 80^{\circ}\text{C}$ ในฤดูฝน
หมายถึง ไม่ได้ทำการตรวจสอบ



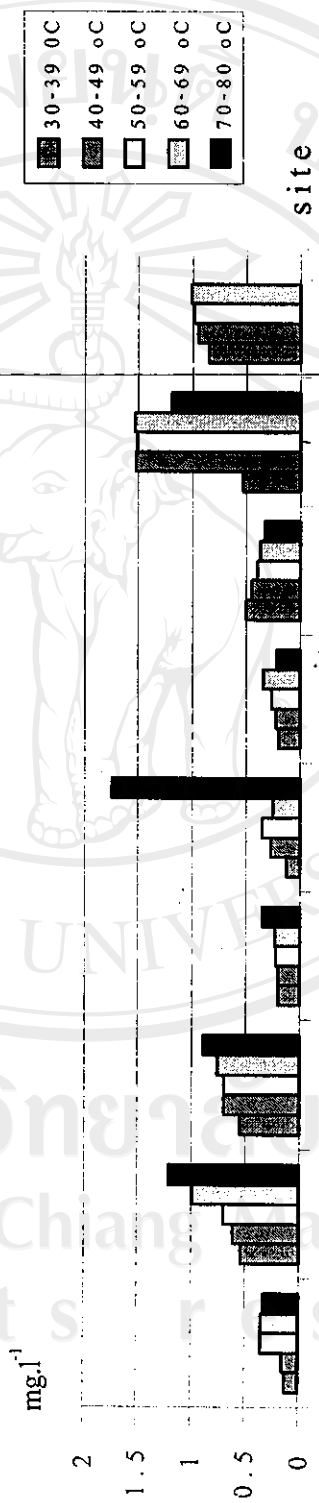
ภาพ 15 ปริมาณ sulfide (mg.l^{-1}) ของน้ำพื้นที่ 9 แห่งตั้งในช่วงอุณหภูมิ $30 - 80^{\circ}\text{C}$ ในฤดูฝน



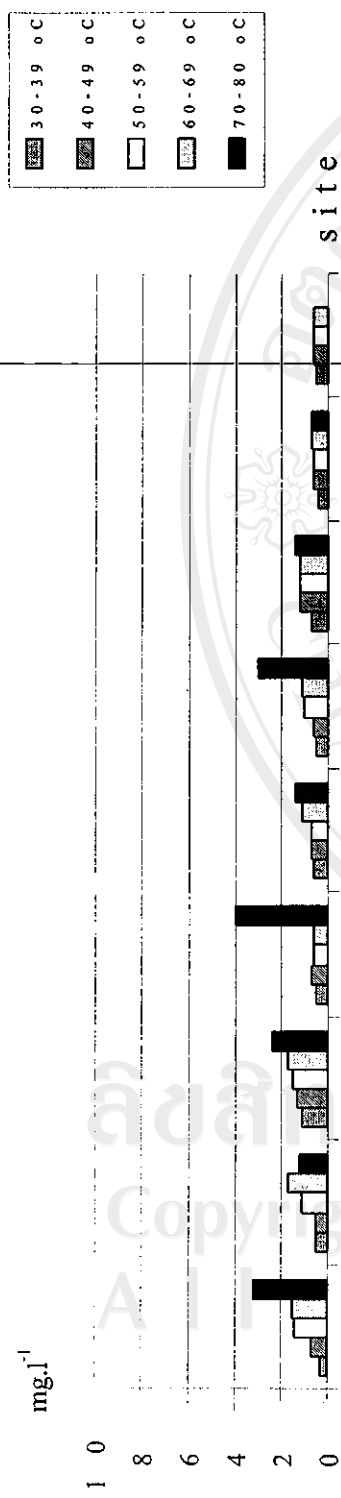
ภาพ 16 ปริมาณ sulfide (mg.l^{-1}) ของน้ำพื้นที่ 9 แห่งตั้งในช่วงอุณหภูมิ $30 - 80^{\circ}\text{C}$ ในฤดูฝน



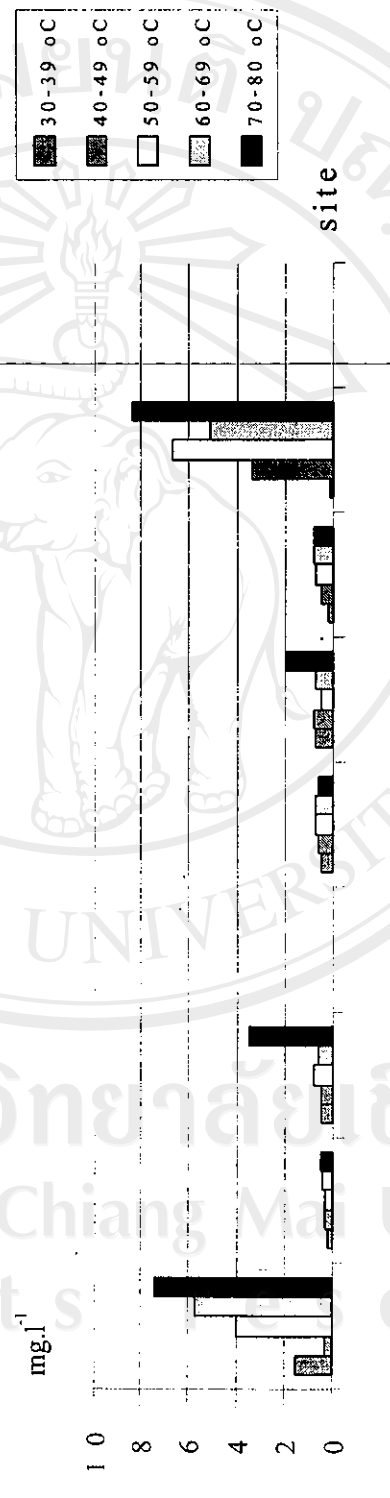
ภาพ 17 ปริมาณ SRP (mg.l⁻¹) ของน้ำพุร้อนทั้ง 9 แหล่งในช่วงอุณหภูมิ 30–80 °C ในฤดูเดียว



ภาพ 18 ปริมาณ SRP (mg.l⁻¹) ของน้ำพุร้อนทั้ง 9 แหล่งในช่วงอุณหภูมิ 30–80 °C ในฤดูฝน

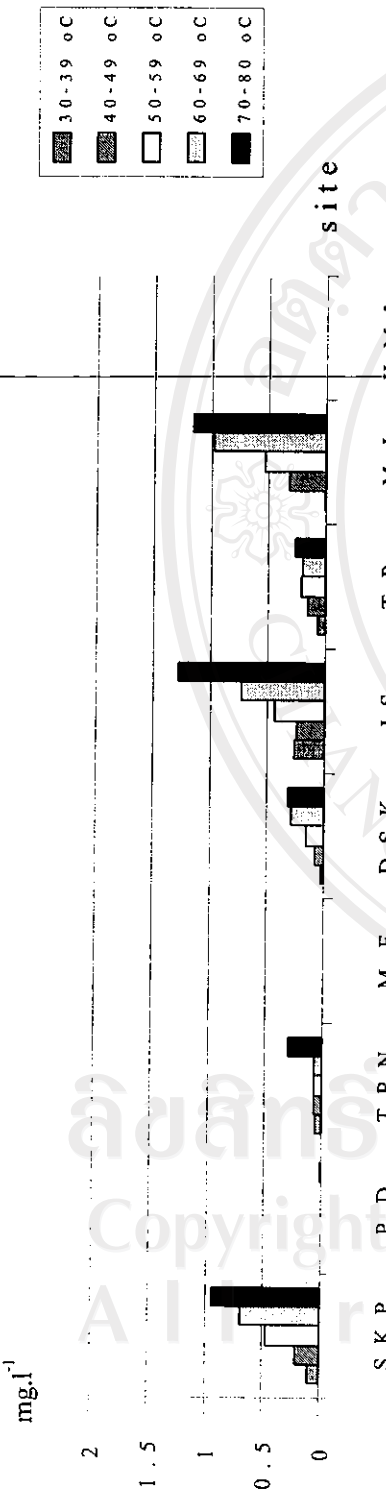


ภาพ 19 ปริมาณ ไนโตรเจน ในตัวเรือน (mg.l^{-1}) ของน้ำพื้นที่ช่อง 9 แหล่งในช่วงอุณหภูมิ $30 - 80^{\circ}\text{C}$ ในฤดูถัง

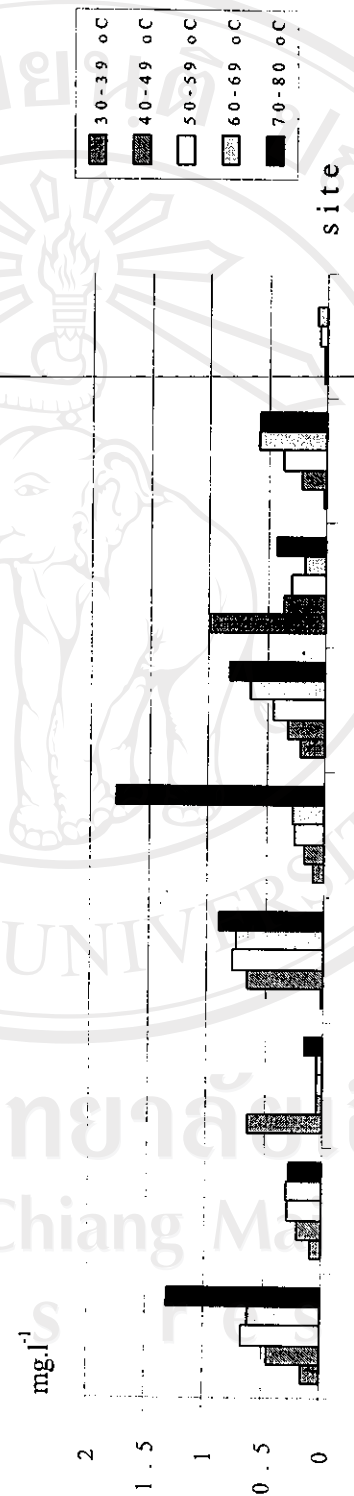


ภาพ 20 ปริมาณ ไนโตรเจน ในตัวเรือน (mg.l^{-1}) ของน้ำพื้นที่ช่อง 9 แหล่งในช่วงอุณหภูมิ $30 - 80^{\circ}\text{C}$ ในฤดูฝน

เดือน.....
สำนักหอสมุด มหาวิทยาลัยเชียงใหม่



รูปที่ 21 บาร์กราฟแสดงปริมาณน้ำฝนที่ตกต่อเดือน (mg.l⁻¹) ของสถานีพักร้อนที่ 9 เมืองเชียงใหม่ ระหว่างอุณหภูมิ 30 – 80 °C ในฤดูฝน



รูปที่ 22 บาร์กราฟแสดงปริมาณน้ำฝนที่ตกต่อเดือน (mg.l⁻¹) ของสถานีพักร้อนที่ 9 เมืองเชียงใหม่ ระหว่างอุณหภูมิ 30 – 80 °C ในฤดูฝน

ชนิดของสาหร่ายสีเขียวแกมน้ำเงินที่สามารถแยกให้บริสุทธิ์

จากการคัดแยกตัวอย่างสาหร่ายที่เก็บจากน้ำพุร้อนด้วยอาหาร BG 11 medium โดยวิธี streak plate หรือ spread plate พบว่าสามารถแยกสาหร่ายสีเขียวแกมน้ำเงินให้บริสุทธิ์ได้ทั้งหมด 8 ลปซีส์ จากน้ำพุร้อนทั้ง 9 แหล่งที่อุณหภูมิต่าง ๆ กันดังนี้

Chroococcidiopsis thermalis Geitler (ภาพ 23 ก a, 23 ข a) แยกได้จากน้ำพุร้อนสันกำแพง เก็บจากอุณหภูมิ 68°C

Lyngbya limnetica Lemmermann (ภาพ 23 ก e, 23 ข e) แยกได้จากน้ำพุร้อนสันกำแพง เก็บจากอุณหภูมิ 46°C

Lyngbya perelegans Lemmermann (ภาพ 23 ก f, 23 ข f) แยกได้จากน้ำพุร้อนสันกำแพง เก็บจากอุณหภูมิ 43°C

Mastigocladus laminosus Cohn (ภาพ 23 ก h, 23 ข h) แยกได้จากน้ำพุร้อนด้วยสะเก็ดและน้ำพุร้อนสันกำแพง เก็บจากอุณหภูมิ 41 และ 49°C

Phormidium sp. (ภาพ 22 ก g, 23 ข g) แยกจากน้ำพุร้อนสันกำแพง เก็บจากอุณหภูมิ 42°C

Synechococcus bigranulatus Skuja (ภาพ 23 ก b, 23 ข b) แยกได้จากน้ำพุร้อนโป่งเดือด เก็บจากอุณหภูมิ 62°C

Synechococcus lividus Copeland (ภาพ 23 ก c, 23 ข c) แยกจากน้ำพุร้อนสันกำแพง เก็บจากอุณหภูมิ 50°C

Synechococcus sp. (ภาพ 23 ก d, 23 ข d) แยกจากน้ำพุร้อนสันกำแพงและน้ำพุร้อนแจ็ชชัน โดยเก็บจากอุณหภูมิ 73°C จากน้ำพุร้อนแจ็ชชัน และอุณหภูมิ 49°C จากน้ำพุร้อนสันกำแพง

จากการศึกษาปร่องและโครงสร้างของสาหร่ายสีเขียวแกมน้ำเงินที่สามารถแยกให้บริสุทธิ์ มีรายละเอียดดังนี้

1. *Chroococcidiopsis thermalis* Geitler (ภาพ 23 ก a, 23 ข a)

เซลล์มีลักษณะเป็นทรงกลม อยู่รวมกันเป็นกลุ่ม ๆ ภายในเยื่อหุ้มเซลล์ (envelope) ที่สามารถมองเห็นได้ชัดเจนและมีลักษณะที่แน่นอน เซลล์มีขนาด $9 - 10 \mu\text{m}$ อาจมีขนาดถึง $35 \mu\text{m}$ หลังจากที่เซลล์มีการแบ่งตัว เซลล์มีสีเขียวแกมน้ำเงิน มีเม็ด granule อยู่ภายในเซลล์

โคลโโนอาจถูกกลบerrer ด้วยเยื่อหุ้มเซลล์ที่มองเห็นได้ชัดเจน หรือมองไม่เห็นขนาดของโคลโโนมีหลายขนาด

2. *Lyngbya limnetica* Lemmermann

(ภาพ 23 ก e, 23 ข e)

มีลักษณะเป็นเส้นสายเดี่ยว ๆ รูปร่างโค้งงอ ขนาด $1.5 - 2 \mu\text{m}$ มีเมือกหุ้ม (sheath) ไม่มีสี อุ่ติดกับเซลล์ trichome แต่ละ trichome ไม่ติดกัน มีขนาด $1.0 - 1.2 \mu\text{m}$ เซลล์มีความยาวมากกว่า ความกว้าง $1.4 - 1.6$ เท่า ยาว $1.4 - 1.9 \mu\text{m}$ ปลายเซลล์มนน มีเมือกหุ้มยื่นเลยออกไป

3. *Lyngbya perelegans* Lemmermann

(ภาพ 23 ก f, 23 ข f)

มีลักษณะเป็นเส้นสายเดี่ยว ๆ อยู่พันกัน รูปร่างตรงหรือโค้งงอ ขนาด $2 - 3 \mu\text{m}$ มีเมือกหุ้มไม่มีสีอุ่ติดกับเซลล์ trichome แต่ละ trichome ไม่อุ่ติดกัน มีขนาด $1.5 - 1.8 \mu\text{m}$ ปลายเซลล์ เป็นรูปทรงกระบอก พนังกั้นเซลล์มีเม็ด granule ในแต่ละด้าน มีเมือกหุ้มเซลล์ยื่นเลยออกไป เซลล์มีสีเขียวแกมน้ำเงิน

4. *Mustigocladus laminosus* Cohn

(ภาพ 23 ก h, 23 ข h)

มีลักษณะเป็นเส้นสาย เซลล์มีความหนาแน่นของชาณี calcium carbonate เส้นสายอุ่กันอย่างไม่เป็นระเบียบ มีความกว้าง $4 - 6 (8) \mu\text{m}$ รูปร่างโค้งงอ เห็นเมือกหุ้มชัดเจน เซลล์มีลักษณะคล้ายกลองจานถึงรูปทรงกระบอกสั้น มีการแตกแขนงแบบ true branching เส้นที่แตกแขนงออกไป มีขนาด $3 \mu\text{m}$ มีลักษณะตั้งตรง มี heterocysts อยู่ระหว่างเซลล์ รูปร่างกลมหรือรูปไข่ มีขนาด กว้างกว่าเซลล์ปกติ คือกว้างถึง $6.5 \mu\text{m}$ อาจจะอุ่งเป็นเซลล์เดี่ยว ๆ หรือ 2 เซลล์ติดกัน

5. *Phormidium* sp.

(ภาพ 22 ก g, 23 ข g)

มีลักษณะเป็นเส้นสาย เจริญแบบเกาะอยู่ตามขอบบ่อน้ำพุร้อนลด้อยลงในน้ำ เซลล์มีเมือกหุ้มบางและไม่มีสี trichome เป็นรูปทรงกระบอก ตรงปลายแหลม มีลักษณะตรงหรือโค้งงอ มีขนาด $3 \mu\text{m}$ มีเม็ด granule อยู่ภายในเซลล์

6. *Synechococcus bigranulatus* Skuja

(ภาพ 23 ก b, 23 ข b)

เซลล์อุ่งเป็นเซลล์เดี่ยว ๆ หรืออุ่งรวมกันเป็นกลุ่ม มีสีเขียว สีเขียวแกมน้ำเงินอ่อน สีเขียวเข้ม หรือสีเขียวมะกอก (เมื่ออุ่งในอุณหภูมิสูง) เซลล์มีรูปร่างเป็นแท่งยาว ตรงหรือโค้งเล็กน้อย ปลายมน บางครั้งมีการแบ่งเซลล์แบบ 2 เซลล์ติดกันหรือมากกว่า ตรงปลายเซลล์ทั้งสองด้านจะมีเม็ด granule มีขนาด $10 - 40 \times 2 \mu\text{m}$

7. *Synechococcus lividus* Copeland

(ภาพ 23 ก c, 23 ข c)

เซลล์มีรูปร่างเป็นแท่ง ตรงหรือโค้งเล็กน้อย บางครั้งมีการแบ่งเซลล์แบบ 2 เซลล์ติดกัน มีขนาด $5 - 15 \times 2 \mu\text{m}$ เป็นสปอร์สีทึบในอุณหภูมิสูง (มากกว่า 50°C)

8. *Synechococcus* sp.

(ภาพ 23 ก d, 23 ข d)

เซลล์มีรูปร่างเป็นทรงกระบอก หรือรูปไข่ ปลายมน มีความกว้าง 5 – 10 μm ยาว 15 – 30 μm อยู่เป็นเซลล์เดียว ๆ บางครั้งมีการแบ่งแบบ 2 เซลล์ติดกัน มีเมือกหุ้มเซลล์เต่งมาก

ชนิดของแบคทีเรียสังเคราะห์แสงที่สามารถแยกได้

จากการคัดแยกตั้งอย่างแบคทีเรียสังเคราะห์แสงที่เก็บจากน้ำพุร้อนในช่วงอุณหภูมิ 60-80 °C โดยใช้อาหารสูตร PE เพาะเลี้ยงที่อุณหภูมิ 70 °C ภายใต้สภาพไร้อากาศและมีแสงเพียง แบคทีเรียสังเคราะห์แสงที่แยกได้คือ *Chloroflexus* sp. (Pierson and Castenholz, 1974) (ภาพ 24) เป็นกลุ่ม green sulfur bacteria จัดอยู่ใน แฟมili Chloroflexaceae

การศึกษาความทนอุณหภูมิในช่วงกว้าง (30-70 °C) ของสาหร่ายสีเขียวแกมน้ำเงินหนึ่งทั้ง 8 สปีชีส์

จากการศึกษาความสามารถในการเจริญหรือทนอุณหภูมิในช่วงกว้างของสาหร่ายสีเขียว แกมน้ำเงินหนึ่งทั้ง 8 สปีชีส์ ที่อุณหภูมิต่าง ๆ โดยการเพาะเลี้ยงสาหร่ายในตู้ปรับอุณหภูมิ 30, 45, 55 และ 70 °C พบร่วมกันว่าการเจริญของสาหร่ายสีเขียวแกมน้ำเงินทั้ง 8 สปีชีส์ ที่อุณหภูมิต่าง ๆ (ตาราง 11) มีดังนี้

Chroococcidiopsis thermalis Geitler และ *Synechococcus bigranulatus* Skuja เก็บจากช่วงอุณหภูมิ 60-70 °C สามารถเจริญได้ที่อุณหภูมิ 30, 45 และ 55 °C ทำให้สามารถจัดสาหร่ายสปีชีส์นี้เป็นสาหร่ายที่ทนอุณหภูมิได้ในช่วงกว้าง (30-70 °C)

Lyngbya limnetica Lemmermann และ *Lyngbya perelegans* Lemmermann และ *Phormidium* sp. เก็บจากช่วงอุณหภูมิ 40-50 °C สามารถเจริญได้ที่อุณหภูมิ 30 และ 45 °C จึงสามารถจัดสาหร่ายสปีชีส์นี้เป็นสาหร่ายที่ทนอุณหภูมิในช่วงกว้าง (30-50 °C)

Mastigocladus laminosus Cohn เก็บจากช่วงอุณหภูมิ 40-60 °C สามารถเจริญได้ที่ อุณหภูมิ 30 และ 45 °C ทำให้สามารถจัดสาหร่ายสปีชีส์นี้เป็นสาหร่ายที่ทนอุณหภูมิในช่วงกว้าง (30-60 °C)

Synechococcus lividus Copeland เก็บจากช่วงอุณหภูมิ 50-60 °C และสามารถเจริญได้ที่ อุณหภูมิ 30, 45 และ 55 °C ทำให้สามารถจัดสาหร่ายสปีชีส์นี้เป็นสาหร่ายที่ทนอุณหภูมิในช่วง กว้าง (30-60 °C)

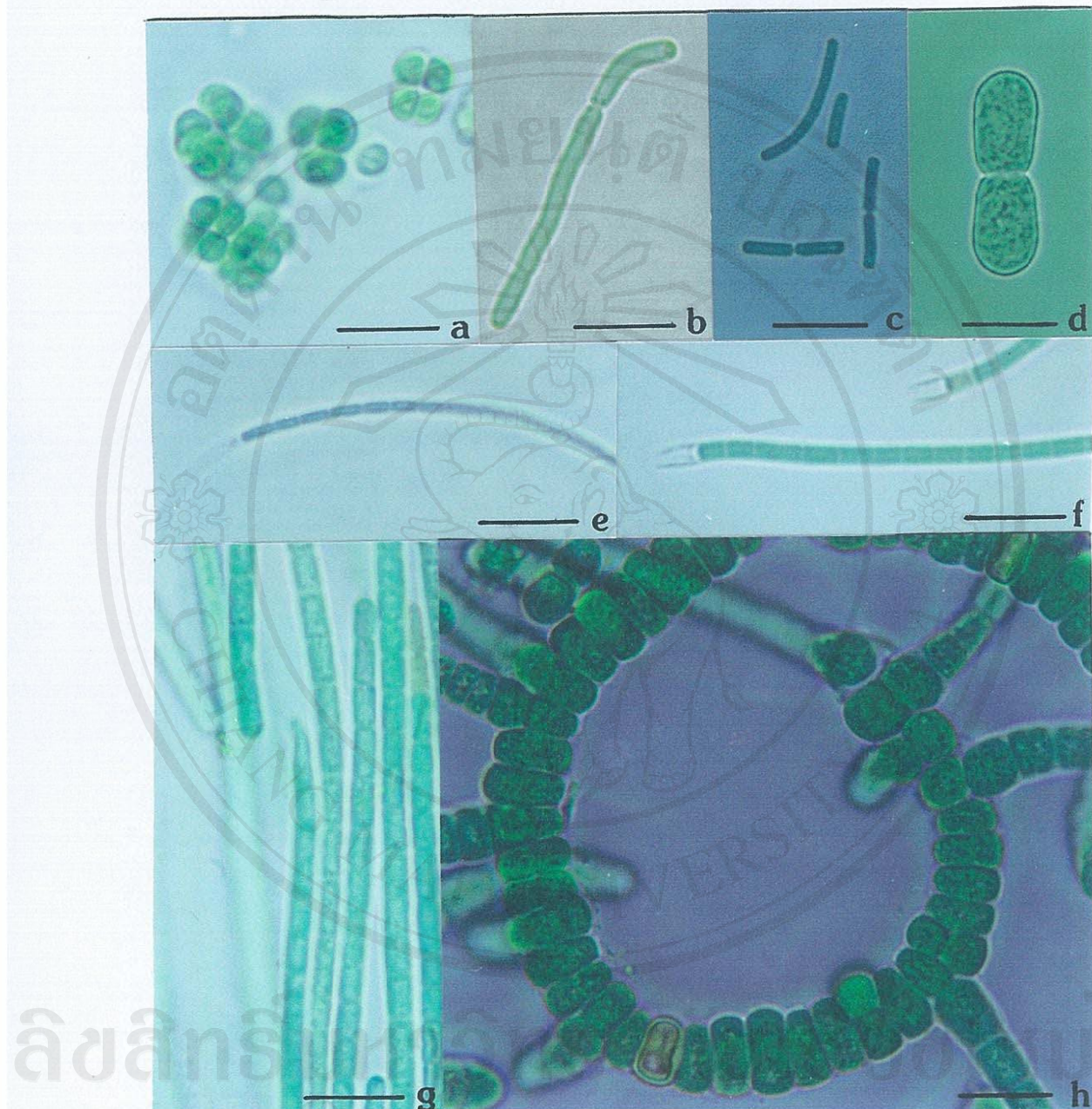
Synechococcus sp. เก็บจากช่วงอุณหภูมิ 60-80 °C และสามารถเจริญได้ที่อุณหภูมิ 30, 45, 55 และ 70 °C จากการเจริญในหลายอุณหภูมิ ทำให้สามารถจัดสาหร่ายสปีชีส์นี้เป็นสาหร่ายที่ทน อุณหภูมิในช่วงกว้าง (30-80 °C)

จากการที่สาหร่ายสีเขียวแกมน้ำเงินทั้ง 8 สปีชีส์ สามารถเจริญได้ในช่วงอุณหภูมิกว้าง ซึ่ง อาจจะเป็นอุณหภูมิที่กรองมากันอย่างแตกต่างกันในแต่ละชนิด จึงจัดสาหร่ายสีเขียวแกมน้ำเงินทั้ง 8 สปีชีส์ เป็นสาหร่ายที่ทนอุณหภูมิในช่วงกว้าง (thermotolerant blue-green algae)

การเก็บรวบรวมสาหร่ายสีเขียวแกมน้ำเงินและแบคทีเรียสังเคราะห์แสงที่บริสุทธิ์ (ภาค 25)

สาหร่ายสีเขียวแกมน้ำเงินที่แยกให้บริสุทธิ์ได้แล้วจะเก็บไว้ในอาหารแข็ง โดยใช้อาหาร เทลวสตร์ BG-11 ในขวดอาหารเยื่อง (agar slant) เช่นไว้ในตู้เย็นเพื่อให้สาหร่ายสามารถมีชีวิตอยู่ได้ นานโดยบุคลากรเจริญเติบโต เนื่องจากการเก็บไว้ในตู้เย็นเพาะเลี้ยงอุณหภูมิสูงจะทำให้สาหร่ายเจริญ เติบโตไปเรื่อย ๆ และดึงเอาสารอาหารจากการเพาะเลี้ยงมาใช้จนหมดทำให้ต้องมีการต่อเชือก อาหารก่อไปสู่อาหารใหม่เร็วกว่าการเก็บไว้ในตู้เย็น ส่วนแบคทีเรียสังเคราะห์แสงจะเก็บในอาหาร แข็งโดยใช้อาหารสูตร PE ในหลอดทดลอง และแช่ไว้ในตู้เย็นเพื่อยกัน

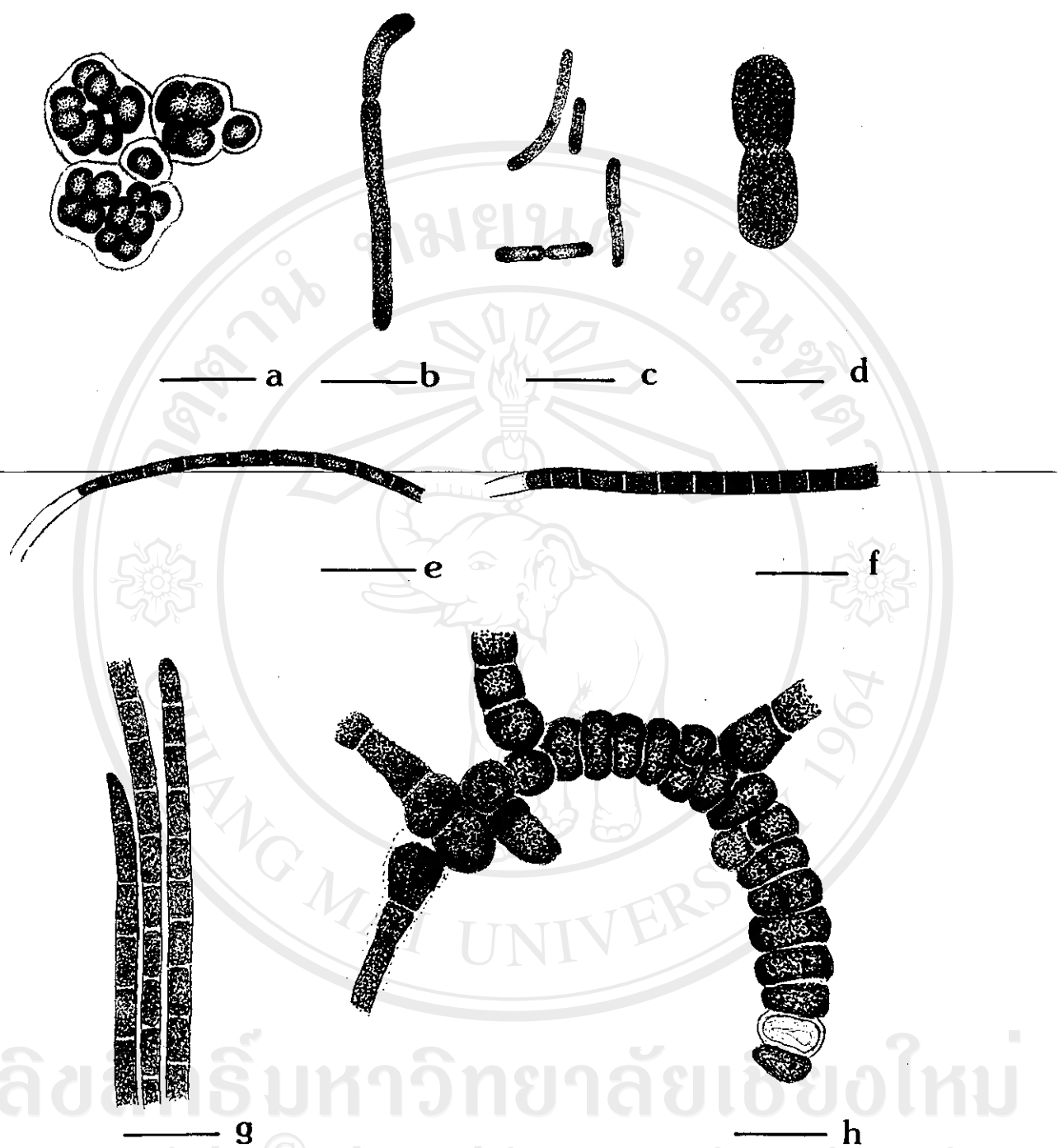
ลิขสิทธิ์มหาวิทยาลัยเชียงใหม่
Copyright © by Chiang Mai University
All rights reserved



Copyright © by Chiang Mai University
All rights reserved
scale 10 μm

ภาพ 23 ก สาหร่ายสีเขียวแกนนำเขินที่แยกเป็นสปอร์ซิสเดี่ยว หรือ axenic culture

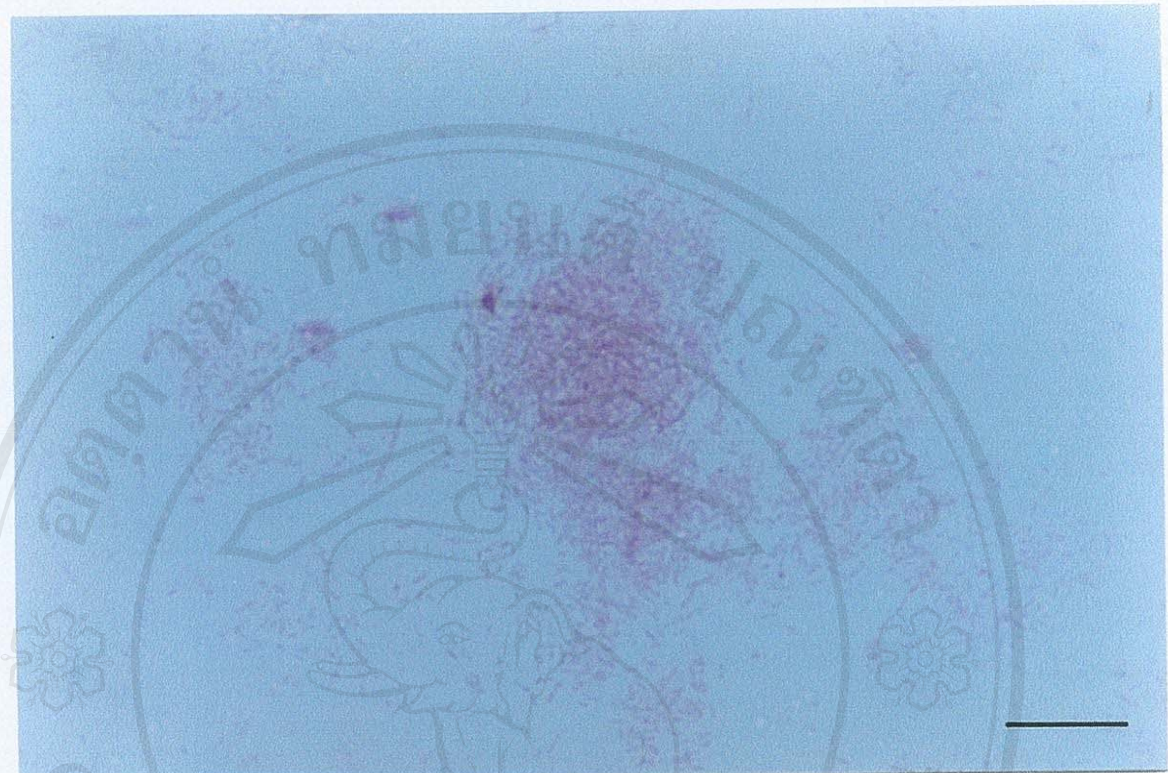
(a-d) Chroococcales; (a) *Chroococcidiopsis thermalis* Geitler (b) *Synechococcus bigranulatus* Skuja (c) *Synechococcus lividus* Copeland (d) *Synechococcus* sp. **(e-g) Oscillatoriales;** (e) *Lyngbya limnetica* Lemmermann (f) *Lyngbya perelegans* Lemmermann (g) *Phormidium* sp. **(h) Stigonematales;** *Mastigocladus laminosus* Cohn



ภาพ 23 ช ภาพวัตถุทางวิทยาลัยเมืองใหม่
Copyright © by Chiang Mai University
All rights reserved

ภาพ 23 ช ภาพวัตถุทางวิทยาลัยเมืองใหม่

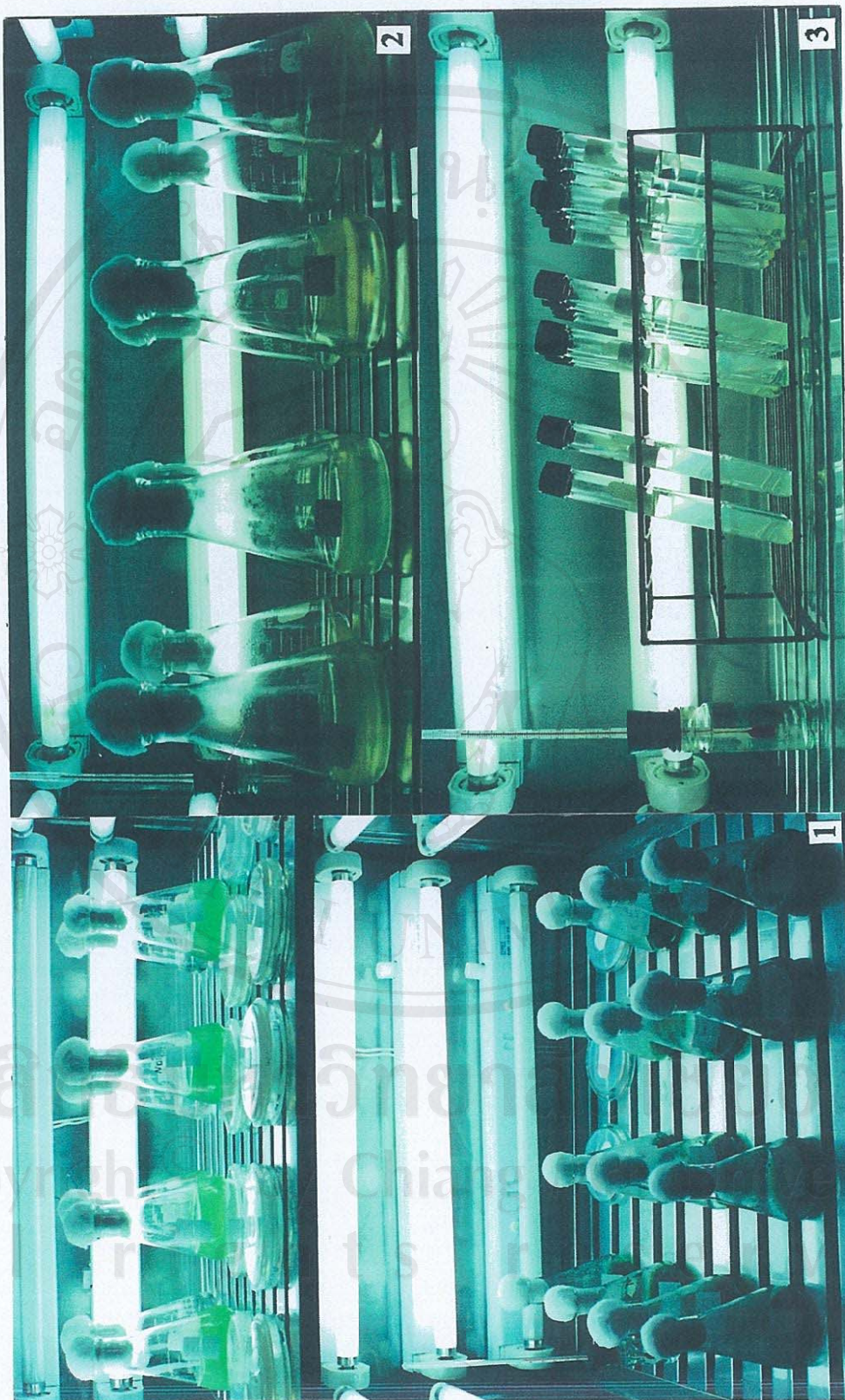
(a-d) **Chroococcales;** (a) *Chroococcidiopsis thermalis* Geitler (b) *Synechococcus bigranulatus* Skuja (c) *Synechococcus lividus* Copeland (d) *Synechococcus* sp. (e-g) **Oscillatoriales;** (e) *Lyngbya limnetica* Lemmermann (f) *Lyngbya perelegans* Lemmermann (g) *Phormidium* sp. (h) **Stigonematales;** *Mastigocladius laminosus* Cohn



scale 10 μm

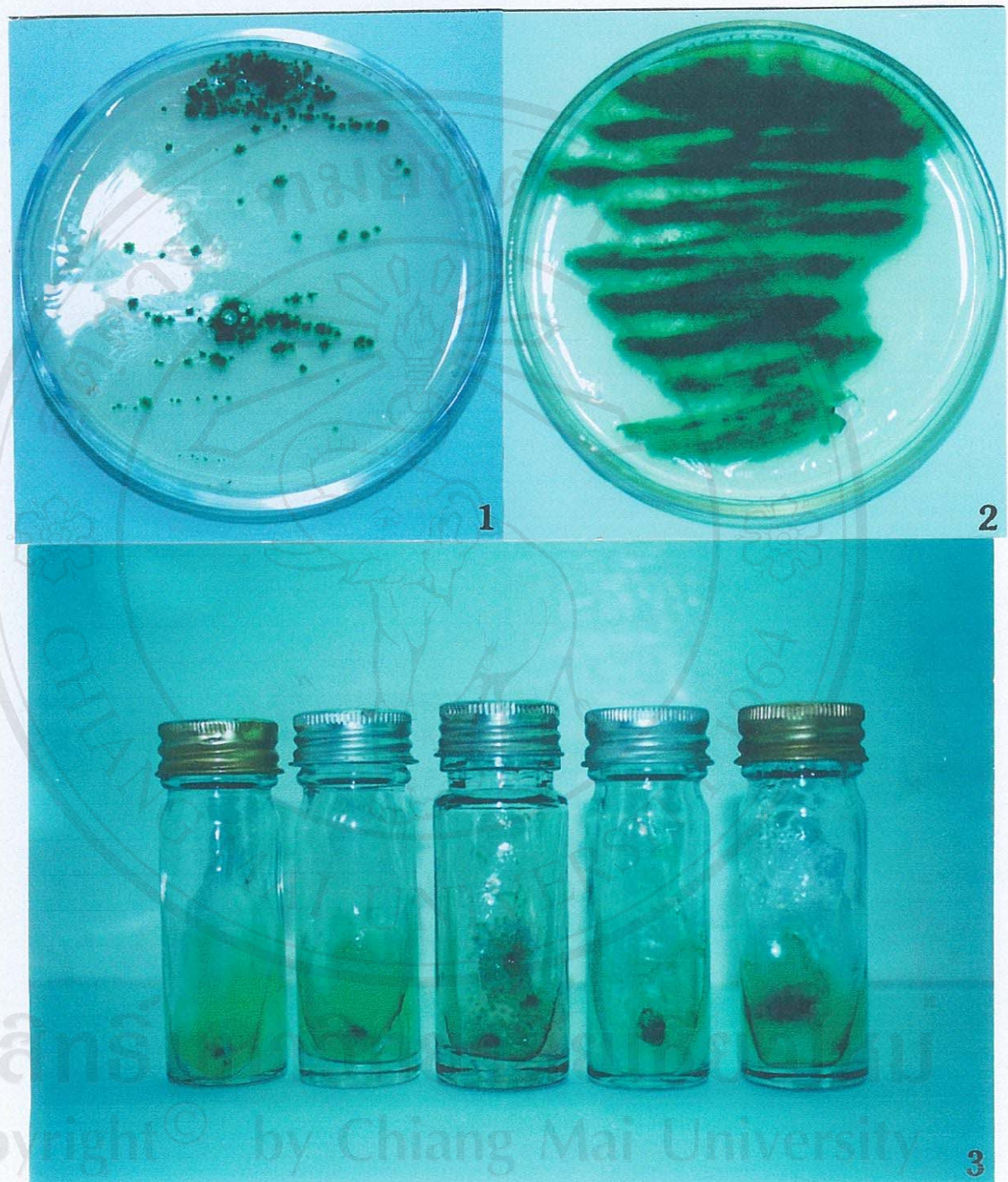
ภาพ 24 แบคทีเรียสังเคราะห์แสงที่แยกได้เป็นชนิดเดียว *Chloroflexus* sp.

จิรศิริมหาวิทยาลัยเชียงใหม่
Copyright[©] by Chiang Mai University
All rights reserved



ภาพ 25 การพานะถериลิซต้าหัวร่ายสีเขียวแกนนำสีเงินและแกนขาวเรียบตั้งเคราช์และถังท่อดูดลมหายใจ ๓

- (1) การพานะถериลิซต้าหัวร่ายสีเขียวแกนนำสีเงินในถังรับอุณหภูมิ ๕๕ °C
- (2) การพานะถериลิซต้าหัวร่ายสีเขียวแกนนำสีเงินในถังรับอุณหภูมิ ๗๐ °C
- (3) การพานะถериลิซเมต์ติเรียดังเคราช์เต้อในถังรับอุณหภูมิ ๗๐ °C



ภาพ 26 การเพาะเลี้ยงสาหร่ายดีจีบีyanagenicaeinในอาหารఆయ్య
 (1 และ 2) การตัดแยกโดยใช้วิธีการ streak plate ในงานอาหารเพาะเลี้ยง
 (3) การเก็บ axenic culture ในอาหารఆయ్య (agar slant) เพื่อเก็บเป็น culture collection

ภาพ 26 การเพาะเลี้ยงสาหร่ายดีจีบีyanagenicaeinในอาหารఆయ్య

(1 และ 2) การตัดแยกโดยใช้วิธีการ streak plate ในงานอาหารเพาะเลี้ยง

(3) การเก็บ axenic culture ในอาหารఆయ్య (agar slant) เพื่อเก็บเป็น culture collection

ตาราง 11 สปีชีส์ของสาหร่ายสีเขียวแกมน้ำเงินที่เก็บจากช่วงอุณหภูมิต่าง ๆ และสามารถเพาะเติบโตได้ในอุณหภูมิที่กำหนด

สาหร่ายสีเขียวแกมน้ำเงิน	ช่วงอุณหภูมิ ($^{\circ}\text{C}$)	อุณหภูมิที่เพาะเติบโตได้ ($^{\circ}\text{C}$)
<i>Chroococcidiopsis thermalis</i> Geitler	60-70	30, 45 และ 55
<i>Lyngbya limnetica</i> Lemmermann	40-50	30 และ 45
<i>Lyngbya perelegans</i> Lemmermann	40-50	30 และ 45
<i>Mastigocladius laminosus</i> Cohn	40-60	30 และ 45
<i>Phormidium</i> sp.	40-50	30 และ 45
<i>Synechococcus bigramulatus</i> Skuja	60-70	30, 45 และ 55
<i>Synechococcus lividus</i> Copeland	50-60	30, 45 และ 55
<i>Synechococcus</i> sp.	60-80	30, 45, 55 และ 70

จัดทำโดย ศ.ดร. วิภาดา ใจดี
 Copyright © by Chiang Mai University
 All rights reserved

บทที่ 5

อภิปรายผลการวิจัย

การแยกสาหร่ายสีเขียวแแกมน้ำเงินและแบคทีเรียสัมเคราะห์แสงให้บริสุทธิ์

จากการคัดแยกสาหร่ายสีเขียวแแกมน้ำเงินที่เก็บจากช่วงอุณหภูมิต่าง ๆ โดยการเพาะเลี้ยงในอาหารสูตร BG-11 สามารถแยกสาหร่ายสีเขียวแแกมน้ำเงินเป็นสปีชีส์เดียว หรือ axenic culture ได้ทั้งหมด 8 สปีชีส์ คือ *Chroococcidiopsis thermalis* Geitler, *Lyngbya limnetica* Lemmermann, *Lyngbya perelegans* Lemmermann, *Mastigocladus laminosus* Cohn, *Phormidium* sp., *Synechococcus bigranulatus* Skuja, *Synechococcus lividus* Copeland และ *Synechococcus* sp. ซึ่งแต่ละสปีชีส์สามารถแยกได้จากอุณหภูมิที่ต่างกันตั้งแต่ 30-70 °C ที่น่าสนใจ คือ สปีชีส์ที่สามารถแยกได้จากอุณหภูมิสูงถึง 70 °C คือ *Synechococcus* sp. ซึ่งนับได้ว่ามีน้อยสปีชีส์ที่มีการเจริญเติบโตในอุณหภูมิสูงมากเช่นนี้ อีกสปีชีส์หนึ่งคือ *Synechococcus lividus* สามารถแยกได้ที่อุณหภูมิ 55 °C ซึ่งสอดคล้องกับงานของวิรชันนี (2534) ที่สามารถแยก *Synechococcus elongatus* จากน้ำพุร้อนที่อุณหภูมิ 55°C เช่นกัน นอกจากนี้วิรชันนียังสามารถแยกสาหร่ายสีเขียวแแกมน้ำเงิน สปีชีส์อื่น ๆ อีก 4 สปีชีส์ จากน้ำพุร้อน ที่อุณหภูมิ 24 และ 32 °C ซึ่งนับว่าใกล้เคียงกับงานวิจัยครั้งนี้ แสดงว่าอุณหภูมิเป็นปัจจัยที่สำคัญในการคัดแยกสาหร่ายและน่าจะเป็นปัจจัยหนึ่งที่สามารถนำมาใช้ในการวนจลัญสปีชีส์ของสาหร่ายจากน้ำพุร้อนได้เช่นเดียวกัน

การที่สามารถแยกสาหร่ายสีเขียวแแกมน้ำเงิน *Synechococcus* sp. จากน้ำพุร้อนอุณหภูมิ 70 °C นับเป็นความสำเร็จที่ดียิ่งของการวิจัยครั้งนี้ เพราะแทนจะไม่มีงานวิจัยที่สามารถแยกสาหร่ายสีเขียวแแกมน้ำเงินได้จากอุณหภูมิสูง ๆ เช่นนี้ แต่เป็นที่น่าเสียดายที่ไม่สามารถวินิจฉัยถึงระดับสปีชีส์ได้ทั้งที่ได้พยายาม แม้จะเป็นการส่งตัวอย่างให้ผู้เชี่ยวชาญชาวต่างประเทศดูแล้วก็ตาม ซึ่งมีความเป็นไปได้ที่อาจจะเป็นสปีชีส์ใหม่ (new species) ซึ่งคงต้องติดตามศึกษาต่อไป การที่แยกได้สาหร่ายสีเขียวแแกมน้ำเงินที่อุณหภูมิเช่นนี้จะเป็นแนวทางให้สามารถนำไปใช้ในงานอุตสาหกรรมที่ในกระบวนการผลิตต้องใช้อุณหภูมิสูง ซึ่งปกติกระบวนการทางด้านอุตสาหกรรมก็ใช้อุณหภูมิสูงอยู่แล้ว จึงนับว่าเป็นทรัพยากรที่มีคุณค่าที่สมควรนำไปใช้ประโยชน์ต่อไป

ส่วนแบคทีเรียสัมเคราะห์แสง จากการคัดแยกโดยการเพาะเลี้ยงด้วยอาหารสูตร PE ที่อุณหภูมิ 70 °C พบว่าสามารถแยกแบคทีเรียสัมเคราะห์แสงได้ 1 สปีชีส์คือ *Chloroflexus* sp. เช่นเดียวกับการศึกษาของ Pierson and Castenholz (1974) ได้ทำการแยกแบคทีเรียสัมเคราะห์แสงจากน้ำพุร้อนแบบ alkaline springs พบว่าสามารถแยก *Chloroflexus aurantiacus* ได้ และ Castenholz (1973) ได้ศึกษาอุณหภูมิในการเจริญของแบคทีเรียสัมเคราะห์แสง พบว่าสามารถเจริญได้ที่อุณหภูมิ

40-65 °C จึงเป็นแนวทางที่สามารถนำไปประยุกต์ใช้ได้กับงานอุตสาหกรรมที่ใช้อุณหภูมิสูง เช่น เดียว กับสาหร่ายสีเขียวแกมน้ำเงิน ดังกล่าวแล้ว

การศึกษาความทนอุณหภูมิในช่วงกว้างของสาหร่ายสีเขียวแกมน้ำเงิน

จากการศึกษาความสามารถในการเจริญของสาหร่ายสีเขียวแกมน้ำเงินที่แยกได้ทั้ง 8 สปีชีส์ โดยการเพาะเลี้ยงด้วยอาหารสูตร BG-11 ที่อุณหภูมิ 30, 45, 55 และ 70 °C พบว่าสาหร่ายสีเขียวแกมน้ำเงินทุกสปีชีส์สามารถเจริญได้ในทุกอุณหภูมิ บางสปีชีส์สามารถเจริญได้ในช่วง อุณหภูมิที่กว้างมาก คือ *Synechococcus* sp. เจริญได้ในช่วงอุณหภูมิตั้งแต่ 30-80 °C บางสปีชีส์ เจริญได้ในช่วงอุณหภูมิที่กว้างไม่มากนัก คือในช่วงอุณหภูมิ 30-50 °C ดังนั้นจึงสามารถจัดสาหร่ายสีเขียวแกมน้ำเงินทั้ง 8 สปีชีส์ เป็นสาหร่ายที่ทนอุณหภูมิในช่วงกว้าง (thermotolerant blue-green algae) ได้ งานวิจัยครั้งนี้ได้ผลเช่นเดียวกับการศึกษาของ Jackson and Castenholz (1975) ซึ่งโดย Brock (1978) ได้ทำการศึกษาการเจริญของสาหร่ายสีเขียวแกมน้ำเงินที่แยกได้จากอุณหภูมิ 45 °C โดยนำมาเพาะเลี้ยงที่อุณหภูมิ 50 และ 55 °C พบว่าสาหร่ายสีเขียวแกมน้ำเงินสามารถเจริญได้ นอก จากนี้ Brock (1978) ได้อ้างถึง Castenholz (1969) ว่าได้ทำการศึกษาความเป็น thermotolerant ของ *Mastigocladus* sp. โดยการเพาะเลี้ยง *Mastigocladus* sp. ที่เก็บจากอุณหภูมิ 60-62 °C ที่อุณหภูมิ 45 และ 62 °C พบว่าสามารถเจริญได้ จากการที่แยกสาหร่ายสีเขียวแกมน้ำเงินได้จากอุณหภูมิต่าง ๆ แล้วนำมาทดสอบคุณสมบัติในการเป็น thermotolerant blue-green algae และพบว่าสาหร่ายทุก สปีชีส์มีคุณสมบัติดังกล่าวซึ่งเป็นผลการวิจัยที่ดีมาก เนื่องจากสาหร่ายที่แยกมาได้ดังกล่าว สามารถนำมาใช้ในกิจกรรมที่ใช้อุณหภูมิต่าง ๆ กันได้เป็นอย่างดี และจากความสามารถในการเจริญของสาหร่ายสีเขียวแกมน้ำเงิน ในหลายอุณหภูมิที่เป็นจุดที่น่าสนใจในการที่จะนำสาหร่ายเหล่านี้ไปศึกษาต่อหรือนำมายังประโยชน์ต่อไปในอนาคต

การกระจายของสาหร่ายตามช่วงอุณหภูมิต่าง ๆ

จากการสำรวจและปริมาณสาหร่ายดังตาราง 1 และภาพ 2 ในช่วงอุณหภูมิต่าง ๆ พบว่า ในช่วงอุณหภูมิ 40-49 °C จะมีจำนวนและสปีชีส์ของสาหร่ายสีเขียวแกมน้ำเงินมากที่สุด รองลงมาคือช่วงอุณหภูมิ 30-39 °C, 50-59 °C, 60-69 °C และ 70-80 °C ตามลำดับ ซึ่งสอดคล้องกับการศึกษาของ Brock (1978) ได้ทำการสำรวจปริมาณของสาหร่ายสีเขียวแกมน้ำเงินในน้ำพื้นที่ อุณหภูมิตั้งแต่ 10-75 °C พบว่าอุณหภูมิตั้งแต่ 10-30 °C จะมีปริมาณของสาหร่ายสีเขียวแกมน้ำเงิน ไม่มากนัก และปริมาณสาหร่ายจะพนมากที่สุดในช่วงอุณหภูมิ 30-39 °C จากนั้นจะเริ่มลดลงจน

กระทั้งอุณหภูมิ $65-72^{\circ}\text{C}$ ปริมาณสาหร่ายสีเขียวแกมน้ำเงินจะพบน้อยที่สุดคือ 1 สปีชีส์ อุณหภูมิจึงเป็นปัจจัยที่กำหนดสปีชีส์และปริมาณของสาหร่ายสีเขียวแกมน้ำเงิน

เมื่อนำข้อมูลจำนวนสปีชีส์ของสาหร่ายในแต่ละช่วงอุณหภูมิในทุกๆ ฤดูกาลมาวิเคราะห์ตามวิธีทางสถิติ พบว่าอุณหภูมิมีความสัมพันธ์เชิงลบกับจำนวนสปีชีส์สาหร่าย โดยพบว่าที่อุณหภูมิเพิ่มขึ้นจำนวนสปีชีส์ของสาหร่ายจะลดลง เป็นการยืนยันผลการทดลองให้มีความน่าเชื่อถือมากขึ้น

จากการศึกษาสปีชีส์และปริมาณของสาหร่าย นอกจากระดับอุณหภูมิจะเป็นตัวกำหนดการกระจายสปีชีส์ของสาหร่ายแล้วลักษณะของ substrate เช่น ดิน ก้อนหิน กรวด เป็นต้น ก็เป็นตัวกำหนดสปีชีส์ของสาหร่ายดังจะเห็นว่าสาหร่ายบางสปีชีส์ เช่น *Calothrix* มีความจำเพาะต่อ substrate เช่นท่อนไม้ ก้อนหิน ซึ่งสาหร่ายเหล่านี้สัมความจำเพาะต่อ substrate แตกต่างกันไป นอกจากนั้นปริมาณออกซิเจนที่ละลายในน้ำ ชัลไฟฟ์ ปริมาณสารอาหาร ได้แก่ SRP, NO₃⁻ และ NH₄⁺ ก็ส่งผลถึงจำนวนสปีชีส์สาหร่ายโดยพบว่าหากปริมาณออกซิเจนที่ละลายในน้ำลดลง จำนวนสปีชีส์ของสาหร่ายก็ลดลงตามไปด้วย ส่วนในเรื่องปริมาณของชัลไฟฟ์นั้นพบว่ามีความสัมพันธ์เชิงลบกับจำนวนสปีชีส์ของสาหร่าย กล่าวคือถ้าปริมาณชัลไฟฟ์มาก จำนวนสปีชีส์ของสาหร่ายจะลดลง และในทางกลับกัน ถ้าปริมาณชัลไฟฟ์ลดลง จำนวนสปีชีส์ของสาหร่ายจะเพิ่มขึ้น

ปัจจัยอื่น ๆ เช่น กระแสน้ำ กระแสน้ำ และปริมาณแสงก็มีผลต่อการกระจายของสาหร่าย ซึ่ง Sperling (1975); Brock (1978); Stevenson *et al.* (1996) กล่าวว่ากระแสน้ำและกระแสน้ำมีผลต่อการเปลี่ยนแปลงระดับอุณหภูมิของน้ำ หากกระแสน้ำแรงและมีความเร็วสูงระดับอุณหภูมิจะเปลี่ยนแปลงได้ง่าย ซึ่งอัตราการเบนตัวของน้ำขึ้นอยู่กับอุณหภูมิของน้ำเริ่มต้น อุณหภูมิอากาศ ความกว้างของลำธารและปริมาณของน้ำ ซึ่งจุดที่ทำให้อุณหภูมิลดลงเกิดตรงบริเวณจุดที่น้ำสัมผัสกับอากาศ ซึ่งถ้าหากมีกระแสน้ำเข้ามาช่วยพัดกีสามารถทำให้น้ำเย็นตัวลงได้ง่าย ซึ่ง Brock (1978) สรุปว่าความเร็วของลมมีความสำคัญกว่าการเปลี่ยนแปลงอุณหภูมิของอากาศ ซึ่งสอดคล้องกับงานวิจัยนี้โดยอุณหภูมิอากาศที่เปลี่ยนแปลงในแต่ละฤดูกาลไม่ค่อยมีผลต่อความหลากหลายของสาหร่าย เนื่องจากปัจจัยอื่น ๆ จะเป็นตัวกำหนดมากกว่าอุณหภูมิของอากาศ ซึ่งปัจจัยที่กล่าวมานี้จะเป็นตัวกำหนดความหลากหลายของสปีชีส์รวมทั้งปริมาณสาหร่าย โดยจะส่งผลให้แต่ละจุดเก็บตัวอย่างมีความหลากหลายทางชีวภาพของสาหร่ายแตกต่างกัน

การจัดจำแนกสปีชีส์ของสาหร่ายน้ำพุร้อน

ในการวิจัยครั้งนี้ ได้ทำการจำแนกสปีชีส์ของสาหร่ายน้ำพุร้อนโดยเฉพาะสาหร่ายสีเขียวแกมน้ำเงินในแนวทางเดิม (classical approaches) โดยทำการพิจารณาจากลักษณะทางสัณฐานวิทยา

วงจรชีวิต การแบ่งเซลล์ ลักษณะที่มองเห็นได้ด้วยตาเปล่า (macroscopical aspects) ซึ่งในบางครั้ง ยังไม่สามารถจำแนกสปีชีส์ของสาหร่ายบางสปีชีส์ได้ซึ่งก็มีวิธีการศึกษาแนวทางใหม่ (modern approaches) ที่บ่งคงทำการศึกษาลักษณะทางสัณฐานวิทยา รวมทั้งมีการศึกษาถึงโครงสร้างละเอียด (fine structure) โดยใช้กล้องจุลทรรศน์แบบส่องผ่าน (transmission electron microscope:TEM) ศึกษาลักษณะทางสรีรวิทยาของเซลล์จากการเพาะเลี้ยง การศึกษาอยู่ชีวโมlemolecular biology โดยใช้ลำดับยีน 16S rRNA ศึกษาสายพันธุกรรม (phylogeny) และศึกษาถึงแผนการการวิวัฒนาต่าง ๆ (Anagnostidis and Komárek, 1985) ซึ่ง Ward *et al.* (1998) ได้ตั้งสมมติฐานโดยใช้เทคนิค culture-independent 16S rRNA เพื่อศึกษาความสัมพันธ์และรูปแบบของกลุ่มสาหร่ายและความหลากหลายของกลุ่มสาหร่ายโดยศึกษาระยะของลำดับยีน 16S rRNA ที่ตรวจพบซึ่งจะเป็นแนวทางที่ดีในการศึกษาความหลากหลายของสาหร่ายในน้ำพุร้อนต่อไปในอนาคต

ลักษณะของน้ำพุร้อน

จากการศึกษาสภาพแหล่งน้ำพุร้อน ตลอดจนการศึกษาคุณสมบัติทางด้านกายภาพและเคมีของแหล่งน้ำ พบว่าแหล่งน้ำทั้ง 9 แหล่งที่ทำการศึกษาเป็นแบบ alkaline springs ตามการจัดจำแนกของ Fogg *et al.* (1973) โดยแบ่งตามสภาพความเป็นกรดค้าง ซึ่งสอดคล้องกับรายงานของกรมทรัพยากรธรรมี (2529); เกียรติศักดิ์และคณะ (2534) ซึ่งได้รายงานว่า น้ำพุร้อนในภาคเหนือมีองค์ประกอบทางเคมีคล้ายคลึงกันมีค่า pH ต่ำข้างสูง (7-9) ค่า total dissolved solids ต่ำ ค่า salinity ต่ำ องค์ประกอบส่วนใหญ่เป็นโซเดียม ($80-160 \text{ mg.l}^{-1}$) และไนโตรเจน ($200-500 \text{ mg.l}^{-1}$) ซึ่งสามารถจำแนกชนิดของน้ำพุร้อนที่ทำการศึกษาเป็น alkaline sodium-bicarbonate water ซึ่งเกิดจาก การละลายหินพวก calcareous sediments เมื่อทำปฏิกิริยาเคมีทำให้น้ำเกิดการเปลี่ยนสภาพเป็น bicarbonate หรืออีกรูปหนึ่งอาจเกิดจากการดูดซึมก๊าซคาร์บอนไดออกไซด์ของน้ำร้อน ทำให้เปลี่ยนสภาพน้ำเป็น bicarbonate ได้เช่นกัน (Davis and De Wiest, 1966) เมื่อเปรียบเทียบกับค่าการนำกระแสไฟฟ้า พบว่ามีความสัมพันธ์กันโดย เกียรติศักดิ์และคณะ (2534) ได้รายงานว่า น้ำพุร้อนในเขตภาคเหนือมีปริมาณของแร่ธาตุบางตัวสูง เช่น โซเดียม โพแทสเซียม แคลเซียม ลิเธียม ฟลูออเรน และซิลิกา ซึ่งสารเหล่านี้หากละลายอยู่ในน้ำมากก็จะทำให้มีค่าการนำไฟฟ้ามากตามไปด้วย เมื่อศึกษาปริมาณชัลไฟฟ์ในน้ำพบว่าที่อุณหภูมิสูงๆ ปริมาณชัลไฟฟ์จะสูงตามไปด้วย เนื่องจากการละลายของแร่ธาตุในหินและการออกซิไดซ์ของจุลินทรีย์พวกไม่ใช้อากาศ (anaerobe) ทำให้ที่อุณหภูมิสูงปริมาณชัลไฟฟ์จะสูงตามไปด้วย เมื่ออุณหภูมิลดลงตามระยะทางของน้ำร้อน ปริมาณของชัลไฟฟ์ลดลง เนื่องจากชัลไฟฟ์เมื่ออุณหภูมิอากาศจะเปลี่ยนไปอยู่ในรูปของชัลเฟตแทนสำหรับค่า DO จากผลการสำรวจพบว่ามีความสัมพันธ์เชิงลบกับอุณหภูมิโดยเมื่ออุณหภูมิสูงขึ้น

ปริมาณ DO จะลดลง ซึ่งสอดคล้องกับ Brock (1978) ได้รายงานว่าปริมาณ DO จะมีค่าลดลงเมื่อ อุณหภูมิเพิ่มสูงขึ้น จากผลการศึกษาน้ำพุร้อนบางแหล่ง เช่นน้ำพุร้อนโปงเดือดพบว่าค่า DO ที่ช่วง อุณหภูมิ 40-49 °C มีค่าสูง (DO เท่ากับ 4.8-5.4 mg.l⁻¹) เมื่อจากสภาพจุดเก็บตัวอย่างเป็นน้ำตก น้ำ ได้สัมผัสกับอากาศทำให้ค่า DO ต่ำลง และในฤดูฝนค่า DO เพิ่มขึ้นจากหน้าแล้งเนื่องจากได้รับ อิทธิพลจากน้ำเย็นที่ไหลมาผสม

ข้อเสนอแนะ

งานวิจัยในครั้งนี้คณะผู้วิจัยมีความพยายามใจในการวิจัยค่อนข้างสูง เพราะสามารถแยก สาหร่ายสีเขียวแกมน้ำเงินที่อุณหภูมิต่าง ๆ ในน้ำพุร้อนหลายแห่งที่ศึกษาได้ถึง 8 สปีชีส์ และ แบนค์ที่เรียกว่าสัมเคราะห์แสงได้ 1 สปีชีส์ ที่ถือว่าเป็นผลสำเร็จอย่างดีคือสารธรรมชาติสีฟ้าชีวิตทั้ง 2 สปีชีส์จากน้ำพุร้อนอุณหภูมิ 70 °C ซึ่งจะพบไม่น้อยนักและนอกจากนั้นทุกสปีชีส์ยังเป็น thermotolerant blue-green algae ซึ่งมีความเหมาะสมในการนำมาใช้ศึกษา bioactive compound ต่าง ๆ, polymer และสารอื่น ๆ อันสามารถนำไปใช้ได้ เป็นอย่างดีในกระบวนการกรองอุตสาหกรรมต่อไป

คณะผู้วิจัยทราบดีจากการวิจัยครั้งนี้ว่า น้ำพุร้อนในประเทศไทยเรามีทรัพยากรที่มีค่าใช้ ไม่ค่าใช้เป็นสาหร่ายสีเขียวแกมน้ำเงิน แบนค์ที่เรียบประเภทต่าง ๆ แต่เราสามารถใช้ประโยชน์ยังน้อยมาก สมควรที่จะมีการศึกษาสิ่งมีชีวิตเหล่านี้ในแหล่งน้ำพุร้อนอื่น ๆ ให้มากขึ้น และไม่จำเป็นต้องจำกัด เฉพาะในภาคเหนือซึ่งรู้กันว่าเป็นแหล่งน้ำพุร้อน แต่ควรกระจายไปยังภาคอื่น ๆ ให้ทั่วประเทศ ซึ่ง เราอาจจะได้ strain ของสิ่งมีชีวิตเหล่านี้ที่ดีและแตกต่างกันไปจากที่พบในภาคเหนืออย่างแน่นอน

จากการวินิจฉัยสาหร่ายสีเขียวแกมน้ำเงิน และแบนค์ที่เรียบสัมเคราะห์แสงที่ศึกษานี้ยังไม่ สำเร็จถึง 100 % ยังมีความคลุมเครืออยู่พอสมควร ถึงแม้จะพยายามแล้วในเอกสารที่มีอยู่หรือการใช้ ผู้เชี่ยวชาญช่วยวินิจฉัยก็ตาม คาดว่าการใช้ลักษณะทางสัณฐานวิทยาที่ทำอยู่อาจจะถึงจุดที่ไม่ สามารถคิดถูกได้แล้ว อาจจะต้องศึกษาทางด้านชีวโมเลกุลของสิ่งมีชีวิตเหล่านี้ต่อไปในอนาคต เพื่อการวินิจฉัยสปีชีส์ ของสิ่งมีชีวิตเหล่านี้อย่างถูกต้อง

สาหร่ายสีเขียวแกมน้ำเงินและแบนค์ที่เรียบสัมเคราะห์แสงที่แยกออกมายield น้ำทรัพยากรน้ำ ไปศึกษาในเบื้องต้นการประยุกต์ใช้ให้เกิดประโยชน์ (application) ต่ออย่างรวดเร็ว เนื่องจากใน ปัจจุบันวิทยาการด้านนี้กำลังรุ่ดหน้าไปอย่างเร็วมากและมีงานตีพิมพ์ (publications) ต่างๆ ออกมามากมาย สามารถเป็นแนวทางในการศึกษาต่อได้ เพื่อที่จะได้รับความรู้และเป็นประโยชน์ต่อ มนุษยชาติทั้งในปัจจุบันและอนาคต ได้อย่างดี

บทที่ 5

สรุปผลการวิจัย

จากการคัดแยกและศึกษาความหลากหลายทางชีวภาพของสาหร่ายสีเขียวแกมน้ำเงินในน้ำพุร้อนบางแหล่งในเขตภาคเหนือตอนบนของประเทศไทย ระหว่างเดือนตุลาคม 2542 ถึงเดือนกันยายน 2543 ใน 9 แหล่ง คือ น้ำพุร้อนสันกำแพง น้ำพุร้อนโปงเดีด น้ำพุร้อนเทพนม น้ำพุร้อนแม่ฟ้าง และโปงน้ำร้อนดอยสะเก็ต จังหวัดเชียงใหม่ น้ำพุร้อนแจ้ซ้อน จังหวัดลำปาง น้ำพุร้อนท่าปาย จังหวัดแม่ฮ่องสอน โปงน้ำร้อนแม่จัน และน้ำพุร้อนห้วยมากเดี๋ยม จังหวัดเชียงราย โดยทำการเก็บตัวอย่างทุก 2 ฤดู คือ ฤดูแล้ง และฤดูฝน ยกเว้นน้ำพุร้อนแม่ฟ้าง และน้ำพุร้อนห้วยมากเดี๋ยม เก็บเฉพาะในฤดูฝน แบ่งฤดูกาลเก็บตัวอย่างในแต่ละแหล่งออกเป็น 5 ช่วงอุณหภูมิ คือ 30-39°C, 40-49°C, 50-59°C, 60-69°C และ 70-80°C

นำตัวอย่างสาหร่ายสีเขียวแกมน้ำเงินเพาะเลี้ยงในอาหาร สูตร BG-11 พบว่าสามารถแยกสาหร่ายสีเขียวแกมน้ำเงินได้ทั้งหมด 8 สถาชีส์ คือ *Chroococcidiopsis thermalis* Geitler, *Lyngbya limnetica* Lemmermann, *Lyngbya perelegans* Lemmermann, *Mastigocladus laminosus* Cohn, *Phormidium* sp., *Synechococcus bigranulatus* Skuja, *Synechococcus lividus* Copeland และ *Synechococcus* sp. และจากการศึกษาความทนอุณหภูมิในช่วงกว้าง โดยการเพาะเลี้ยงที่อุณหภูมิ 30, 45, 55 และ 70°C พบว่าสาหร่ายสีเขียวแกมน้ำเงินทั้ง 8 สถาชีส์ เป็นสาหร่ายที่ทนอุณหภูมิในช่วงกว้าง (thermotolerant blue-green algae)

ส่วนแบนคที่เรียบง่ายที่สุด แสดงจากการคัดแยก โดยการเก็บแบนคที่เรียบง่ายที่สุด แสดงจากน้ำพุร้อนที่อุณหภูมิ 60-80 °C นำมาเพาะเลี้ยงด้วยอาหารสูตร PE ที่อุณหภูมิ 70°C พบว่าสามารถแยกแบนคที่เรียบง่ายที่สุด ได้ 1 สถาชีส์ คือ *Chloroflexus* sp.

จากการศึกษาความหลากหลายทางชีวภาพของสาหร่ายสีเขียวแกมน้ำเงินและแบนคที่เรียบง่ายที่สุดในน้ำพุร้อนดังกล่าวพบสาหร่ายสีเขียวแกมน้ำเงินทั้งหมด 39 สถาชีส์ จัดอยู่ใน 4 orders คือ Chroococcales, Oscillatoriales, Nostocales และ Stigonematales ซึ่งสถาชีส์สาหร่ายสีเขียวแกมน้ำเงินที่พบส่วนใหญ่เป็นสาหร่ายสีเขียวแกมน้ำเงินใน Order Chroococcales สาหร่ายที่เป็น dominant species ของทุกแหล่งน้ำ คือ สาหร่ายสีเขียวแกมน้ำเงิน *Phormidium boryanum* (Bory ex Gom.)-Anagn. Et Kom และ *Synechococcus bigranulatus* *Synechococcus lividus* และ *Synechococcus* sp. ซึ่งพบมากในช่วงอุณหภูมิ 55-57 และ 65-72°C ตามลำดับ

เมื่อทำการศึกษาจำนวนสถาชีส์ของสาหร่ายสีเขียวแกมน้ำเงินตามช่วงระดับอุณหภูมิพบว่า ในช่วงระดับอุณหภูมิ 40-49 °C มีจำนวนสถาชีส์ของสาหร่ายสีเขียวแกมน้ำเงินมากที่สุดคือ 38

สปีชีส์ กิตเป็น 36 เปอร์เซ็นต์ รองลงมาคือช่วง 30-39 °C พน 36 สปีชีส์ กิตเป็น 34 เปอร์เซ็นต์ ช่วง 50-59 °C พบ 23 สปีชีส์ กิตเป็น 22 เปอร์เซ็นต์ ช่วง 60-69 °C พบ 5 สปีชีส์ กิตเป็น 5 เปอร์เซ็นต์ และช่วง 70-80 °C พบ 3 สปีชีส์ กิตเป็น 3 เปอร์เซ็นต์ ตามลำดับ

แหล่งน้ำพุร้อนที่ทำการศึกษาทุกแหล่งแบ่งตามคุณภาพน้ำทางกายภาพและเคมี เป็นแบบ alkaline-bicarbonate spring น้ำพุร้อนเทพนมีความหลากหลายของสารร่ายสีเขียวแกมน้ำเงินมาก ที่สุด โดยพบทั้งหมด 32 สปีชีส์ รองลงมาคือน้ำพุร้อนแข็งช้อน 30 สปีชีส์ น้ำพุร้อนโป๊งเดือด 29 สปีชีส์ น้ำพุร้อนสันกำแพง 28 สปีชีส์ น้ำพุร้อนท่าปาย 26 สปีชีส์ น้ำพุร้อนแม่ฟ้าง 25 สปีชีส์ น้ำพุร้อนหัวขากาลเกี้ยม 23 สปีชีส์ โป๊งน้ำร้อนแม่จัน 20 สปีชีส์ และ โป๊งน้ำร้อนดอยสะเก็ด 19 สปีชีส์ ตามลำดับ เมื่อวิเคราะห์ข้อมูลจำนวนสปีชีส์สาหร่ายที่พบตามช่วงอุณหภูมิและทุกๆ คุณลักษณะของน้ำพุร้อนแต่ละแหล่ง พนว่ามีความสัมพันธ์กันโดยพบว่าอุณหภูมิเป็นตัวกำหนดการกระจายสปีชีส์ สาหร่ายสีเขียวแกมน้ำเงิน นอกจากนี้ปัจจัยทางกายภาพและเคมีบางประการยังมีความสัมพันธ์กับจำนวนสปีชีส์ของสาหร่ายสีเขียวแกมน้ำเงินที่พบ โดยมีความสัมพันธ์เชิงบวกกับปริมาณออกซิเจน ที่ละลายน้ำ และมีความสัมพันธ์เชิงลบกับอุณหภูมิและปริมาณซัลไฟด์ที่พบในน้ำด้วยระดับความเชื่อมั่น 99 เปอร์เซ็นต์

จิรศิริ มหาวิทยาลัยเชียงใหม่
Copyright © by Chiang Mai University
All rights reserved

บรรณานุกรม

กาญจนา ชาญส่งอเวช, สุทธิรักษ์ นิยมฤทธิ์, ศิริเพ็ญ เวชการัณย์. 2532. การวินิจฉัยชนิดของแบคทีเรียสีน้ำเงินแกรมบวก ประเภทที่เจริญ ณ อุณหภูมิสูงในน้ำพื้นทึ่องทางภาคเหนือของประเทศไทย. การประชุมวิชาการวิทยาศาสตร์และเทคโนโลยีแห่งประเทศไทย ครั้งที่ 13. มหาวิทยาลัยเชียงใหม่. เชียงใหม่. โปสเตอร์ B133.

กาญจนา ชาญส่งอเวช, สุทธิรักษ์ นิยมฤทธิ์. 2535. แบคทีเรียสีเขียวแกรมบวกน้ำเงินที่เจริญ ณ อุณหภูมิสูง. วารสารวิทยาศาสตร์, 2, 71 – 75.

กรมทรัพยากรธรรมชาติ. 2529. การสำรวจแหล่งพลังงานความร้อนใต้พิภพทางภาคเหนือของประเทศไทย. รายงานฉบับสมบูรณ์.

เกียรติศักดิ์ พลสองครรน, พลยุทธ ศุขสมิท, เจนศรี จันทร์ศรี, นพพาทิพย์ รุ่งเรืองศรี, ชุดีพร วิมุกตา-นันท์, ประเสริฐ พันธชาติ, สินธุ์ สถาบูล. 2534. การศึกษาสำหรับในภาคเหนือของประเทศไทย : ประโยชน์และการนำไปใช้. รายงานการวิจัยฉบับที่ 93 สถาบันชีวิตวิทยา และสถาบันวิจัยและพัฒนา.

ประวิทย์ พิทักษ์วารี. 2533. นิเวศวิทยาของสาหร่ายบริเวณน้ำพื้นทึ่องน้ำ ป้องช่อง อ. สันกำแพง จ. เชียงใหม่. การค้นคว้าอิสระเชิงวิทยานิพนธ์ วิทยาศาสตร์มหาบัณฑิต (การสอนชีววิทยา), มหาวิทยาลัยเชียงใหม่, เชียงใหม่.

ยุวดี พิรพรพิศาล, ณมากรณ์ นิวасนุตร. 2542. คู่มือปฏิบัติการสาหร่ายวิทยา. พิมพ์ครั้งที่ 4. ภาควิชาชีววิทยา คณะวิทยาศาสตร์ มหาวิทยาลัยเชียงใหม่.

วิรัชนีย์ ภูมิวิทย์. 2534. การศึกษาชนิดและชีววิทยาของสาหร่ายในน้ำพื้นทึ่อง อ. เข้าชัยสน จ. พังงา. ปัญหาพิเศษวิทยาศาสตร์บัณฑิต, มหาวิทยาลัยสงขลานครินทร์, สงขลา.

สารบุรี ไชยมงคล. 2523. จุลินทรีย์ในน้ำพื้นทึ่อง ป้องช่อง ตำบลล่อนหลวง อำเภอสันกำแพง จังหวัดเชียงใหม่. การค้นคว้าอิสระเชิงวิทยานิพนธ์ วิทยาศาสตร์มหาบัณฑิต (การสอนชีววิทยา), มหาวิทยาลัยเชียงใหม่, เชียงใหม่.

Anagnostidis K., Economou-Amilli A., Makris K. 1988. The morphotypes of *Phormidium boryanum* (Bory ex Gom.) Anagn. et Kom. and *Phormidium janthiphorum* (Fior.-Mazz. ex Gom.) Elenk. Arch. Hydrobiol. Suppl., 80(1-4), 71-91.

Anagnostidis K., Komárek J. 1985. Modern approach to the classification system of cyanobacteria 1. Introduction. Arch. Hydrobiol. Suppl., 38/39, 291-302.

Anagnostidis K., Komárek J. 1988. Modern approach to the classification system of cyanobacteria 3. Oscillatoriales. Arch. Hydrobiol. Suppl., 50/53, 327-472.

Anagnostidis K., Komárek J. 1990. Modern approach to the classification system of cyanobacteria 5. Stigonematales. Arch. Hydrobiol. Suppl., 59, 1-73

- APHA, AWWA, WPCF. 1992. Standard methods for the examination of water and wastewater, Washington DC, American Public Health Association.
- Brock T. D. 1966. Principle of microbial ecology. Prentice-Hall, Inc., Englewood Cliffs. New Jersey.
- Brock T.D. 1978. Thermophilic microorganisms and life at high temperatures. Springer-Verlag New York, United States of America.
- Campbell L.L., Pace B. 1968. Physiology of growth at high temperatures. J. appl. Bact., 31, 24 – 35.
- Castenholz R.W. 1973. Ecology of blue - green algae in hot springs. In Carr, N.G., Whitton, B.A. (eds.), The biology of blue - green algae, New York, Blackwell Scientific Publications.
- Compére P., Delmotte A. 1986. Diatoms in two hot springs in Zambia (Central Africa). 9th Diatom symposium, 29 - 39.
- Davis S.N., De Wiest R. J. M. 1966. Hydrogeology. John Wiley & Sons, Inc. New York.
-
- Desikachary T.U. 1959. Cyanophyta, Indian Council of Agricultural Research. New Delhi.
- Fogg G.E., Stewart W.D.P., Fay P., Walsby A.E. 1973. The Blue-green algae. Academic Press-London and New York.
- Hanada S., Hiraishi A., Shimada K., Matsuura K. 1995. *Chloroflexus aggregans* sp.nov. a phototrophic filamentous bacterium which forms dense aggregates by active gliding movement. Int. J. Syst. Bacteriol. 45, 676-681.
- Hayashi N., Peerapornpisal Y., Nishihara H., Ishii M., Igarashi Y., Komada T. 1994. Isolation and cultivation of thermophilic cyanobacteria from hot springs of Northern Thailand. Journal of Fermentation and Bioengineering, 78(2), 179 - 181.
- Holt J.G., Krieg N.R., Sneath P.H.A., Staley J.T., Williams S.T. 1994. Bergey 's manual of determinative bacteriology. Williams & Wilkins, Baltimore, USA. 9, 353-376.
- Huber-Pestalozzi G. 1938. Das Phytoplankton des Süßwassers: Blaualgen, Bakterien,Pilze 1. Teil, E. Schweizerbart, sche Verlags Buch Handlung. Stuttgart.
- Komárek J., Anagnostidis K. 1989. Modern approach to the classification system of cyanobacteria 4. Nostocales. Arch. Hydrobiol. Suppl., 56, 247-345.
- Komarek J., Anagnostidis K. 1999. Cyanoprokaryota : Chroococcales, 1 . Teil, Stuttgart, Gustav Fischer Verlag Jena.
- Kovácik L. 1988. Cell division in simple coccal cyanophytes. Arch. Hydrobiol. Suppl., 80(1-4), 149-190.
- Leghari S.M., Thebo S.N. 1983 . Cyanophyceae of hot spring at Laki Shah Sadar , Sind Pakistan. Sind Univ. Res. Jour. (Sci. Ser.), 15, 147 – 150.
- Lynch J. M., Poole N. J. 1979. Extreme environment: microbial ecology: a Conceptual Approach, Halsted Press, New York.
- Miyake J., Miyake M., Asada Y. 1999. Biotechnological hydrogen production : research for efficient light energy conversion. Journal of Biotechnology, 70, 89-101.
- Odum E.A. 1971. Fundamental of ecology. 3rd. ed. W.B. Saundress Company, Philadelphia.

- Pentecost A. 1995. British thermophilic cyanobacteria. Arch. Hydrobiol. Suppl., 132, 404 – 419.
- Pierson B.K., Castenholz R.W. 1974. A phototrophic gliding filamentous bacterium from hot springs, *Chloroflexus aurantiacus*, gen. And sp. Nov. Archives of Microbiology. 100, 5-24.
- Ramingwong T., Ratanasthien B., Wattananikorn K., Tantisukrit C., Lerdthusnee S., Thanasuthipitak T., Pitragool S. 1980. Geothermal resources of Northern Thailand: San Kampaeng, Fang and Mae Chan geothermal systems. A Final Report of Chiang Mai. Report Department of Geological Sciences and Department of Physics, Faculty of Science, Chiang Mai University.
- Round F. E. 1975. The Biology of the algae. Edward Arnold (Publishers) Ltd.
- Sperling J.A. 1975. Algal ecology of Southern Icelandic hot springs in winter. Ecology, 56(1), 183 – 190.
-
- Staley J.T., Bryant M.P., Pfennig N., Holt J.G. 1989. Bergey 's manual of systematic bacteriology. Williams & Wilkins, Baltimore, USA. 3, 1635-1709.
- Stanier R.Y., Kunisawa R., Mandelk M., Cohen-Bazire G. 1971. Purification and properties of unicellular blue-green algae (Order Chroococcales). Bacteriol. Rev. 35, 171-205.
- Starr M.P., Stolp H., Trüper H.G., Balows A., Schiegel H.G. 1981. The Prokaryotes: A handbook on habitats, Isolation and identification of bacteria. Springer-Verlag, New York, Vol. I.
- Stevenson R.S., Max L.B., Rex L.L. 1996. Algal ecology: freshwater benthic ecosystems. Academic Press, San Diego California.
- Ward D. M., Ferris M. J., Nold S. C., Bateson M. M. 1998. A Natural view of microbial biodiversity within hot spring cyanobacterial mat communities. Microbiology and Molecular Biology Reviews, Vol.62, No. 4, p. 1353-1370.



อิชสิทธิ์มหาวิทยาลัยเชียงใหม่
Copyright © by Chiang Mai University
All rights reserved

ตาราง 12 คุณภาพน้ำทางด้านเคมีทางประการและเพิ่มประสิทธิภาพของน้ำพื้นที่อนตันสำนักงานพัฒนาฯ (SKP) ในช่วงอุณหภูมิ $30 - 80^{\circ}\text{C}$ ในฤดูเดสและฤดูฝน ระหว่างเดือน
ตุลาคม 2542 – กันยายน 2543

ช่วงอุณหภูมิ ($^{\circ}\text{C}$)	pH	Conductivity ($\mu\text{s.cm}^{-1}$)	Alkalinity (mg.l^{-1})	DO (mg.l^{-1})	Sulfide (mg.l^{-1})	SRP (mg.l^{-1})	NO_3^- (mg.l^{-1})	NH_4^+ (mg.l^{-1})	Turbidity (NTU)	
									แม่น	ผ่าน
30 - 39	7.1	8.2	698	605	267	297	-	0.14	0.15	0.31
40 - 49	7.1	8.1	815	607	320	298	0	0.29	0.34	0.17
50 - 59	8.7	8.2	773	667	318	306	0	0.36	0.41	0.25
60 - 69	9.1	8.8	815	704	313	320	0	0.68	0.43	0.22
70 - 80	8.2	7.0	801	698	291	267	0	0.72	1.64	0.13

ตาราง 13 คุณภาพน้ำทางด้านเคมีทางประการและเพิ่มประสิทธิภาพของน้ำพื้นที่อนตันไปร์เจ็ตต์ (PD) ในช่วงอุณหภูมิ $30 - 80^{\circ}\text{C}$ ในฤดูเดสและฤดูฝน ระหว่างเดือน
ตุลาคม 2542 – กันยายน 2543

ช่วงอุณหภูมิ ($^{\circ}\text{C}$)	pH	Conductivity ($\mu\text{s.cm}^{-1}$)	Alkalinity (mg.l^{-1})	DO (mg.l^{-1})	Sulfide (mg.l^{-1})	SRP (mg.l^{-1})	NO_3^- (mg.l^{-1})	NH_4^+ (mg.l^{-1})	Turbidity (NTU)	
									แม่น	ผ่าน
30 - 39	9.0	8.5	480	270	165	105	-	-	0.05	0.18
40 - 49	9.5	8.7	485	280	168	107	5.4	4.8	-	0.1
50 - 59	9.6	9.1	442	345	163	160	0	0	0.15	0.16
60 - 69	9.4	9.3	436	350	164	169	0	0	0.17	0.19
70 - 80	9.4	9.1	439	380	172	171	0	0	0.45	0.31

ตาราง 14 คุณภาพน้ำทางด้านการเกษตรน้ำป่าฯ | ระดับของน้ำพร้อมน้ำพืช (TPN) ในช่วงอุณหภูมิ 30 – 80 °C ในฤดูเดียวกันและเดือนเดียวกัน

ตุลาคม 2542 – กันยายน 2543

ช่วงอุณหภูมิ (°C)	pH	Conductivity ($\mu\text{s.cm}^{-1}$)	Alkalinity (mg.l^{-1})	DO (mg.l^{-1})	Sulfide (mg.l^{-1})	SRP (mg.l^{-1})	NO_3^- (mg.l^{-1})	NH_4^+ (mg.l^{-1})	Turbidity (NTU)									
แม่น	ผุน	แม่น	ผุน	แม่น	ผุน	แม่น	ผุน	ผุน	แม่น									
30 – 39	9.0	6.5	550	194	222	55	5.8	5.9	0	0.04	0.41	0.55	0.5	1.1	0.05	0.64	7.0	97
40 – 49	9.0	8.9	552	500	222	219	5.8	4.0	0	0.04	0.38	0.70	0.5	1.3	0.06	0.05	6.3	1.5
50 – 59	9.0	8.9	533	500	222	218	3.2	2.8	0	0.04	0.50	0.70	0.8	1.5	0.07	0.05	0.4	0.5
60 – 69	8.8	8.9	592	503	235	236	3.8	2.0	0.03	0.04	0.39	0.76	0.6	1.7	0.07	0.05	0.5	0.2
70 – 80	8.8	8.5	532	480	222	219	0	0	0.47	0.07	0.32	0.89	3.5	2.4	0.29	0.16	3.1	0.3

ตาราง 15 คุณภาพน้ำทางด้านการเกษตรน้ำป่าฯ | ระดับของน้ำพร้อมน้ำแม่แห่ง (MF) ในช่วงอุณหภูมิ 30 – 80 °C ในฤดูเดียวกันและเดือนเดียวกัน

ตุลาคม 2542 – กันยายน 2543

ช่วงอุณหภูมิ (°C)	pH	Conductivity ($\mu\text{s.cm}^{-1}$)	Alkalinity (mg.l^{-1})	DO (mg.l^{-1})	Sulfide (mg.l^{-1})	SRP (mg.l^{-1})	NO_3^- (mg.l^{-1})	NH_4^+ (mg.l^{-1})	Turbidity (NTU)									
แม่น	ผุน	แม่น	ผุน	แม่น	ผุน	แม่น	ผุน	ผุน	แม่น									
30 – 39	-	7.0	-	530	-	348	-	-	0.20	-	0.5	-	0.02	-	5.0			
40 – 49	-	7.3	-	530	-	350	-	1.2	0	-	0.20	-	0.7	-	0.65	-	8.0	
50 – 59	-	7.3	-	530	-	346	-	0	-	0.01	-	0.22	-	0.6	-	0.78	-	6.9
60 – 69	-	7.3	-	535	-	355	-	0	-	0.02	-	0.23	-	0.6	-	0.75	-	6.7
70 – 80	-	7.5	-	505	-	410	-	0	-	1.10	-	0.35	-	4.0	-	0.90	-	0.9

ตาราง 16 คุณภาพน้ำทางด้านเคมีทางการชลประทานและค่า pH ในช่วงอุณหภูมิ 30 – 80 °C ในฤดูตื้นและฤดูฝน ระหว่าง
ฤดูกาล 2542 – กันยายน 2543

ช่วงอุณหภูมิ (°C)	pH	Conductivity ($\mu\text{s.cm}^{-1}$)	Alkalinity (mg.l^{-1})	DO (mg.l^{-1})	Sulfide (mg.l^{-1})	SRP (mg.l^{-1})	NO_3^- (mg.l^{-1})	NH_4^+ (mg.l^{-1})	Turbidity (NTU)
แม่น	แม่น	แม่น	แม่น	แม่น	แม่น	แม่น	แม่น	แม่น	แม่น
30 – 39	8.5	7.5	540	527	240	225	1.4	2.2	0
40 – 49	9.0	7.7	543	540	244	250	0	0	0.01
50 – 59	8.9	7.8	530	530	233	250	0	0	0.03
60 – 69	8.5	7.8	540	530	240	244	0	0	0.03
70 - 80	8.5	7.6	541	557	246	258	0	0	0.03

ตาราง 17 คุณภาพน้ำทางด้านเคมีทางการชลประทานและค่า pH ในช่วงอุณหภูมิ 30 – 80 °C ในฤดูตื้นและฤดูฝน ระหว่างเดือนตุลาคม
2542 – กันยายน 2543

ช่วงอุณหภูมิ (°C)	pH	Conductivity ($\mu\text{s.cm}^{-1}$)	Alkalinity (mg.l^{-1})	DO (mg.l^{-1})	Sulfide (mg.l^{-1})	SRP (mg.l^{-1})	NO_3^- (mg.l^{-1})	NH_4^+ (mg.l^{-1})	Turbidity (NTU)
แม่น	แม่น	แม่น	แม่น	แม่น	แม่น	แม่น	แม่น	แม่น	แม่น
30 – 39	7.5	7.1	340	438	201	-	-	0.01	0
40 – 49	7.8	7.6	543	576	245	243	2.2	2.8	0.01
50 – 59	7.8	7.6	510	557	260	251	0	0	0.02
60 – 69	7.8	7.4	517	545	250	245	0	0	0.82
70 - 80	7.7	7.6	523	580	255	262	0	0	1.46

ช่วงอุณหภูมิ (°C)	pH		Conductivity ($\mu\text{s.cm}^{-1}$)	Alkalinity (mg.l^{-1})	DO (mg.l^{-1})	Sulfide (mg.l^{-1})	SRP (mg.l^{-1})	NO_3^- (mg.l^{-1})	NH_4^+ (mg.l^{-1})	Turbidity (NTU)
	แม่สั่ง	ผ่าน	แม่สั่ง	ผ่าน	แม่สั่ง	ผ่าน	แม่สั่ง	ผ่าน	แม่สั่ง	ผ่าน
30 – 39	8.3	8.7	285	309	125	108	-	5.2	0	0.01
40 – 49	8.5	8.4	330	365	140	141	1.4	5.0	0.01	0.05
50 – 59	8.7	8.7	335	330	138	140	0	0	0.05	0.30
60 – 69	8.8	8.7	340	315	140	139	0	0	0.07	0.35
70 - 80	8.8	8.8	337	314	139	140	0	0	0.08	0.36

ตาราง 19 คุณภาพน้ำทางด้านเคมีบำบัดและการอนามัย (MI) ในช่วงอุณหภูมิ 30 – 80 °C ในครุเติ้ลและถุง ระหว่างเดือนตุลาคม 2542 – กันยายน 2543

ช่วงอุณหภูมิ (°C)	pH		Conductivity ($\mu\text{s.cm}^{-1}$)	Alkalinity (mg.l^{-1})	DO (mg.l^{-1})	Sulfide (mg.l^{-1})	SRP (mg.l^{-1})	NO_3^- (mg.l^{-1})	NH_4^+ (mg.l^{-1})	Turbidity (NTU)
	แม่สั่ง	ผ่าน	แม่สั่ง	ผ่าน	แม่สั่ง	ผ่าน	แม่สั่ง	ผ่าน	แม่สั่ง	ผ่าน
30 – 39	8.5	8.1	610	600	195	158	-	0.01	0	0.17
40 – 49	8.8	8.4	625	620	205	220	0.6	1.2	0.12	0.01
50 – 59	8.7	8.5	630	615	202	215	0	0	0.20	0.07
60 – 69	8.7	8.6	620	610	201	217	0	0	0.25	0.09
70 - 80	8.7	8.4	630	610	212	208	0	0	0.81	0.18

ตาราง 20 คุณภาพน้ำทางด้านคุณภาพและ特征ของน้ำพื้นที่บ่อบริโภคและการอนามัยตามเกณฑ์มาตรฐานห้องปฏิบัติการ (HMI) ในช่วงฤดูหนาว 30–70 °C ในช่วงฤดูร้อนและฤดูฝน ระหว่างเดือนตุลาคม 2542 – กันยายน 2543

ช่วงอุณหภูมิ (°C)	pH	Conductivity ($\mu\text{s.cm}^{-1}$)	Alkalinity (mg.l^{-1})	DO (mg.l^{-1})	Sulfide (mg.l^{-1})	SRP (mg.l^{-1})	NO_3^- (mg.l^{-1})	NH_4^+ (mg.l^{-1})	Turbidity (NTU)
	แม่น	ผ่าน	แม่น	ผ่าน	แม่น	ผ่าน	แม่น	ผ่าน	แม่น
30 – 39	-	8.3	-	450	-	154	-	0	-
40 – 49	-	8.5	-	460	-	160	-	5.2	-
50 – 59	-	8.5	-	460	-	161	-	3.2	-
60 – 70	-	8.4	-	460	-	161	-	1.3	-

ตาราง 21 การวิเคราะห์ข้อมูลสเปซีฟิคส์ทางร่างกายตามระดับช่วงอุณหภูมิ เปรียบเทียบกับฤดูกาล โดยใช้ nonparametric statistic โดยใช้เปรียบเทียบแบบ kruskal wallis test

Kruskal-Wallis Test

Test Statistics^{a,b}

	DRYSKP	WETSKP	DRYPD	WETPD	DRYTPN	WETTPN	WETMP
Chi-Square	10.354	10.469	12.739	14.192	14.642	13.670	10.971
df	4	4	4	4	4	4	4
Asymp. Sig.	.035	.033	.013	.007	.006	.008	.027

Test Statistics^{a,b}

	WETHML	DRYDSK	WETDSK	DRYJS	WETJS	DRYTP	WETTP
Chi-Square	9.161	7.209	9.803	11.898	11.176	11.710	12.128
df	3	4	4	4	4	4	4
Asymp. Sig.	.027	.125	.044	.018	.025	.020	.016

Test Statistics^{a,b}

	DRYMJ	WETMJ
Chi-Square	9.840	7.071
df	4	4
Asymp. Sig.	.043	.132

a. Kruskal Wallis Test

b. Grouping Variable: Water Temperatures

Median Test

จัดทำโดย ภาควิชาสถิติ
Copyright[©] by Chiang Mai University
All rights reserved

ตาราง 22 การวิเคราะห์ข้อมูลสถิติสัมภารายตามระดับช่วงอุณหภูมิ เปรียบเทียบกับฤดูกาล โดยใช้ nonparametric statistic โดยใช้เปรียบเทียบแบบ mann-witney test

Mann-Whitney Test

Test Statistics^b

	SKP30	SKP40	SKP50	SKP60	SKP70	PD30	PD40
Mann-Whitney U	20.500	14.000	14.500	3.500	2.000	6.500	4.500
Wilcoxon W	48.500	42.000	35.500	9.500	5.000	21.500	25.500
Z	-.072	-1.003	-.565	-.471	.000	-1.261	-1.921
Asymp. Sig. (2-tailed)	.943	.316	.572	.637	1.000	.207	.055
Exact Sig. [2*(1-tailed Sig.)]	.945 ^a	.366 ^a	.589 ^a	.700 ^a	1.000 ^a	.222 ^a	.052 ^a

	PD50	PD60	PD70	TPN30	TPN40	TPN50	TPN60
Mann-Whitney U	4.500	2.000	3.000	13.500	3.500	10.500	4.500
Wilcoxon W	19.500	8.000	9.000	28.500	24.500	25.500	10.500
Z	-1.697	-.609	-.745	-.276	-2.124	-.427	.000
Asymp. Sig. (2-tailed)	.090	.543	.456	.783	.034	.669	1.000
Exact Sig. [2*(1-tailed Sig.)]	.095 ^a	.800 ^a	.700 ^a	.792 ^a	.030 ^a	.690 ^a	1.000 ^a

	TPN70	DSK30	DSK40	DSK50	DSK60	DSK70	JS30
Mann-Whitney U	2.000	6.000	4.500	2.000	.500	1.000	4.500
Wilcoxon W	5.000	16.000	14.500	8.000	3.500	4.000	14.500
Z	-.609	-.584	-1.023	-.1124	-1.225	-1.000	-1.029
Asymp. Sig. (2-tailed)	.543	.559	.306	.261	.221	.317	.304
Exact Sig. [2*(1-tailed Sig.)]	.800 ^a	.686 ^a	.343 ^a	.400 ^a	.333 ^a	.667 ^a	.343 ^a

	JS40	JS50	JS60	JS70	TP30	TP40	TP50
Mann-Whitney U	9.500	5.000	3.500	2.000	3.500	9.000	6.500
Wilcoxon W	19.500	15.000	9.500	5.000	13.500	19.000	16.500
Z	-.125	-.877	-.471	.000	-1.340	-.247	-.436
Asymp. Sig. (2-tailed)	.900	.381	.637	1.000	.180	.805	.663
Exact Sig. [2*(1-tailed Sig.)]	.905 ^a	.486 ^a	.700 ^a	1.000 ^a	.200 ^a	.905 ^a	.686 ^a

	TP60	TP70	MJ30	MJ40	MJ50	MJ60	MJ70
Mann-Whitney U	2.000	3.000	5.500	6.000	4.000	1.000	1.500
Wilcoxon W	8.000	9.000	15.500	16.000	10.000	4.000	4.500
Z	-1.291	.000	-1.126	-.988	-.720	-1.000	-.408
Asymp. Sig. (2-tailed)	.197	1.000	.260	.323	.471	.317	.683
Exact Sig. [2*(1-tailed Sig.)]	.400 ^a	1.000 ^a	.286 ^a	.413 ^a	.629 ^a	.667 ^a	.667 ^a

a. Not corrected for ties.

b. Grouping Variable: Season of sampling

ตาราง 23 การวิเคราะห์ข้อมูลสเปซีฟิคส์สาหร่ายตามระดับช่วงอุณหภูมิ เปรียบเทียบกับฤดูกาลโดยหาความสัมพันธ์แบบ correlations

Correlations

Correlations

		Water Temperatures	DRYSKP	WETSKP
Water Temperatures		Pearson Correlation	1.000	-.553**
		Sig. (2-tailed)		.006
		N	26	23
DRYSKP		Pearson Correlation	-.553**	1.000
		Sig. (2-tailed)	.006	
		N	23	23
WETSKP		Pearson Correlation	-.587**	.617*
		Sig. (2-tailed)	.002	.002
		N	25	23

**. Correlation is significant at the 0.01 level (2-tailed).

		Water Temperatures	DRYPD	WETPD
Water Temperatures		Pearson Correlation	1.000	-.725**
		Sig. (2-tailed)		.000
		N	26	20
DRYPD		Pearson Correlation	-.725**	1.000
		Sig. (2-tailed)	.000	
		N	20	20
WETPD		Pearson Correlation	-.619**	.468*
		Sig. (2-tailed)	.002	.037
		N	22	20

**. Correlation is significant at the 0.01 level (2-tailed).

*. Correlation is significant at the 0.05 level (2-tailed).

		Water Temperatures	DRYTPN	WETTPN
Water Temperatures		Pearson Correlation	1.000	-.668**
		Sig. (2-tailed)		.001
		N	26	20
DRYTPN		Pearson Correlation	-.668**	1.000
		Sig. (2-tailed)	.001	
		N	20	20
WETTPN		Pearson Correlation	-.661**	.445*
		Sig. (2-tailed)	.001	.050
		N	23	20

**. Correlation is significant at the 0.01 level (2-tailed).

*. Correlation is significant at the 0.05 level (2-tailed).

Correlations

		Water Temperatures	DRYDSK	WETDSK
Water Temperatures	Pearson Correlation	1.000	-.542*	-.787**
	Sig. (2-tailed)	.	.037	.001
	N	26	15	15
DRYDSK	Pearson Correlation	-.542*	1.000	.635*
	Sig. (2-tailed)	.037	.	.011
	N	15	15	15
WETDSK	Pearson Correlation	-.787**	.635*	1.000
	Sig. (2-tailed)	.001	.011	.
	N	15	15	15

*. Correlation is significant at the 0.05 level (2-tailed).

**. Correlation is significant at the 0.01 level (2-tailed).

		Water Temperatures	DRYJS	WETJS
Water Temperatures	Pearson Correlation	1.000	-.722**	-.838**
	Sig. (2-tailed)	.	.001	.000
	N	26	18	17
DRYJS	Pearson Correlation	-.722**	1.000	.765*
	Sig. (2-tailed)	.001	.	.000
	N	18	18	17
WETJS	Pearson Correlation	-.838**	.765**	1.000
	Sig. (2-tailed)	.000	.000	.
	N	17	17	17

**. Correlation is significant at the 0.01 level (2-tailed).

		Water Temperatures	DRYTP	WETTP
Water Temperatures	Pearson Correlation	1.000	-.658**	-.850**
	Sig. (2-tailed)	.	.003	.000
	N	26	18	18
DRYTP	Pearson Correlation	-.658**	1.000	.602*
	Sig. (2-tailed)	.003	.	.011
	N	18	18	17
WETTP	Pearson Correlation	-.850**	.602*	1.000
	Sig. (2-tailed)	.000	.011	.
	N	18	17	18

**. Correlation is significant at the 0.01 level (2-tailed).

*. Correlation is significant at the 0.05 level (2-tailed).

		Water Temperatures	DRYMJ	WETMJ
Water Temperatures	Pearson Correlation	1.000	-.701**	-.709**
	Sig. (2-tailed)	.	.001	.003
	N	26	18	15
DRYMJ	Pearson Correlation	-.701**	1.000	.500
	Sig. (2-tailed)	.001	.	.058
	N	18	18	15
WETMJ	Pearson Correlation	-.709**	.500	1.000
	Sig. (2-tailed)	.003	.058	.
	N	15	15	15

**. Correlation is significant at the 0.01 level (2-tailed).

ตาราง 24 การวิเคราะห์ปัจจัยที่มีผลต่อพื้นที่ต้นทางริบบาร์บี ปริมาณเพิ่มน้ำในชั้นทางภายนอก และค่าสัมประสิทธิ์ทางความสัมพันธ์แบบ correlations analysis

Correlations											
	number of algae types	water temperature	water pH	conductivity	alkalinity	DO	SULFIDE	SRP	NO ₃ ⁻	NH ₃	turbidity
number of algae types	Pearson Correlation	1.000	-.634**	.083	.010	-.065	.460**	-.302**	-.229**	-.305**	-.319**
	Sig. (2-tailed)		.000	.155	.868	.266	.000	.000	.000	.000	.049
	N	297	297	295	295	295	246	275	295	295	295
water temperature	Pearson Correlation		1.000	.227**	.122*	.162**	-.584**	.478**	.242**	.418**	.435**
	Sig. (2-tailed)		.000	.000	.036	.005	.000	.000	.000	.000	.281**
	N	297	297	295	295	295	246	275	295	295	295
water pH	Pearson Correlation		.083	.227**	1.000	-.114*	-.338**	.076	.058	.067	.091
	Sig. (2-tailed)		.155	.000	.050	.000	.234	.335	.256	.121	.358**
	N	295	295	295	295	295	246	275	295	295	295
conductivity	Pearson Correlation		.010	.122*	-.114*	1.000	.777**	-.351**	.345**	.115*	.368**
	Sig. (2-tailed)		.868	.036	.050	.000	.000	.000	.048	.000	.002
	N	295	295	295	295	295	246	275	295	295	295
alkalinity	Pearson Correlation		.065	.162*	-.338**	.777**	1.000	-.438**	.288**	.149*	.196*
	Sig. (2-tailed)		.266	.005	.000	.000	.000	.000	.010	.001	.287**
	N	295	295	295	295	295	246	275	295	295	295
DO	Pearson Correlation		.460**	-.584**	.076	-.351**	-.438**	1.000	-.313**	.011	-.270**
	Sig. (2-tailed)		.000	.000	.234	.000	.000	.000	.860	.000	.284**
	N	246	246	246	246	246	246	246	246	246	246
SULFIDE	Pearson Correlation		.302**	.475*	-.058	.345**	.288**	-.313**	1.000	.023	.582**
	Sig. (2-tailed)		.000	.000	.335	.000	.000	.000	.703	.000	.572**
	N	275	275	275	275	275	231	275	275	275	275
SRP	Pearson Correlation		.229**	.242**	.067	-.115*	-.149*	.011	-.023	1.000	-.089
	Sig. (2-tailed)		.000	.000	.255	.048	.010	.860	.703	.000	.131*
	N	295	295	295	295	295	246	275	295	295	295
NO ₃ ⁻	Pearson Correlation		-.303**	.418**	.091	.368**	.196**	-.210**	.562**	.019	1.000
	Sig. (2-tailed)		.000	.000	.121	.000	.001	.000	.000	.127	.000
	N	295	295	295	295	295	246	275	295	295	295
NH ₃	Pearson Correlation		.319**	.435**	-.358**	.178**	.287**	-.284*	.572**	.131*	.484**
	Sig. (2-tailed)		.000	.000	.000	.002	.000	.000	.000	.023	.000
	N	295	295	295	295	295	246	275	295	295	295
turbidity	Pearson Correlation		.115*	-.281**	.000	-.180**	-.488**	.459**	-.095	.006	-.116*
	Sig. (2-tailed)		.049	.049	.000	.002	.000	.000	.116	.047	.832
	N	295	295	295	295	295	246	275	295	295	295

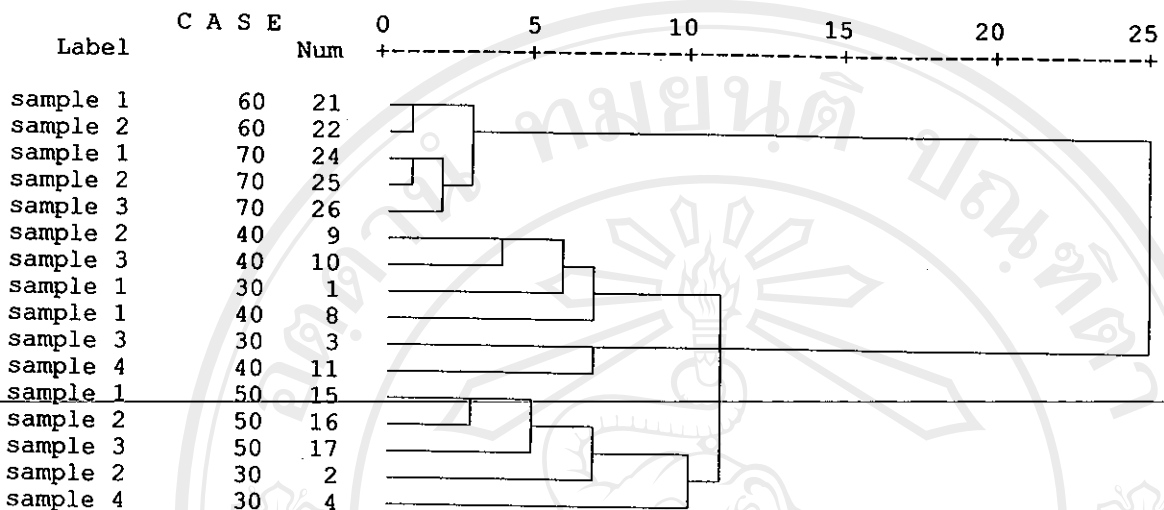
** Correlation is significant at the 0.01 level (2-tailed).

* Correlation is significant at the 0.05 level (2-tailed).

* * * * * H I E R A R C H I C A L C L U S T E R A N A L Y S I S * * *

Dendrogram using Average Linkage (Between Groups)

Rescaled Distance Cluster Combine



ภาพ 27 การวิเคราะห์ข้อมูลสปีชีส์สาหร่ายตามระดับช่วงอุณหภูมิ เปรียบเทียบกับถูกากลโดยใช้วิธีการเปรียบเทียบแบบ cluster analysis

จัดทำโดย ศ.ดร. นพดล ธรรมรงค์
ภาควิชาเคมี คณะวิทยาศาสตร์ มหาวิทยาลัยเชียงใหม่
Copyright © by Chiang Mai University
All rights reserved



อิชสิทธิ์มหาวิทยาลัยเชียงใหม่
Copyright © by Chiang Mai University
All rights reserved

1. การวิเคราะห์ปริมาณสารอาหาร

1.1 การวิเคราะห์ปริมาณแอมโมเนียมในต่อเจน

1. กรองน้ำตัวอย่างด้วยกรรดาย GF/C แล้วตวงน้ำตัวอย่างปริมาตร 25 ml ใส่ cuvette 1 อัน และตวงน้ำ deionized ปริมาตร 25 ml ใส่ใน cuvette อีก 1 อัน

2. เปิดเครื่อง Spectrophotometer DR/2000 หลังจากเครื่องมือผ่านขั้นตอน SELF-TEST แล้วเครื่องมีจะแสดง Method ให้กด 380 READ/ENTER เครื่องมีจะแสดงความยาวคลื่น 425 nm ให้หมุนปุ่มปรับความยาวคลื่นให้ได้ 425 nm จากนั้นกด READ/ENTER เครื่องมีจะแสดง mg/l NH₃Ness

3. ใส่ Mineral Stabilizer ลงไว้ใน cuvette 3 หยด เที่ยงเป็นๆ เพื่อให้สารเคมีผสมกันหลังจากนั้นใส่ Polyvinyl Alcohol Dispersing Agent 3 หยด เที่ยงเป็นๆ เพื่อให้สารเคมีผสมกันแล้วตวง Nessler Reagent 1 ml ลงใน cuvette ทั้งสองอันเท่าๆ ให้ผสมกัน กด SHIFT TIMER เมื่อครบ 1นาที เครื่องมีจะส่งเสียงเตือน

4. เปิดฝาเครื่องมือใส่ cuvette ที่เป็นน้ำ deionized ลงไว้ในช่องวัดแสง ปิดฝาเครื่องมือให้สนิทแล้วกด ZERO เครื่องมีจะแสดง WAIT และ 0.00 mg/l NH₃Ness. ให้เปลี่ยน cuvette น้ำตัวอย่างเข้าไป กด READ/ENTER เครื่องมีจะแสดง WAIT และบอกปริมาณแอมโมเนียม ในต่อเจน ซึ่งเครื่องมีอน้ำสามารถวัดปริมาณแอมโมเนียม ในต่อเจนได้ในช่วง 0.00-2.50 mg/l NH₃N

1.2 การวิเคราะห์ปริมาณไนโตรเจนในต่อเจน

1. กรองน้ำตัวอย่างด้วยกรรดาย GF/C แล้วตวงน้ำตัวอย่างปริมาตร 25 ml ใส่ cuvette 2 อัน อันแรกใส่ NitraVer 5 Nitrate Powder Pillow อีกอันหนึ่งเอาไว้เบริญเทียบไม่ต้องเติมสารใดๆ

2. เปิดเครื่อง Spectrophotometer DR/2000 หลังจากเครื่องมือผ่านขั้นตอน SELF-TEST แล้วเครื่องมีจะแสดง Method ให้กด 355 READ/ENTER เครื่องมีจะแสดงความยาวคลื่น 500 nm ให้หมุนปุ่มปรับความยาวคลื่นให้ได้ 500 nm จากนั้นกด READ/ENTER เครื่องมีจะแสดง mg/l N NO₃H

3. ใส่ NitraVer 5 Nitrate Powder Pillow ลงใน cuvette นำตัวอย่างที่เตรียมไว้กด SHIFT TIMER แล้วเที่ยว cuvette เมื่อครบ 1 นาที เครื่องมีจะส่งเสียงเตือนให้หยุดเที่ยว กด SHIFT TIMER อีกครั้งและตึง cuvette ทิ้งไว้เมื่อครบ 5 นาที เครื่องมีจะส่งเสียงเตือนอีกครั้ง และจะแสดง mg/l N NO₃H

4. เปิดฝาเครื่องมือใส่ cuvette ที่ไม่ได้เติมสารใด ๆ ลงในช่องวัดแสง ปิดฝาเครื่องมือให้สนิท แล้วกด ZERO เครื่องมือแสดง WAIT และ 0.00 mg/l N NO₃⁻ H ให้เปลี่ยน cuvette ที่ใส่ NitraVer 5 Nitrate power Pillow เข้าไปกด READ/ENTER เครื่องมือแสดง WAIT และบอกปริมาณในตกรท ได้ในช่วง 0.00-3.00 NitraVer 5 Nitrate powder Pillow

1.3 การวิเคราะห์ปริมาณ Soluble reactive phosphorus (SRP)

1. ก่อนทำการวิเคราะห์ปริมาณ SRP ทุกรั้ง ควรถ่างเครื่องแก้วที่จะใช้ด้วย HCL 10 % กรองน้ำตัวอย่างด้วยกระดาษกรอง GF/C แล้วตวงน้ำตัวอย่างปริมาตร 25 ml ใส่ cuvette 2 อัน อันแรกสำหรับใส่ PhosVer 3 Phosphate Reagent Powder Pillow อีกอันหนึ่งเอาไว้เปรียบเทียบไม่ต้องเติมสารใดๆ

2. เปิดเครื่อง Spectrophotometer DR/2000 หลังจากเครื่องมือผ่านขั้นตอน SELF-TEST แล้ว เครื่องมือจะแสดง Method ให้กด 490 READ/ENTER เครื่องมือจะแสดงความยาวคลื่น 890 nm ให้หมุนปุ่มปรับความยาวคลื่นให้ได้ 890 nm จากนั้นกด READ/ENTER เครื่องมือจะแสดง mg/l N PO₄³⁻ PV หรือ mg/l P PV

3. ใส่ PhosVer 3 Phosphate Reagent Powder Pillow ลงใน cuvette น้ำตัวอย่างที่เตรียมไว้ กด SHIFT TIMER แล้วเขย่า cuvette เมื่อครบ 1 นาที เครื่องมือจะส่งเสียงเตือน

4. เปิดฝาเครื่องมือใส่ cuvette ที่ไม่ได้เติมสารเคมีใด ๆ ลงในช่องวัดแสง ปิดฝาเครื่องมือให้สนิท กด ZERO เครื่องมือจะแสดง WAIT และ 0.00 mg/l N PO₄³⁻ PV หรือ mg/l P PV ให้เปลี่ยน cuvette ที่ใส่ PhosVer 3 Phosphate Reagent Powder Pillow เข้าไป แล้วกด READ/ENTER เครื่องมือจะแสดง WAIT และบอกปริมาณ SRP ได้ในช่วง 0.00-2.50 mg/l N PO₄³⁻

การวิเคราะห์ปริมาณซัลไฟด์

1. กรองน้ำตัวอย่างด้วยกระดาษ GF/C แล้วตวงน้ำตัวอย่างปริมาตร 25 ml ใส่ cuvette 1 อัน และตวงน้ำ deionized ปริมาตร 25 ml ใส่ใน cuvette อีก 1 อัน

2. เปิดเครื่อง Spectrophotometer DR/2000 หลังจากเครื่องมือผ่านขั้นตอน SELF-TEST แล้วเครื่องมือจะแสดง Method ให้กด 690 READ/ENTER เครื่องมือจะแสดงความยาวคลื่น 665 nm ให้หมุนปุ่มปรับความยาวคลื่นให้ได้ 425 nm จากนั้นกด READ/ENTER เครื่องมือจะแสดง mg/l NNH₃Ness

2. ใส่ sulfide 1 reagent 1 ml. ลงไว้ใน cuvette เขย่าเบา ๆ เพื่อให้สารเคมีผสมกันหลังจากนั้นใส่ sulfide 1 reagent 1 ml. เขย่าเบา ๆ เพื่อให้สารเคมีผสมกัน กด SHIFT TIMER เมื่อครบ 5 นาที เครื่องมือจะส่งเสียงเตือน

4. เปิดฝาเครื่องมือใส่ cuvette ที่เป็นน้ำ deionized ลงไปในช่องวัดแสง ปิดฝาเครื่องมือให้สนิทแล้วกด ZERO เครื่องมือจะแสดง WAIT และ 0.000 mg/l S^2 ให้เปลี่ยน cuvette น้ำตัวอย่างเข้าไป กด READ/ENTER เครื่องมือแสดง WAIT และบอกปริมาณซัลไฟด์ ซึ่งเครื่องมีน้ำสามารถวัดปริมาณซัลไฟด์ ได้ในช่วง $0.000-0.600 \text{ mg/l S}^2$

2. การวิเคราะห์คุณภาพน้ำ(APHA,1992)

2.1 วิธีการวิเคราะห์ปริมาณออกซิเจนที่ละลายน้ำโดยวิธี Azide modification

1. ถางขวด DO ด้วยน้ำตัวอย่าง(rinse) 2-3 ครั้ง
2. เก็บน้ำตัวอย่างด้วยขวด DO ที่ระดับความสูง 30 cm. โดยไม่ให้มีพิษของอากาศ และปิดฝาขวดให้สนิทขณะอยู่ใต้น้ำ
3. เติมสารละลาย MnSO_4 1 ml (ห้ามเข้าขวด) และสารละลาย alkali- iodide azide reagent 1 ml ปิดฝา
4. เบ่ายาขวดแล้วตั้งทิ้งไว้จนได้ตะกอน 2 ใน 3 ของสารละลายทั้งหมด เบ่ายือกครั้งและตั้งทิ้งไว้ให้เกิดตะกอน 2 ใน 3 ของสารละลายใหม่
5. เติม conc. H_2SO_4 1 ml ปิดฝาเบ่าย่าให้เข้ากัน
6. นำสารละลายจากข้อ 5 มา 100 ml. ໄตเตอร์ด้วย $\text{Na}_2\text{S}_2\text{O}_3$ 0.021 M จนได้สีเหลืองหรือเดี้ยวตีนน้ำเป็น 3 หยด เบ่าย่าให้เข้ากัน ໄตเตอร์ด่อไปเรื่อย ๆ ทีละหยด จนสีน้ำเงินจางหายไปจดปริมาตรที่ใช้และนำไปคำนวณในสูตร

$$\text{DO (mg/l)} = \frac{\text{จำนวน ml ของสารละลายน้ำ} \times 0.021 \text{ M Na}_2\text{S}_2\text{O}_3}{2}$$

2.2 วิธีการวิเคราะห์ความเป็นด่างของน้ำโดยวิธี Phenolphthalein methyl orange indicator

1. ตวงน้ำ 100 ml. ใส่ใน Erlenmeyer flask ขนาด 250 ml. และน้ำกลั่นปริมาณเท่ากันใน Erlenmeyer flask อีกหนึ่งในสำหรับทำเป็น blank
2. เติม Phenophthalein indicator 3 หยด ลงใน flask แล้วเบย่าให้เข้ากัน
3. ถ้าตัวอย่างเป็นสีชมพูอ่อน ให้ໄตเตอร์ด้วย 0.02 N H_2SO_4 จนสังเกตเห็นสีการเปลี่ยนแปลงจางหายไปและบันทึกปริมาตรที่ใช้
4. เติม Methyl orange indicator 3 หยด ลงใน flask

5. ถ้าตัวอย่างเป็นสีเหลืองให้ไตเตอร์ทึบด้วย 0.02 N H_2SO_4 จนสังเกตเห็นสีการเปลี่ยนแปลงจาก blank และค่อยๆ ไตเตอร์ทึบหายดี end point เป็นสีเหลืองแดง จดปริมาตรที่ใช้แล้วนำไปคำนวณในสูตร

(methyl orange จะให้สีเหลืองในสารละลายน้ำที่เป็นค่าง สีส้มในสารละลายน้ำที่เป็นกรด และสีแดงในสารละลายน้ำที่เป็นกรด)

$$\text{Total alkalinity (mg/l asCaCO}_3) = \frac{\text{จำนวนกรดที่ใช้เป็น ml}}{10} \times 10$$



ลิขสิทธิ์มหาวิทยาลัยเชียงใหม่
Copyright © by Chiang Mai University
All rights reserved



อิชสิทธิ์มหาวิทยาลัยเชียงใหม่
Copyright © by Chiang Mai University
All rights reserved

อาหารเลี้ยงสาหร่ายสีเขียวแกมน้ำเงินและแบคทีเรียสังเคราะห์แสง

สูตรอาหาร BG - 11 Medium (stanier *et al.*, 1971) ประกอบด้วย

NaNO ₃	1.5 กรัม/ลิตร
K ₂ HPO ₄	0.04 กรัม/ลิตร
MgSO ₄ .7H ₂ O	0.075 กรัม/ลิตร
CaCl ₂ .2H ₂ O	0.036 กรัม/ลิตร
Citric acid	0.006 กรัม/ลิตร
Ferric ammonium citrate	0.006 กรัม/ลิตร
Na ₂ – EDTA.2H ₂ O	0.001 กรัม/ลิตร
* Trace – metal mix A ₅	1 มิลลิลิตร / ลิตร

เติมน้ำกลั่นจนครบ 1 ลิตร แล้วปรับ pH ให้เท่ากับ 7.4 ด้วย 0.1 N NaOH

* Trace – metal mix A₅ ประกอบด้วย

H ₃ BO ₃	2.86 กรัม/ลิตร
MnCl ₂ .4H ₂ O	1.81 กรัม/ลิตร
ZnSO ₄ .7H ₂ O	0.222 กรัม/ลิตร
Na ₂ MoO ₄ .2H ₂ O	0.39 กรัม/ลิตร
CuSO ₄ .5H ₂ O	0.079 กรัม/ลิตร
Co(NO ₃) ₂ .6H ₂ O	0.049 กรัม/ลิตร
น้ำกลั่น	1000 มิลลิลิตร

ลิขสิทธิ์มหาวิทยาลัยเชียงใหม่

Copyright © by Chiang Mai University

สูตรอาหาร PE Medium (Hanada *et al.*, 1995)

sodium glutamate	0.5 กรัม/ลิตร
sodium succinate	0.5 กรัม/ลิตร
sodium acetate	0.5 กรัม/ลิตร
yeast extract	0.5 กรัม/ลิตร
casamino acid	0.5 กรัม/ลิตร

$\text{Na}_2\text{S}_2\text{O}_3 \cdot 5\text{H}_2\text{O}$	0.5 กรัม/ลิตร
KH_2PO_4	0.38 กรัม/ลิตร
K_2HPO_4	0.39 กรัม/ลิตร
$(\text{NH}_4)_2\text{SO}_4$	0.5 กรัม/ลิตร
* vitamin mixtures	1.0 มิลลิลิตร
* basal salt solution	5.0 มิลลิลิตร

เติมน้ำเกลี้ยงจนครบ 1 ลิตร แล้วปรับ pH ให้เท่ากับ 7.5 ด้วย 0.1 N NaOH

	ประกอบด้วย
nicotinic acid	0.1 กรัม/ลิตร
thiamine.HCl	0.1 กรัม/ลิตร
biotin	0.005 กรัม/ลิตร
p-aminobenzoic acid	0.05 กรัม/ลิตร
vitamine B12	0.001 กรัม/ลิตร
Ca-pantothenate	0.05 กรัม/ลิตร
pyridoxal.HCl	0.05 กรัม/ลิตร
folic acid	0.05 กรัม/ลิตร
* basal salt solution	ประกอบด้วย
$\text{FeSO}_4 \cdot 7\text{H}_2\text{O}$	1.11 กรัม/ลิตร
$\text{MgSO}_4 \cdot 7\text{H}_2\text{O}$	24.65 กรัม/ลิตร
$\text{CaCl}_2 \cdot 2\text{H}_2\text{O}$	2.94 กรัม/ลิตร
NaCl	23.4 กรัม/ลิตร
$\text{MnSO}_4 \cdot 4\text{H}_2\text{O}$	0.111 กรัม/ลิตร
$\text{ZnSO}_4 \cdot 7\text{H}_2\text{O}$	0.029 กรัม/ลิตร
$\text{Co}(\text{NO}_3)_2 \cdot 6\text{H}_2\text{O}$	0.029 กรัม/ลิตร
$\text{CuSO}_4 \cdot 5\text{H}_2\text{O}$	0.025 กรัม/ลิตร
$\text{Na}_2\text{MoO}_4 \cdot 2\text{H}_2\text{O}$	0.024 กรัม/ลิตร
H_3BO_3	0.031 กรัม/ลิตร
Na_2EDTA	4.53 กรัม/ลิตร